



**INGENIERÍA EN GESTIÓN PETROLERA
PROYECTO DE GRADO**

**DISEÑO DEL PROCESO DE SELECCIÓN
DE TRÉPANOS PARA EL CAMPO EL
DORADO DE LA PROVINCIA
CORDILLERA DEL DEPARTAMENTO DE
SANTA CRUZ**

José René Yépez Justiniano

**Para optar por el grado de licenciatura en
Ingeniería en Gestión Petrolera**

**Santa Cruz - Bolivia
2015**

Agradecimientos:

A nuestro DIVINO CREADOR, por su infinito amor, bondad y misericordia, por darnos la vida, las oportunidades y porque sin el nada es posible.

A mi amada madre, Gaby Justiniano F., por sus noches de desvelo, por su sacrificio, por su amor incondicional y por ser mi sustento cada día de mi vida, por guiarme por el camino del bien, de la responsabilidad y motivarme para lograr mis metas.

A mi querido padre René Yépez A., a mi hermana Lic. Gabriela Yépez J., y mi sobrina Danehia Gabriela Torres Y., por su amor incondicional y por ser mi fortaleza en los momentos de debilidad.
A mi querida universidad, por acogerme estos años de estudio y brindarme calidad en educación.

Al Ing. John Soria M. y al Ing. Javier Valdívila V., por todo el aprecio y colaboración, más que docentes fueron ejemplo de vida, consejeros y amigos.

A través de la Ing. Natalia Liachenko, agradecimiento especial a U.P.F.B. corporación, por la información brindada que sirvió como base del presente estudio.

Dedicatoria:

-A mi sobrina Danehía y a las futuras generaciones de profesionales, para que este logro sea un ejemplo de constancia, sacrificio, estudio, esmero y responsabilidad.

-En especial a mis amados padres Gaby Justiniano F. y René Yépez A., en aprecio a su ardua labor de formación espiritual y moral, este es el resultado de años de esfuerzo, de alegrías y lágrimas; el mejor regalo que les puedo brindar.

José René Yépez Justiniano

ABSTRACT

TITULO: : "Diseño del proceso de selección de trépanos para el campo el dorado de la provincia cordillera del departamento de santa cruz"

AUTOR (ES) : José René Yépez Justiniano

PROBLEMÁTICA

Los costos operativos devengados en etapa de exploración y perforación son los más críticos y probablemente elevados en la etapa previa a la explotación del gas y petróleo, por consecuente un análisis de las herramientas a ser utilizadas acorde a las características geológicas es importante para asegurar una inversión y retorno favorable para las partes interesadas durante el ciclo de vida del pozo.

OBJETIVO GENERAL

Realizar el estudio analítico-científico para evaluar si es posible optimizar el uso de trépanos, en qué medida cumple con las necesidades del cliente, reduciendo el coste operativo y asegurando la integridad de las herramientas utilizadas para este fin (perforación de pozo petrolífero) en el campo el Dorado.

CONTENIDO

- ❖ El análisis teórico base del objeto de estudio
- ❖ La situación actual y análisis de datos proporcionados del campo
- ❖ Evaluación y/u optimización de acuerdo a los resultados obtenidos

CARRERA	: "Ingeniería en gestión petrolera"
PROFESOR GUIA	: Ing. Javier Valdivia Vásquez
DESCRIPTORES O TEMAS	: Trépanos, Break-even point, Campo el Dorado, Selección, perforación, provincia Cordillera, Santa Cruz.
PERIODO DE INVESTIGACION	: Fase 1 (Ago-Oct/2013); Fase 2 (Mar-Sept/2014)
E-MAIL	: jryj21@gmail.com

ÍNDICE GENERAL

CAPITULO I

INTRODUCCION

1.1.	INTRODUCCION	1
1.2.	ANTECEDENTES	2
1.3.	PROBLEMA	2
1.3.1.	PLANTEAMIENTO DEL PROBLEMA	3
1.3.2.	ÁRBOL DE PROBLEMA.....	3
1.3.3.	FORMULACION DEL PROBLEMA.....	3
1.4.	OBJETIVOS	4
1.4.1.	OBJETIVO GENERAL	4
1.4.1.1.	Árbol de la Solución	4
1.4.2.	OBJETIVOS ESPECIFICOS	4
1.5.	JUSTIFICACION	5
1.5.1.	JUSTIFICACION TECNICA	5
1.5.2.	JUSTIFICACION ECONOMICA	5
1.5.3.	JUSTIFICACION SOCIAL.....	5
1.5.4.	JUSTIFICACION PERSONAL.....	5
1.6.	DELIMITACION.....	6
1.6.1.	DELIMITACION ESPACIAL	6
1.6.2.	DELIMITACION TEMPORAL	7
1.6.3.	DELIMITACION SUSTANTIVA	7
1.7.	METODOLOGIA DE LA INVESTIGACION	8
1.7.1.	METODO DE ESTUDIO	8
1.7.1.1.	Método Cuantitativo	8
1.7.1.2.	Método Cualitativo.....	8
1.7.2.	TIPO DE INVESTIGACION.....	9
1.7.2.1.	Según el tiempo de ocurrencia y registro de los hechos.....	9
1.7.2.2.	Según el análisis y alcance de los resultados.....	9
1.7.3.	FUENTES DE INFORMACION	9
1.7.3.1.	Fuentes primarias.....	9
1.7.3.2.	Fuentes Secundarias	10
1.8.	ALCANCE DEL PROYECTO.....	10

CAPITULO II

MARCO TEORICO

2.1.	PROBLEMAS OPERATIVOS	11
------	----------------------------	----

2.1.1.	PRESION	11
2.1.2.	PEGA DE TUBERÍA (STICKING)	12
2.1.3.	TREPANOS O BARRENAS	12
2.1.3.1.	Barrena embolada	12
2.1.3.2.	Desprendimiento de toberas	13
2.1.3.3.	Desgaste prematuro en el trépano	13
2.1.3.4.	Toberas tapadas.	13
2.2.	PESCA	14
2.2.1.	OBJETOS EN EL FONDO DEL POZO	15
2.2.2.	METODOS MÁS PRACTICADOS DE PESCA	16
2.2.2.1.	Pesca no mayor a dos días sin progreso	16
2.2.2.2.	Cuadros de Break-even como una herramienta de decisión	17
2.2.2.3.	El método del valor esperado	17
2.2.3.	CAUSAS	19
2.3.	OTRAS CAUSAS	21
2.4.	HERRAMIENTAS DE PESCA	22
2.5.	CONSIDERACIONES	28
2.6.	GEOLOGIA	28
2.6.1.	MINERAL	28
2.6.1.1.	Propiedades físicas de los minerales	29
2.6.2.	ROCA	29
2.6.2.1.	Rocas eruptivas	29
2.6.2.2.	Rocas Sedimentarias	30
2.6.2.3.	Rocas Metamórficas	30
2.6.3.	MECANICA DE ROCAS	30
2.6.3.1.	Resistencia a esfuerzos de compresión	31
2.6.3.2.	Resistencia a esfuerzos cortantes	32
2.6.3.3.	Resistencia a esfuerzos de tracción	32
2.6.4.	MECANICA DE ROCAS APLICADA A LA INGENIERIA DE PERFORACION.	32
2.6.5.	SECUENCIA ESTRATIGRAFICA	34
2.7.	TREPANOS	34
2.7.1.	MECANISMO DE FUNCIONAMIENTO DE LOS TREPANOS	34
2.7.1.1.	Mecanismo de corte	35
2.7.1.2.	Resistencia y mecanismo de falla de la roca	37
2.7.1.3.	Mecanismo de perforación	37
2.7.2.	TIPOS DE TREPANOS DISPONIBLES	37
2.7.2.1.	Trépanos de conos giratorios	38
2.7.2.2.	Trépanos de cortadores fijos	48

2.7.2.3.	Resumen de los trépanos.....	60
2.8.	CODIGOS IADC.....	61
2.8.1.	CODIGO IADC PARA TREPANOS DE CORTADORES FIJOS.....	61
2.8.2.	CODIGO IADC PARA TREPANOS DESGASTADOS.....	63
2.8.2.1.	Primer cuerpo.....	63
2.8.2.2.	Segundo Cuerpo	65
2.8.2.3.	Tercer Cuerpo	65
2.8.2.4.	Cuarto Cuerpo.....	66
2.9.	OPERACION DE TREPANOS	67
2.9.1.	PESO SOBRE TREPANO (WOB)	67
2.9.2.	VELOCIDAD DE ROTACION (RPM)	67
2.9.3.	HIDRAULICA DE PERFORACION	68
2.10.	CALCULO DE LAS BOQUILLAS DEL TREPANO	69
2.11.	SELECCION DE TREPANOS	76
2.11.1.	CRITERIOS DE SELECCION DE TREPANOS SEGUN PEMEX Y SCHLUMBERGER	77
2.11.1.1.	Datos de pozos vecinos	77
2.11.1.2.	Objetivos	78
2.11.1.3.	Limitaciones	78
2.11.1.4.	Otros	78
2.11.2.	ANALISIS DEL BREAK-EVEN POINT	79
2.11.2.1.	Ecuaciones empleadas para el análisis del Break-even point.....	80
2.11.2.2.	Procedimiento del análisis del Break-even point.....	84
CAPITULO III		
DIAGNOSTICO		
3.1.	CARACTERISTICAS GENERALES DEL SUB-ANDINO SUR.....	84
3.1.1.	CICLO SILURICO - DEVONICO	86
3.1.2.	CICLO CARBONICO - PERMICO	86
3.1.3.	CICLO MESOZOICO	86
3.1.4.	CICLO TERCIARIO	87
3.2.	ANALISIS TECNICO DE LOS POZOS	87
3.2.1.	Pozo DRD X-1001	87
3.2.1.1.	Secuencia estratigráfica	87
3.2.1.2.	Perfil del pozo	88
3.2.1.3.	Análisis de la fase de interés.....	90
3.2.1.4.	Análisis de trépanos	92
3.2.1.5.	Desgaste de Trépanos	93
3.2.2.	POZO DRD X-1004	94

3.2.2.1.	Secuencia estratigráfica.	94
3.2.2.2.	Perfil del pozo.	95
3.2.2.3.	Análisis de la fase de interés.	96
3.2.2.4.	Análisis de Trépanos.	98
3.2.2.5.	Desgaste de Trépanos.	99
3.2.3.	POZO DRD-1005.	99
3.2.3.1.	Secuencia estratigráfica	99
3.2.3.2.	Perfil del pozo	100
3.2.3.3.	Análisis de la fase de interés.	101
3.2.3.4.	Análisis de Trépanos.	103
3.2.3.5.	Desgaste de Trépanos	104
CAPITULO IV		
ANALISIS DE LOS RESULTADOS		
4.1.	POZO DRD X-1001.	105
4.1.1.	EVALUACION DE COSTOS MEDIANTE EL BREAK-EVEN POINT	105
4.1.2.	EVALUACION DE DESGASTE SEGÚN CUADROS IADC	106
4.2.	POZO DRD X-1004.	106
4.2.1.	EVALUACION DE COSTOS MEDIANTE BRAK-EVEN POINT	107
4.2.2.	EVALUACION DE DESGASTE SEGÚN CUADROS IADC	107
4.3.	POZO DRD-1005.	108
4.3.1.	EVALUACION DE COSTOS MEDIANTE BRAK-EVEN POINT	108
4.3.2.	EVALUACION DE DESGASTE SEGÚN CUADROS IADC	109
4.4.	COMPARACIÓN DE LOS RESULTADOS NUMÉRICOS (TOTALES)	109
CAPITULO V		
CONCLUSIONES Y RECOMENDACIONES		
5.1	CONCLUSIONES.	110
5.2	RECOMENDACIONES	111
INDICE DE PALABRAS ABREVIADAS		
BIBLIOGRAFIA		
WEBLIOGRAFIA		

INDICE DE FIGURAS

FIGURA N° I. I: MAPA DE UBICACIÓN DE LA PROVINCIA CORDILLERA. ¡Error!	
Marcador no definido.	
FIGURA N° I. II: MAPA DE UBICACIÓN DEL CAMPO "EL DORADO"	¡Error!
Marcador no definido.	
FIGURA N° II. I: BOP	¡Error! Marcador no definido.
FIGURA N° II. II: DÍAS ACUMULADOS HASTA PESCA O CAMBIO DE OPERACIÓN.....	¡Error! Marcador no definido.
FIGURA N° II. III: CAUSAS MÁS COMUNES DE APRISIONAMIENTO O ESTANCAMIENTO	¡Error! Marcador no definido.
FIGURA N° II. IV: CESTA	¡Error! Marcador no definido.
FIGURA N° II. V: SUSTITUTO DE BOLSILLO.....	¡Error! Marcador no definido.
FIGURA N° II. VI: PESCADOR MAGNÉTICO	¡Error! Marcador no definido.
FIGURA N° II. VII: CESTA DE CIRCULACIÓN INVERSA	¡Error! Marcador no definido.
FIGURA N° II. VIII: OVERSHOT	¡Error! Marcador no definido.
FIGURA N° II. IX: PESCADOR MACHO.....	¡Error! Marcador no definido.
FIGURA N° II. X: PESCADOR TIPO ARPÓN	¡Error! Marcador no definido.
FIGURA N° II. XI: COMPRESIÓN DE LA ROCA	¡Error! Marcador no definido.
FIGURA N° II. XII: FALLADO DE LA ROCA	¡Error! Marcador no definido.
FIGURA N° II. XIII: FALLADO Y COMPRESIÓN DE LA ROCA ...	¡Error! Marcador no definido.
FIGURA N° II. XIV: TRÉPANOS DE CONOS GIRATORIOS...	¡Error! Marcador no definido.
FIGURA N° II. XV: TRÉPANOS TRICÓNICOS.....	¡Error! Marcador no definido.
FIGURA N° II. XVI: CUERPO DEL TRÉPANO TRICÓNICO ...	¡Error! Marcador no definido.
FIGURA N° II. XVII: DIENTES DE ACERO.....	¡Error! Marcador no definido.
FIGURA N° II. XVIII: INSERTOS DE CARBURO DE TUNGSTENO	¡Error! Marcador no definido.
FIGURA N° II. XIX: INSERTOS DE CARBURO DE TUNGSTENO	¡Error! Marcador no definido.
FIGURA N° II. XX: SISTEMA DE RODAMIENTOS Y SELLOS	¡Error! Marcador no definido.
FIGURA N° II. XXI: COJINETE R-B-R	¡Error! Marcador no definido.
FIGURA N° II. XXII: COJINETE R-B-F.....	¡Error! Marcador no definido.
FIGURA N° II. XXIII: COJINETE F-B-F	¡Error! Marcador no definido.
FIGURA N° II. XXIV: TRÉPANOS DE CORTADORES FIJOS	¡Error! Marcador no definido.
FIGURA N° II. XXV: TRÉPANO DE CORTADORES DE DIAMANTE SINTÉTICO	¡Error! Marcador no definido.
FIGURA N° II. XXVI: CUERPO DEL TRÉPANO DE CORTADORES DE DIAMANTE SINTÉTICO	¡Error! Marcador no definido.
FIGURA N° II. XXVII: TRÉPANOS PDC	¡Error! Marcador no definido.
FIGURA N° II. XXVIII: ELEMENTOS DE CORTE PDC	¡Error! Marcador no definido.

FIGURA N° II. XXIX: TRÉPANOS TSP.....	¡Error! Marcador no definido.
FIGURA N° II. XXXELEMENTOS DE CORTE TSP .	¡Error! Marcador no definido.
FIGURA N° II. XXXI: PARTES DE UN TRÉPANO IMPREGNADO DE DIAMANTE.....	¡Error! Marcador no definido.
FIGURA N° II. XXXII: ELEMENTOS DE CORTE DE DIAMANTE NATURAL IMPREGNADO.....	¡Error! Marcador no definido.
FIGURA N° III. I: MAPA DE UBICACIÓN Y COLUMNA ESTRATIGRÁFICA GENERALIZADA , CUENCA DE TARIJA	¡Error! Marcador no definido.
FIGURA N° III. II: PERFIL DEL POZO DRD X-1001	¡Error! Marcador no definido.
FIGURA N° III. III: BREAK-EVEN POINT.....	¡Error! Marcador no definido.
FIGURA N° III. IV: PERFIL DEL POZO DRD X-1004	¡Error! Marcador no definido.
FIGURA N° III. V: BREAK-EVEN POINT	¡Error! Marcador no definido.
FIGURA N° III. VI: PERFIL DEL POZO DRD-1005..	¡Error! Marcador no definido.
FIGURA N° III. VII: BREAK-EVEN POINT	¡Error! Marcador no definido.

INDICE DE CUADROS

CUADRO N° I. I: UBICACIÓN DE LOS POZOS BASE DEL PROYECTO.....	¡Error! Marcador no definido.
CUADRO N° II. I: RESISTENCIA DE LAS ROCAS A LA COMPRESIÓN.	¡Error! Marcador no definido.
CUADRO N° II. II: PROPIEDADES DE LOS MINERALES ENCONTRADOS DURANTE LA PERFORACIÓN DE POZOS PETROLEROS. .	¡Error! Marcador no definido.
CUADRO N° II. III: DIFERENCIAS ENTRE CORTADORES PDC Y TSP	¡Error! Marcador no definido.
CUADRO N° II. IV: CARACTERÍSTICAS DEL DIAMANTE NATURAL.....	¡Error! Marcador no definido.
CUADRO N° II. V: RESUMEN DE LOS TRÉPANOS.....	¡Error! Marcador no definido.
CUADRO N° II. VI: CÓDIGO IADC PARA TRÉPANOS DE CORTADORES FIJOS	¡Error! Marcador no definido.
CUADRO N° II. VII: TERCER DÍGITO DEL CÓDIGO IADC PARA TRÉPANOS DESGASTADOS	¡Error! Marcador no definido.
CUADRO N° II. VIII: CUARTO DÍGITO DEL CÓDIGO IADC PARA TRÉPANOS DESGASTADOS	¡Error! Marcador no definido.
CUADRO N° II. IX: OCTAVO DÍGITO DEL CÓDIGO IADC PARA TRÉPANOS DESGASTADOS	¡Error! Marcador no definido.
CUADRO N° III. I: FORMACIONES ATRAVESADAS DURANTE LA PERFORACIÓN DEL POZO DRD X-1001	¡Error! Marcador no definido.
CUADRO N° III. II: VARIABLES QUE INTERVIENEN EN LA ECUACIÓN DEL BREAK-EVEN POINT	¡Error! Marcador no definido.
CUADRO N° III. III: VALORES DEL BREAK-EVEN POINT	¡Error! Marcador no definido.
CUADRO N° III. IV: CARACTERÍSTICAS DE LOS TRÉPANOS UTILIZADOS DURANTE LA PERFORACIÓN DE LA FASE EN ESTUDIO...	¡Error! Marcador no definido.
CUADRO N° III. V: DESGASTE DE LOS TREPAOS UTILIZADOS EN LA FASE DE ESTUDIO.....	¡Error! Marcador no definido.
CUADRO N° III. VI: FORMACIONES ATRAVESADAS DURANTE LA PERFORACIÓN DEL POZO DRD X-1004	¡Error! Marcador no definido.
CUADRO N° III. VII: VARIABLES QUE INTERVIENEN EN LA ECUACIÓN DEL BREAK-EVEN POINT	¡Error! Marcador no definido.
CUADRO N° III. VIII: VALORES DEL BREAK-EVEN POINT ..	¡Error! Marcador no definido.
CUADRO N° III. IX: CARACTERÍSTICAS DE LOS TRÉPANOS UTILIZADOS DURANTE LA PERFORACIÓN DE LA FASE EN ESTUDIO...	¡Error! Marcador no definido.
CUADRO N° III. X: DESGASTE DE LOS TRÉPANOS UTILIZADOS EN LA FASE DE ESTUDIO.....	¡Error! Marcador no definido.
CUADRO N° III. XI: FORMACIONES ATRAVESADAS DURANTE LA PERFORACIÓN DEL POZO DRD-1005.....	¡Error! Marcador no definido.

CUADRO N° III. XII: VALORES DEL BREAK-EVEN POINT ... ¡Error! Marcador no definido.

CUADRO N° III. XIII: VALORES DEL BREAK-EVEN POINT .. ¡Error! Marcador no definido.

CUADRO N° III. XIV: CARACTERÍSTICAS DE LOS TRÉPANOS UTILIZADOS DURANTE LA PERFORACIÓN DE LA FASE EN ESTUDIO... ¡Error! Marcador no definido.

CUADRO N° III. XV: DESGASTE DE LOS TRÉPANOS UTILIZADOS EN LA FASE DE ESTUDIO..... ¡Error! Marcador no definido.

CUADRO N° IV. I: BREAK - EVEN POINT DRD X-1001 ¡Error! Marcador no definido.

CUADRO N° IV. II: COSTOS TEÓRICOS DRD X-1001 ¡Error! Marcador no definido.

CUADRO N° IV. III: BREAK – EVEN POINT DRD X-1004 ¡Error! Marcador no definido.

CUADRO N° IV. IV: COSTOS TEÓRICOS DRD X-1004..... ¡Error! Marcador no definido.

CUADRO N° IV. V: BREAK - EVEN POINT DRD-1005 ¡Error! Marcador no definido.

CUADRO N° IV. VI: COSTO TEÓRICO DRD-1005 . ¡Error! Marcador no definido.

CUADRO N° IV. VII: CUADRO COMPARATIVA DE COSTOS ¡Error! Marcador no definido.

CAPITULO I

INTRODUCCION**1.1. INTRODUCCION**

En términos de actividad y producción económica, Santa Cruz es la región más importante del país, siendo sus principales rubros la producción de petróleo, de gas natural, caña de azúcar, algodón, maderas, soya, arroz, trigo, maíz y ganadería. En la ciudad de Santa Cruz de la Sierra existen también algunas considerables concentraciones industriales, entre las que se destacan los ingenios azucareros, las refinerías de petróleo, los silos y agroindustrias relacionadas a la soya, la industria lechera y sus derivados, la fabricación de materiales de construcción, muebles, cueros, conservas, bebidas y otras.

La industria petrolera es compleja, tanto en su concepción como en su diseño y operación. Es una industria que obligatoriamente debe utilizar alta tecnología y por lo tanto requiere de enormes montos financieros de inversión. La toma de decisiones para el desarrollo y la operación de esta industria, debe estar basada en los análisis técnico-económicos necesarios que justifiquen y aseguren la rentabilidad del proyecto y el retorno de la inversión.

De las diferentes etapas que constituyen el proceso de extracción, producción y comercialización de hidrocarburos, la perforación es una de las más importantes. Aproximadamente el 80% de la inversión para la extracción de hidrocarburos se destina a la exploración y desarrollo de perforaciones en un determinado yacimiento.

Para llevar a cabo la construcción de un pozo por medio del método de perforación "Rotary" se requiere utilizar, entre otras herramientas, trépanos para perforar la roca. Estos constituyen el elemento más importante de la sarta de perforación, ya que sin ellos sería imposible llevar a cabo dicha operación. Por tal motivo, es necesario diseñar un modelo que optimice la selección de trépanos para minimizar costos de inversión, tiempo de perforación y a su vez maximizar la eficiencia de los trépanos y la velocidad de penetración.

1.2. ANTECEDENTES

El Campo “El Dorado” se encuentra ubicado en el departamento de Santa Cruz, provincia Cordillera, fue descubierto en el año 1999-2000 por la compañía Pan American con la perforación del pozo DRD-X1001, descubridor de gas condensado de la Formación Iquiri, (devónico superior), arenisca guanacos, la profundidad final del pozo fue de 6750 m, (el más profundo en Bolivia en esa época). Posteriormente se perforó el pozo DRD-X1002, con resultados positivos productor del mismo reservorio. En el año 2004 se perforó el pozo DRD-1004, el mismo que resulto improductivo. En el año 2010 Chaco S.A perforo el pozo DRD-1005 con resultados favorables, productor de gas condensado de la Arenisca Guanacos Fm. Iquiri. En el Área se han perforado un total de 7 pozos, tres son productivos de la arenisca Guanacos (DRD-X1001, DRD-X1002 y DRD-1005), el resto fueron improductivos. La profundidad promedio de estos reservorios productores es de 4220 metros, La producción promedio por día actual de este campo es de 210 barriles de petróleo, 28 barriles de gasolina y 8.7 millones de pies cúbicos de gas. Toda la producción del campo es procesada en la Planta Percheles.¹

De la revisión de los informes de perforación de algunos pozos de este campo, se pudo constatar la presencia de problemas operativos en los pozos DRD X-1001, DRD X-1004 y DRD 1005, que se conjetura pueden ser derivados de una deficiente selección de trépanos. Estos problemas son: Baja tasa de penetración, aprisionamiento y pesca de la herramienta, embotamiento de la herramienta, rotura de trépanos y/o de otras herramientas. También se nota que la mayoría se suceden en la fase de 8 ½” al atravesar las formaciones del Período Devónico.

1.3. PROBLEMA

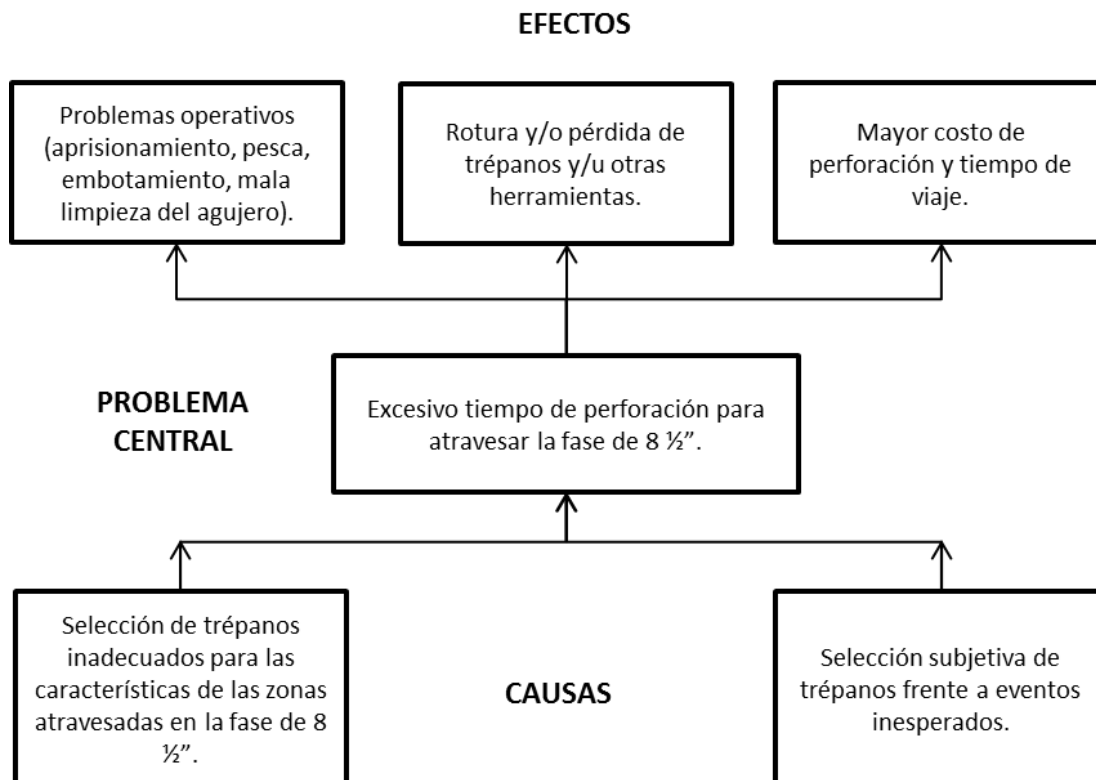
El problema central, base del presente estudio, está ilustrado mediante el siguiente esquema.

¹ <http://www.ypfbchaco.com.bo/index.php/campos/el-dorado.html>, (08 de Octubre del 2013)

1.3.1. PLANTEAMIENTO DEL PROBLEMA

Durante la perforación de los pozos Dorado X-1001, Dorado X-1004 y Dorado 1005, la aplicación de programas de trépanos en la fase de 8 ½", resultaron con complicaciones al atravesar las formaciones del período Devónico, lo cual ha ocasionado problemas operativos (aprisionamiento, pesca, embotamiento de la sarta de perforación) que han derivado en mala limpieza del agujero, pérdidas de trépano, pérdida de tiempo, menor tasa de penetración, pérdida de la herramienta, haciendo finalmente que el pozo sea perforado fuera del tiempo estimado y probablemente con un mayor costo económico.

1.3.2. ÁRBOL DE PROBLEMA



Fuente: Elaboración propia

1.3.3. FORMULACION DEL PROBLEMA

Lo antecedido conlleva a formular la siguiente interrogante:

¿Cuál será la técnica aplicable a la selección de trépanos en el campo “El Dorado”, para atravesar la fase de 8 ½”, correspondiente al período Devónico, que permita optimizar el tiempo, los costos de perforación y la tasa de penetración?

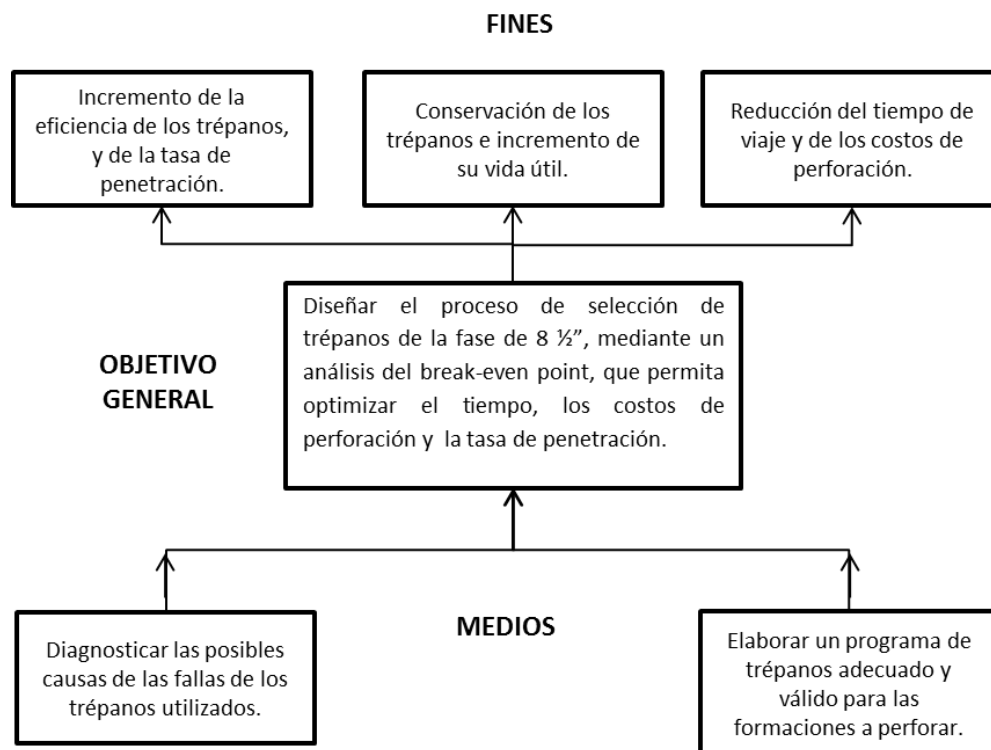
1.4. OBJETIVOS

A continuación se describen los objetivos del presente trabajo.

1.4.1. OBJETIVO GENERAL

Evaluar el proceso de selección de trépanos de la fase de 8 ½”, mediante un análisis del break-even point, que permita determinar el tiempo, los costos de perforación y la tasa de penetración óptimos.

1.4.1.1. Árbol de la Solución



Fuente: Elaboración propia

1.4.2. OBJETIVOS ESPECIFICOS

- ❖ Identificar las posibles causas de las fallas de los trépanos utilizados en los pozos mencionados.

- ❖ Elaborar un programa de trépanos adecuado y válido para las formaciones a perforar.
- ❖ Estimar el costo de perforación.
- ❖ Estimar el costo de la optimización de la perforación.
- ❖ Calcular la relación Costo- Beneficio.

1.5. JUSTIFICACION

El presente estudio está justificado de forma técnica, económica, social y personal.

1.5.1. JUSTIFICACION TECNICA

El presente proyecto, permitirá determinar la eficiencia del trépano, incrementando la tasa de penetración, logrando que la perforación sea más eficiente y efectiva.

1.5.2. JUSTIFICACION ECONOMICA

Debido a que los costos diarios del equipo de perforación son elevados (aproximadamente entre “\$us 19 mil y \$us 40 mil”²), es de suma importancia optimizar el programa de trépanos para la perforación de pozos, pues al reducir el tiempo de perforación, reduciremos el costo diario del equipo.

1.5.3. JUSTIFICACION SOCIAL

La reducción del tiempo de perforación, con su consecuente reducción de costos diarios de perforación, traerá consigo beneficios para todos los bolivianos, pues al ser Y.P.F.B. una empresa de los bolivianos, podrá utilizar el dinero ahorrado en la perforación, en la implementación de programas sociales.

1.5.4. JUSTIFICACION PERSONAL

El presente trabajo permitirá aplicar todos los conocimientos adquiridos en la formación académica, para un óptimo desempeño profesional.

² <http://www.hidrocarburosbolivia.com/bolivia-mainmenu-117/ypfb-petroleras-mainmenu-118/45546-petroleras-en-bolivia-pierden-con-bloqueos.html>, (5 de Octubre del 2011)

1.6. DELIMITACION

El presente trabajo está delimitado espacial, temporal y sustantivamente.

1.6.1. DELIMITACION ESPACIAL

El presente estudio se aplicó en el campo “El Dorado”, ubicado en la provincia Cordillera a 90 km al sur de la ciudad de Santa Cruz de la Sierra.

Las coordenadas de los pozos en cuestión, se muestran en el cuadro N° I. I:

CUADRO N° I. I
UBICACIÓN DE LOS POZOS BASE DEL PROYECTO

Pozo	Coordenadas UTM	
	Coordenada X	Coordenada Y
DRD X-1001	490075.00 m E	7965190.00 m N
DRD X-1004	488700.00 m E	7963400.00 m N
DRD-1005	490403.00 m E	7963485.00 m N

Fuente: Informes de perforación de YPFB

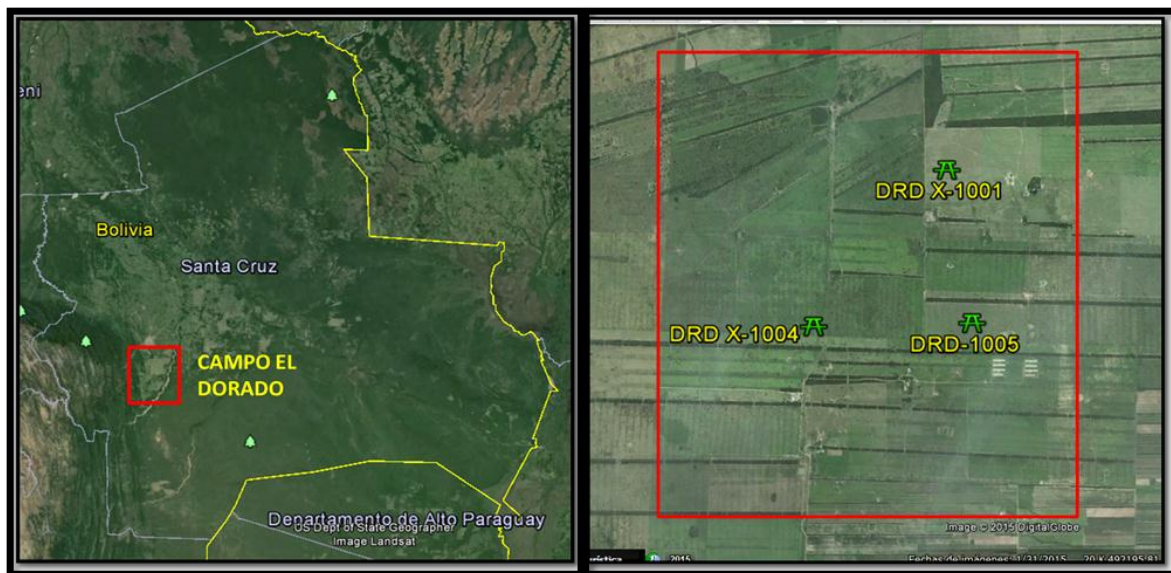
FIGURA N° I. I
MAPA DE UBICACIÓN DE LA PROVINCIA CORDILLERA



Fuente: <http://www.camiri.info/cordillera.php>

FIGURA N° I. II

MAPA DE UBICACIÓN DEL CAMPO "EL DORADO"



Fuente: Google Earth

1.6.2. DELIMITACION TEMPORAL

La elaboración del presente documento se desarrolló en 10 meses desde la presentación del perfil propuesto hasta su conclusión final en setiembre del año en curso, empleándose datos correspondientes a pozos perforados en el campo “El Dorado” desde 1999 hasta el año 2010.

1.6.3. DELIMITACION SUSTANTIVA

El presente estudio se enmarcará dentro de los siguientes puntos:

- ❖ Tipos de trépanos.
- ❖ Tipos de formación.
- ❖ Código IADC.
- ❖ Análisis del Break-even point.

1.7. METODOLOGIA DE LA INVESTIGACION

El presente estudio está desarrollado según la siguiente metodología.

1.7.1. METODO DE ESTUDIO

El presente proyecto está enfocado cuantitativa y cualitativamente.

1.7.1.1. Método Cuantitativo

La metodología cuantitativa es aquella que permite examinar los datos de manera científica, o más específicamente en forma numérica, generalmente con ayuda de herramientas del campo de la estadística.

Para que exista metodología cuantitativa se requiere que entre los elementos del problema de investigación exista una relación cuya naturaleza sea representable por algún modelo numérico ya sea lineal, exponencial o similar. Es decir, que haya claridad entre los elementos de investigación que conforman el problema, que sea posible definirlo, limitarlos y saber exactamente dónde se inicia el problema, en qué dirección va y qué tipo de incidencia existe entre sus elementos.

El presente estudio es cuantitativo porque se hará un análisis de los costos de perforación en pozos anteriores, para minimizar los mismos y optimizar el programa de trépanos.

1.7.1.2. Método Cualitativo

La metodología cualitativa, como indica su propia denominación, tiene como objetivo la descripción de las cualidades de un fenómeno. Busca un concepto que pueda abarcar una parte de la realidad. No se trata de probar o de medir en qué grado una cierta cualidad se encuentra en un cierto acontecimiento dado, sino de descubrir tantas cualidades como sea posible.

El presente estudio también es cualitativo porque se evaluarán las características de los trépanos utilizados, y se identificarán cualitativamente las causas de las fallas en el programa de trépanos.

1.7.2. TIPO DE INVESTIGACION

La investigación del presente trabajo está clasificada según el tiempo de ocurrencia y registro de los hechos; y según el análisis y alcance de los resultados.

1.7.2.1. Según el tiempo de ocurrencia y registro de los hechos

a) Investigación retrospectiva

Se registra información sobre los hechos ocurridos con anterioridad al diseño del estudio y el registro continuo según los hechos van ocurriendo.

El presente es un estudio retrospectivo porque la información recopilada, se basa en los archivos de pozos perforados anteriormente.

1.7.2.2. Según el análisis y alcance de los resultados

a) Investigación Exploratoria

Los estudios exploratorios están dirigidos a lograr el esclarecimiento y delimitación de problemas no bien definidos. Es a partir de los resultados de éstos estudios que podrán proyectarse investigaciones que aporten conocimientos más sólidos sobre el problema en cuestión. Este tipo de estudios se sustenta en una profunda revisión de la bibliografía y en los criterios de expertos.

El presente estudio es exploratorio, porque a partir de los resultados del análisis de los pozos perforados anteriormente, se tratará de anticipar a los problemas en perforaciones futuras en el campo “El Dorado”.

1.7.3. FUENTES DE INFORMACION

1.7.3.1. Fuentes primarias

Las fuentes para la recopilación de información son personal especializado en el tema, de la empresa Y.P.F.B. Corporación y de otras empresas comercializadoras de trépanos. Para la recopilación de esta información se utilizará la técnica de:

a) Entrevistas.

Se realizaron preguntas estructuradas a especialistas en la materia, que trabajan en Y.P.F.B. Corporación y otras empresas encargadas de comercializar trépanos.

1.7.3.2. Fuentes Secundarias

La recopilación de información está sustentada en las siguientes fuentes.

a) Informes de perforación.

Se revisaron informes de perforación elaborados por las empresas perforadoras, que se encuentran en los archivos de Y.P.F.B. Corporación, referidos a la perforación de los pozos DRD X-1001(Pan American Energy), DRD X-1002 (Pan American Energy), DRD X-1004 (Chaco S.A.), DRD-1005 (Empresa petrolera Y.P.F.B. Chaco).

b) Libros.

Se buscó información en libros de perforación y de selección de trépanos.

c) Manuales.

Se revisó manuales de perforación y selección de trépanos.

d) Catálogos.

Se buscaron catálogos de trépanos para revisar las características y los costos.

e) Internet.

Se hizo uso de la herramienta de información en Internet.

1.8. ALCANCE DEL PROYECTO

El alcance de este proyecto contempla el estudio en el programa de trépanos “El Dorado”, sin embargo el contenido de estudio puede ser aplicado genéricamente a cualquier programa de perforación en el área de “gas y petróleo”, estipulado en el plazo fijado durante la elaboración del perfil y posterior desarrollo de este proyecto.

CAPITULO II

MARCO TEORICO**2.1. PROBLEMAS OPERATIVOS**

A continuación se describen los principales problemas operativos que se pueden encontrar durante la perforación de un pozo.

2.1.1. PRESION

Se produce por la entrada en el pozo de fluidos de formación, gases e hidrocarburos que pueden combustionar al llegar a la superficie produciendo un reventón (kick). Es uno de los problemas de mayor incidencia en las operaciones y puede llegar a ser fatal si no se tiene el control adecuado. Su primer control es la densidad del lodo.

Las causas comunes de reventones son:

- ❖ Deficiencia en el llenado de pozo durante viajes
- ❖ Densidad inapropiada del lodo
- ❖ Pérdida de circulación

Uno de los equipos que previenen reventones son las válvulas preventoras conocidas también como BOP (Blow out Preventor).

FIGURA N° II. I

BOP



Fuente: Curso básico de perforación (Weatherford)

“Documento digital no publicado”

2.1.2. PEGA DE TUBERÍA (STICKING)

Se denomina así al evento en la operación en el cual no se puede rotar la tubería o sarta, ni mover hacia arriba o hacia abajo, este puede generar tiempo y costos improductivos.

Las causas más comunes son:

- ❖ Presión diferencial
- ❖ Causas Mecánicas
 - Formaciones inestables
 - Limpieza inadecuada del agujero
 - Pescas en el agujero o revestimiento colapsado
 - etc.

2.1.3. TREPANOS O BARRENAS

Los problemas operativos con los trépanos comúnmente encontrados son:

2.1.3.1. Barrena embolada

Esto sucede cuando se está perforando en formaciones suaves (lutitas), con exceso de peso, limpieza insuficiente. Cuando una barrena embolada se sigue operando se planchan los conos.

Recomendaciones prácticas para desembotar una barrena:

- a) Suspenda la rotación.
- b) Cargue de 5 a 10 toneladas sobre barrena en el fondo.
- c) Mantenga el bombeo constante durante 5 minutos.
- d) Aplique leves giros de rotaria, para ayudar al desprendimiento arcilla en los cortadores de la barrena.

- e) Levante la sarta 2 a 5 m arriba del fondo y aplique alta rotación para lavar la barrena.
- f) Reanude la perforación aplicando el mínimo peso, alta rotación y óptimo gasto.

2.1.3.2. Desprendimiento de toberas

Puede suceder por las siguientes causas:

- ❖ Candados o seguros en mal estado.
- ❖ Por lavarse por presión al utilizar lodos con alto contenido de sólidos abrasivos o arenas.

En un desprendimiento de tobera se refleja un decrecimiento de presión inicial el cual persiste sin incrementarse. Al observar un decremento de presión se debe verificar primeramente el equipo superficial para descartar cualquier anomalía.

Si el equipo superficial está en condiciones y la pérdida de presión no se incrementa, se puede continuar perforando; en caso de que la pérdida de presión se incremente, se debe suspender de inmediato la perforación y sacar para revisar la sarta.

2.1.3.3. Desgaste prematuro en el trépano

Se sucede cuando se utiliza un trépano inadecuado para la formación que se está perforando, por consecuente:

Cuando se perforan formaciones abrasivas, esto ocasiona agujeros de diámetro reducido que obligan a repasar el intervalo perforado. Al bajar con una barrena nueva (a pleno calibre) si no se toma en cuenta esta condición puede ocasionar un acúñamiento de la sarta.

En formaciones abrasivas se recomienda usar trépanos con protección al calibre.

2.1.3.4. Toberas tapadas.

Esta condición de toberas tapadas se puede dar:

- ❖ Cuando existe alto contenido de sólido en el sistema.
- ❖ Cuando se recirculan materiales extraños en el fluido de perforación (grava gruesa, pedazos de madera, papel, plástico, etc.)
- ❖ Al no utilizar los cedazos en las salidas de descarga de las bombas.

Desprendimiento de cono; la falla de los conos de la barrena con el siguiente desprendimiento de los mismos ocurren por el desgaste excesivo de los valeros cuyas causa principales son:

- ❖ Horas excesivas de rotación.
- ❖ Pesos aplicados sobre trépano altos.
- ❖ Erosión por sólidos en el fluido de perforación.
- ❖ Erosión por gastos excesivos de circulación.
- ❖ Corrosión por la presencia de compuestos de azufre en el lodo.

Es recomendable llevar una estadística de tiempo y grafica de costo por metro contra tiempo de perforación para optimizar el rendimiento de las barrenas.

2.2. PESCA

La pesca se define como cualquier objeto indeseable como ser: una tubería, herramientas, u otros que no pueden ser removidos del pozo por medios convencionales o prácticas ordinarias. Por ejemplo el bajar un magneto o imán para remover un cono perdido de una barrena se denomina pesca.

Herramientas y técnicas especiales han sido desarrolladas como la mencionada anteriormente para “pescar” o retirar estos objetos, si es posible, del pozo de tal forma que las operaciones de perforación puedan ser continuadas.

El tiempo de pesca indirecto es aquel requerido para ganar la profundidad estando en modo de perforación durante el tiempo en el cual se desenvuelve la pesca. Por ejemplo si en el día número 5 de perforación a una profundidad de 5000 pies y se

pierde y posteriormente 500 pies de profundidad son perdidos, y si en el día número 20 el pozo es perforado nuevamente a 5000 pies, entonces el tiempo de pesca es de 15 días.

El tiempo de pesca directo es el tiempo en el cual se intenta remover el pescado (objetivo). En el ejemplo anterior el tiempo necesario para ganar los 500 pies perdidos de profundidad no se considera como tiempo directo de pesca.

El proceso de pesca o “fishing” implica costos de equipo no deseados para la compañía operadora.

Existen tres tipos mayores de operaciones de pesca. Estas serían:

- ❖ Recuperación de objetos no perforables desde el fondo del pozo.
- ❖ Recuperación de una sección de la sarta de perforación que fue dejada en el pozo como consecuencia de una rotura.
- ❖ Liberar la sarta de perforación aprisionada en el pozo.

2.2.1. OBJETOS EN EL FONDO DEL POZO

Estos objetos pueden provenir de fallas en el trépano que deja su(s) cono(s) y rodamientos. A veces inadvertidamente se dejan caer en el fondo del pozo pequeñas herramientas manuales. En algunas ocasiones se cae una sección de la sarta de perforación durante las maniobras de sacar o bajar al pozo. Estos problemas se consideran que han creado una “pesca”. Para recuperar estos objetos, se han desarrollado una variedad de herramientas.

La elección de herramientas de pesca es dictada por el tamaño y la forma de la pesca, la severidad anticipada del problema y la experiencia del personal encargado. En años pasados el jefe del pozo y los perforadores afrontaban estos problemas casi exclusivamente y su propia herramienta era su ingenio. La mayoría de estos trabajos, hoy en día, son conducidos por compañías de servicio, las que ofrecen una línea completa de herramientas de pesca y operadores de pesca experimentados en calidad de renta. Muchos de los trabajos de pesca son

encomendados a estas compañías quienes colaboran y aconsejan al jefe de pozo hasta completar el trabajo.

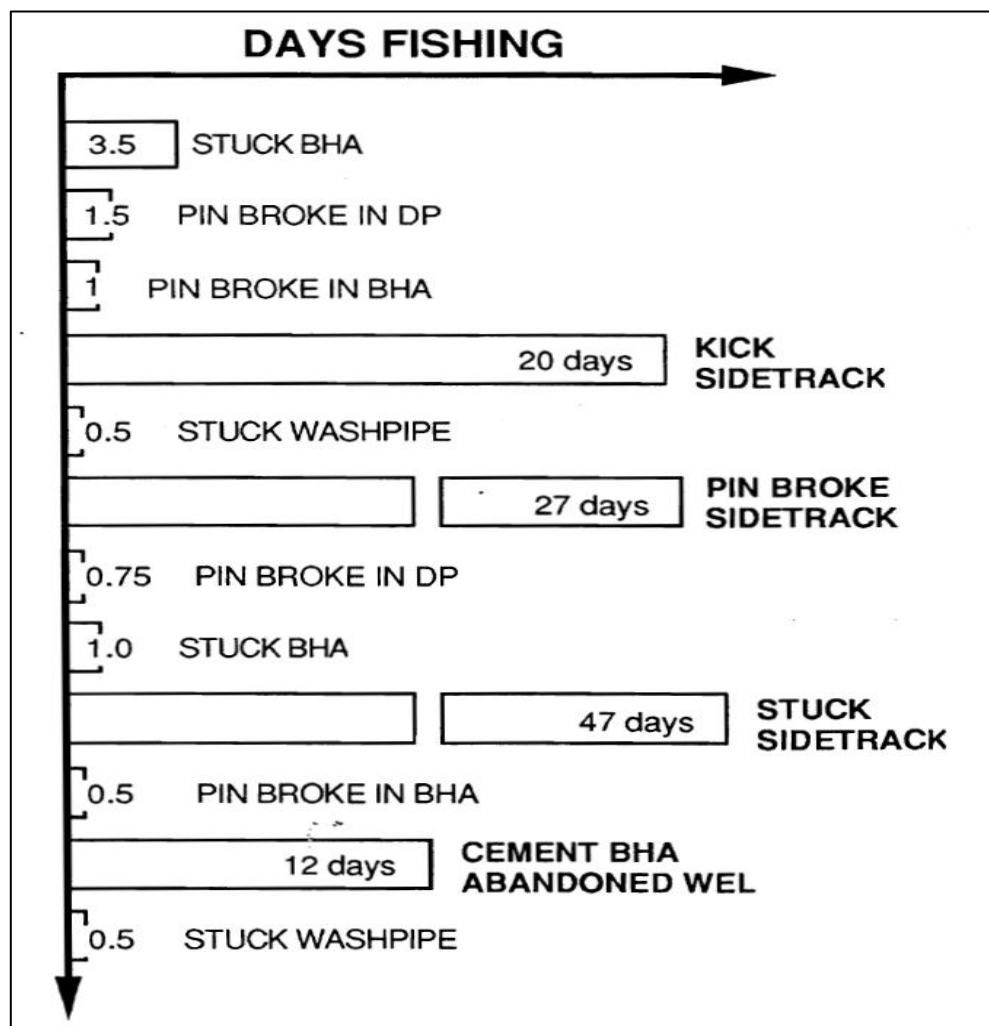
2.2.2. METODOS MÁS PRACTICADOS DE PESCA

Existen al menos tres métodos muy populares y utilizados para decidir si es necesaria la pesca o no.

2.2.2.1. Pesca no mayor a dos días sin progreso

FIGURA N° II. II

DÍAS ACUMULADOS HASTA PESCA O CAMBIO DE OPERACIÓN



Fuente: Advanced oil well drilling engineering³

³ MITCHELL, Dr. Bill, Advanced oil will drilling engineering Handbook, USA, 1974; pág. 552

Este método está basado en la experiencia y es una regla de oro, el análisis siguiente fue extraído de reportes de pozos perforados en el tiempo se observa en el gráfico que si no fue abandonado o no se requirió un sidetrack⁴ la pesca fue exitosa, a excepción del primer valor que fue más de dos días 3.5 hasta la pesca exitosa⁵.

2.2.2.2. Cuadros de Break-even como una herramienta de decisión⁶

El costo de pesca de break-even es una comparación de los costos directos e indirectos de la pesca. Por ejemplo si el costo directo de la pesca es de 6000 \$ por día, el objetivo a pescar es un ensamble de fondo de pozo de 50000 \$, 12000 \$ del pozo serán perdidos y un sidetrack o perforación lateral a un costo de 28000\$ adicional será requerido si no es removido el objetivo, el valor del break even en días para sacar dicho pez como máximo es de:

$$6000 T = 50000 + 12000 + 28000$$

Donde: $T = 15 \text{ dias}$

Sin embargo lo ideal es que la recuperación sea muy por debajo de este valor obtenido para evitar en el peor de los casos improductividad y por consecuente aumentar los costos adicionales luego del esfuerzo máximo realizado sin éxito.

2.2.2.3. El método del valor esperado⁷

Este método está basado en promedios y probabilidades, vale decir, el valor esperado de un evento es igual a la probabilidad por el costo de este éxito, adicionando la probabilidad de las veces que fracase por el costo de estas fallas. La fórmula propuesta es la siguiente:

$$VE = Ps * Cs + Pf * Cf$$

$VE = \text{Valor esperado}$

⁴ Sidetrack: perforación lateral del pozo por motivos de imposibilidad de mantener el curso del mismo por obstrucción

⁵ MITCHELL, Dr. Bill, Advanced oil well drilling engineering Handbook, USA, 1974; pág. 552

⁶ Ídem. Pág. 553

⁷ Ídem. Pág. 554, 555

$P_s = \text{Probabilidad de éxito}$

$C_s = \text{Costo de éxito}$

$P_f = \text{Probabilidad de fallar}$

$C_f = \text{Costo de fallar}$

Donde: $P_s + P_f = 1$

Por ejemplo si un collar atrapado fue pescado en 27 veces en 34 veces que se quedó atrapado y el costo fue de 15000\$, las otras 7 veces restantes no se pudo recuperar y se optó por un sidetracking, a un costo de 40000\$, sin embargo de estas 7 veces 1 de ellas no fue exitoso un sidetracking y el pozo tuvo que ser abandonado a un costo de 250000\$, en estos casos donde la pesca no fue prioridad ante un sidetrack no se perdió ningún pozo pero a un costo de 35000\$ aproximado. La probabilidad de pesca es la siguiente:

$$P_s = \frac{27}{34} = 0.794 \quad P_f = \frac{7}{34} = 0.206 \quad \text{Sumatoria de } P_s + P_f = 1 \text{ (lo requerido)}$$

Las probabilidades de involucrar un sidetracking son:

$$P_s = \frac{6}{7} = 0.857 \quad P_f = \frac{1}{7} = 0.143 \quad \text{Sumatoria de } P_s + P_f = 1 \text{ (lo requerido)}$$

a) Entonces el valor esperado para realizar pesca y luego sidetracking es:

$$\begin{aligned} VE &= \frac{27}{34} * 15000 + \frac{7}{34} * \left(\frac{6}{7} 40000 + \frac{1}{7} * 250000 \right) \\ &= 11912 + 14412 \\ &= \mathbf{26324 \$} \end{aligned}$$

Realizando pesca y luego un sidetrack si la pesca no es exitosa.

b) El valor esperado realizando un sidetracking sin pesca es el siguiente:

$$VE = (1 * 35000) + (0 * 0)$$

$$= 35000 \$$$

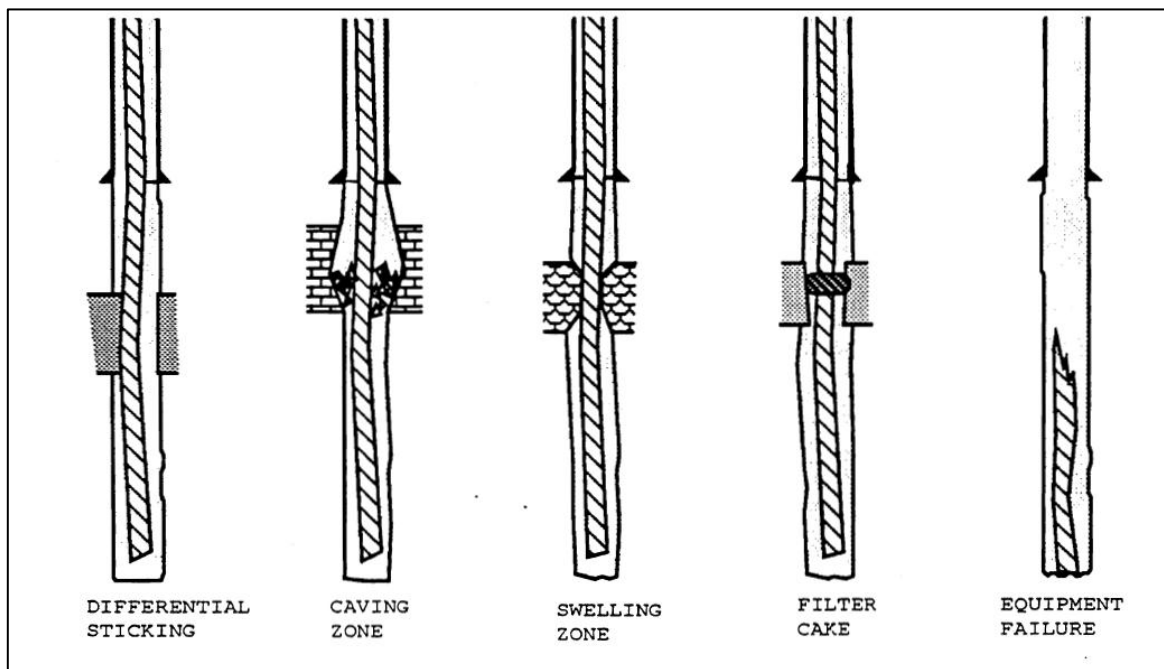
Véase y compárese los resultados donde el costo esperado realizando primero un esfuerzo mediante pesca estimándose un costo de 8676\$ en promedio de evasión de costos más probable.

2.2.3. CAUSAS⁸

Probablemente el aspecto más importante de la pesca es acertar en los eventos que causaron el uso de este procedimiento como ya evaluamos en puntos anteriores. Sin poder identificar la causa exacta que produjo este acontecimiento es imposible determinar las herramientas, su selección y procedimientos.

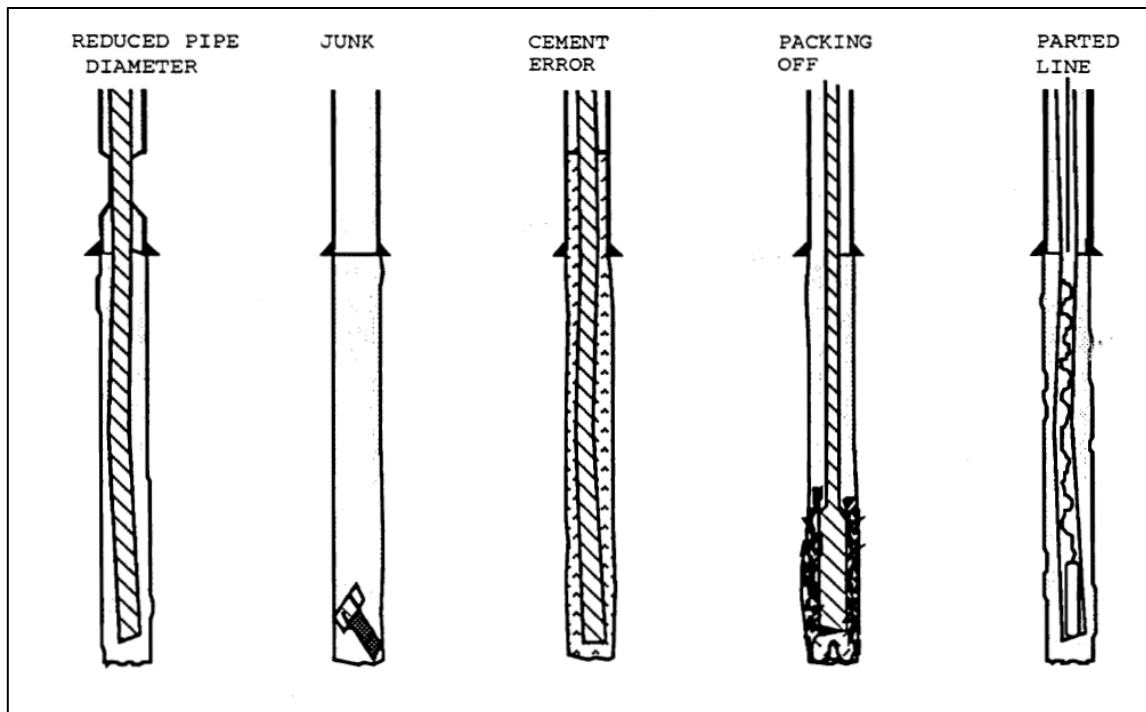
FIGURA N° II. III

CAUSAS MÁS COMUNES DE APRISIONAMIENTO O ESTANCAMIENTO



Continúa en la siguiente página.

⁸ MITCHELL, Dr. Bill, Advanced oil well drilling engineering Handbook, USA, 1974; Pág. 558, 559



Fuente: Advanced oil well drilling engineering⁹

- a) **Differential Sticking (Atascamiento diferencial).** Usualmente ocurre después de que la sarta de perforación está inactiva. El espesor del revoque de lodo es un factor de excesivo desbalance. La circulación a tasas normales es imposible.
- b) **Caving Zone (Zona de hundimiento).** Causada por lodo de baja densidad. Es un gran problema en pozos horizontales y de ángulo elevado. Consecuentemente puede ser necesario una perforación por sidetrack.
- c) **Swelling Zones (Hinchazón de zonas).** En este caso es posible que la zona se comprima y sea necesario volver a calibrar la zona. Puede ser necesario un sobre lavado y un poco de vibración o sacudimiento ayuda.
- d) **Filter Cake (Filtrado de lodo).** Este reduce el diámetro de la perforación generalmente ocurre en participación con el atascamiento diferencial. Este puede ser lavado.

⁹ MITCHELL, Dr. Bill, Advanced oil will drilling engineering Handbook, USA, 1974; Pág. 558

- e) **Equipement Failure (Falla de equipo).** Este puede ser recuperado con un pesca sondas.
- f) **Reduced pipe diameter (Diámetro reducido del revestimiento).** Se debe tratar de recuperar el diámetro, probablemente deba abandonarse el pozo o realizar un sidetrack.
- g) **Junk (Chatarra).** Se trata con imanes, acido, jets.
- h) **Cement Error (Error de cementación).** Se debe tratar de lavar el cemento, si es interno usar una barrena.
- i) **Packed off.** Si es posible recircular se aumenta la tasa de circulación, puede ser posible el lavado o realizar un sidetrack.
- j) **Parted Line (Línea separada).** Debe recuperarse con un arpón.

2.3. OTRAS CAUSAS

Dentro de otras causas que pueden ocasionar problemas operativos y por consiguiente un incremento en los costos, fueron también consideradas:

- a) Problemas relacionados con la sarta de perforación
- b) Problemas hidráulicos (sistemas circulatorios)
- c) Trépanos
- d) Tubería de revestimiento
- e) Problemas de cementación
- f) Errores humanos
- g) Fallas en equipos
- h) Características particulares de la zona
- i) etc.

2.4. HERRAMIENTAS DE PESCA¹⁰

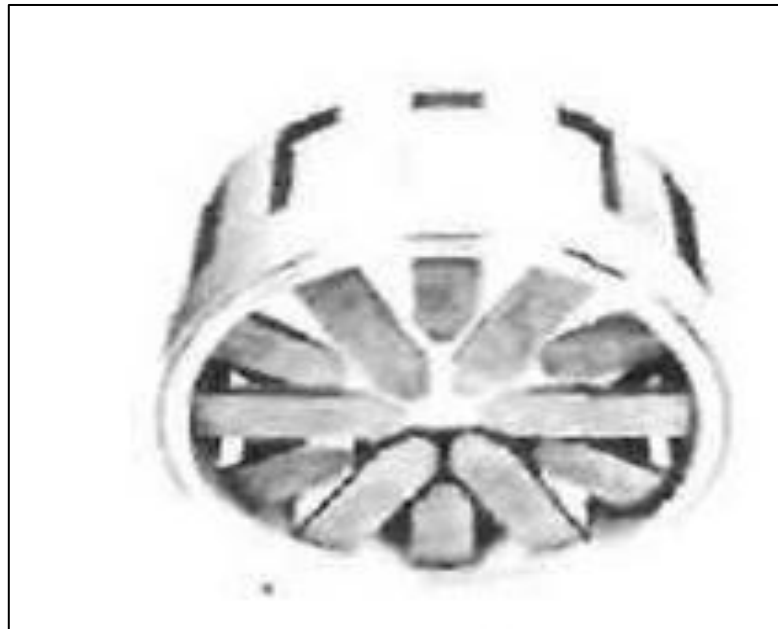
En la industria petrolera existen muchas empresas que se encargan de prestar servicios de pesca, muchos de los instrumentos o herramientas que usan son diseñadas por las propias compañías o adquieren las patentes para fabricarlas, lo que hace que existan en el mercado una gran variedad, en materiales, diámetros, y usos, cada una especialmente diseñada dependiendo del tipo de problema que se quiera resolver. A continuación se describen algunas de ellas, las más importantes y comunes que se usan en una pesca:

a) La cesta

Es una pieza tubular que tiene en su extremo inferior cortes de apariencia de los dedos de las manos, que al llegar al fondo del pozo y aplicar peso sobre ella, estos flejes se doblan hacia adentro atrapando los objetos en su interior.

FIGURA N° II. IV

CESTA

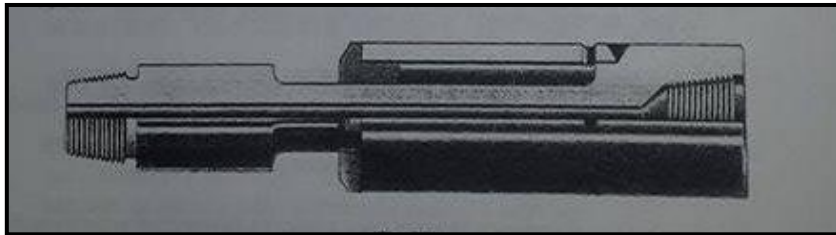


Fuente: <https://www.scribd.com/doc/62013371/Herramientas-de-Pesca>

¹⁰ ALBA, Eduardo, Industria de los Hidrocarburos, II Parte: Perforación, Cámara Boliviana de Hidrocarburos, Bolivia, 2008; págs. 174-177

b) Sustituto de bolsillo

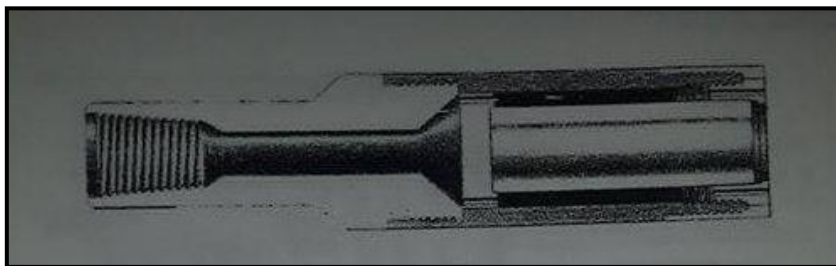
Esta pieza generalmente se instala sobre el trépano y se baja al pozo para que por efecto de la circulación del lodo eleve los pequeños objetos que se depositan en el bolsillo de esta pieza.

FIGURA N° II. V**SUSTITUTO DE BOLSILLO**

Fuente: ALBA, Eduardo, Industria de los Hidrocarburos

c) Pescador magnético

Por su tipo de construcción, una vez bajado al fondo del pozo su imán atrae los objetos metálicos y puede recuperarlos. Puede bajarse con barras de sondeo o utilizando un adaptador se baja al pozo con cable.

FIGURA N° II. VI**PESCADOR MAGNÉTICO**

Fuente: ALBA, Eduardo, Industria de los Hidrocarburos

d) Cesta de circulación inversa

Es una pieza, que por su tipo de construcción circula el fluido de perforación desde la parte externa hacia el interior. Por este efecto puede introducir objetos

pequeños y retenerlos en unos flejes. Posee un zapato fresador que colabora con el acomodo e ingreso del o los objetos a su interior.

- ❖ La Cesta Pesca fierros - Tipo de Circulación Inversa, está diseñada para utilizar el principio de la circulación inversa. El fluido circula en chorro hacia fuera y hacia abajo contra la circunferencia plena del hoyo, en el que es desviado en forma tal que dirige todos los objetos hacia el interior del largo cilindro de la cesta.
- ❖ La Cesta Pesca fierros - Tipo de Circulación Inversa, se usa para rescatar toda clase de fierros acumulados en el fondo de un pozo. Tales fierros pueden ser conos y cojinetes de barrenas, cuñas rotas, trozos de cable de alambre, herramientas manuales, astillas y demás escombros de tubería de perforación partida, ripio de fresadoras, etc. También se la puede usar para tomar núcleos de muestra, perforar un hoyo de pleno calibre o escariar un hoyo perforado.

FIGURA N° II. VII
CESTA DE CIRCULACIÓN INVERSA



Fuente: <https://www.scribd.com/doc/62013371/Herramientas-de-Pesca>

e) Rotura de la sarta de perforación

La rotura del material tubular de la sarta de perforación es otro de los problemas más comunes de pesca. Generalmente esto sucede por la fatiga del material. Cuando esto ocurre, lo que se hace es sacar la parte superior que quedó por encima de la rotura. El resto queda en el pozo como “pesca”.

Para recuperar estas pescas existen una variedad de herramientas. Para solucionar este problema, lo que se hace es verificar en que condición salió la otra parte a superficie. Esto orientará cuál procedimiento seguir y la herramienta de pesca a utilizar.

f) Overshot

Es una herramienta cuyo diseño permite enchufar sobre la pesca, agarrarla de su diámetro exterior y levantarla para sacarla a superficie. Este overshot puede estar equipado con accesorios intercambiables que permiten agarrar diferentes diámetros de material tubular en pesca.

Las Tarrajas o llamados Overshots son los elementos más simples para conectar pescados por su exterior y recuperarlos, existen varios tipos las Tarrajas cónicas rotativas, y las Tarrajas de diámetro interior grande.

FIGURA N° II. VIII**OVERSHOT**

Fuente: ALBA, Eduardo, Industria de los Hidrocarburos

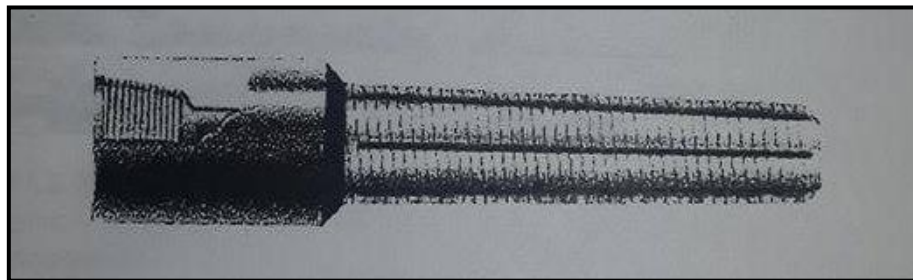
La Tarraja se emplea para conectar y recuperar tuberías, tubos de perforación, casing y objetos similares de los pozos. Cualquier dispositivo tubular puede ser recuperado. La Tarraja Cónica Rotatoria (Taper Taps), se utiliza para recuperar tuberías de producción, de perforación, de revestimiento o cualquier dispositivo

tubular con orificio, atrapado en cualquier tipo de agujero. Es de excepcional utilidad en casos en que el espacio anular agujero-pescado sea tan reducido que no permita el empleo de pescantes exteriores.

g) Pescador macho

Su tipo de construcción es cónico alargado y con estrías que permiten ingresar al interior de la tubería en pesca, puede agarrar y lograr recuperar sacando la misma hasta superficie. Es la herramienta más económica para esta clase de pescas.

FIGURA N° II. IX
PESCADOR MACHO

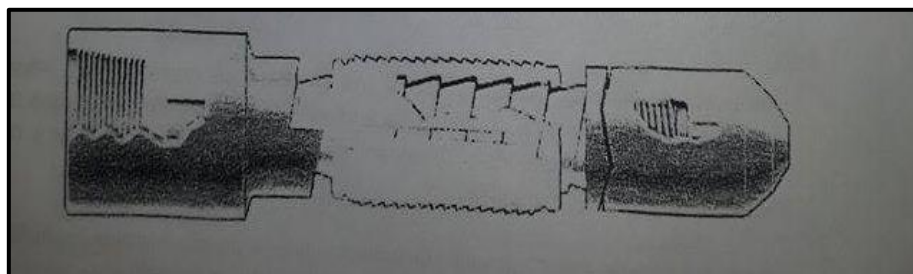


Fuente: ALBA, Eduardo, Industria de los Hidrocarburos

h) Pescador macho tipo arpón

Esta herramienta ingresa en el interior de la tubería en pesca y al maniobrar se acciona su sistema de agarre recuperando la pesca. Es fácil de liberar o reenganchar si fuera necesario.

FIGURA N° II. X
PESCADOR TIPO ARPÓN



Fuente: <https://www.scribd.com/doc/62013371/Herramientas-de-Pesca>

i) Herramienta aprisionada

Esto puede ocurrir a consecuencia de varios problemas en el pozo, tales como: “colapso de las paredes del pozo”, alojamiento de la sarta en una “pata de perro” o en un “asiento de llave”, incremento del espesor de la película del lodo en las paredes del pozo y presión diferencial, causando en todos estos casos el aprisionamiento de la sarta de perforación.

Una vez ocurrido el problema, primeramente lo que se hace es agotar esfuerzos para constatar la causa del aprisionamiento. En función de dicho problema se agotarán los esfuerzos para liberarla. De no tener éxito, se planifica recuperar la parte libre. Para esto desenroscamos deliberadamente por encima de la parte aprisionada. Esto se hace bajando por el interior de la sarta un instrumento llamado “indicador de punto libre”. Luego de conocer ese punto libre, se baja una carga explosiva controlada hasta la altura de la rosca que se pretende desenroscar. Se aplica torsión izquierda a la sarta y se acciona el explosivo que desenrosca en ese punto, la parte que queda en el pozo serpa la herramienta en “pesca”. Se saca la sección libre y se baja una herramienta de pesca seleccionada y que incluye una tijera hidráulica y un sub golpeador. Se enrosca en la pesca y se procede a golpear hacia arriba y hacia abajo para liberar y recuperar la pesca.

Si la causa de aprisionamiento es la formación de una película de lodo grande, o las paredes del pozo hubieran colapsado, se utilizarán “caños lavadores” que con un zapato fresador en su punta lava la herramienta en pesca por toda la longitud requerida. Esto quiere decir que la pesca ingresa al interior de los caños lavadores. Luego se procede a recuperar posiblemente con la ayuda de un “overshot”.

Cuando una sección de barras de sondeo es aprisionada y el lavado con caños lavadores es insuficiente para liberarla, puede recurrirse al uso de cortadores internos o externos, para recuperar las barras en secciones.

Para una operación exitosa de pesca, se requiere de una buena planificación y correcto uso de las herramientas de pesca. Los equipos de perforación, generalmente tienen en su inventario un mínimo de estas herramientas en el pozo.

2.5. CONSIDERACIONES

Por lo observado en este punto se pueden identificar y seleccionar variables que multiplicadas entre si nos dan un valor muy grande de análisis.

Por consiguiente una buena planificación previa a la perforación y una evaluación de las lecciones aprendidas con el pasar del tiempo podrían reducir estas variables para asegurar que se manejan en un nivel de riesgo aceptable o razonable

2.6. GEOLOGIA

“La geología es la rama de las Ciencias Naturales que estudia la historia, la composición, la estructura y los procesos de la Tierra, más específicamente, de las rocas que constituyen nuestro planeta desde la superficie hasta 100 o 200 kilómetros de profundidad.

Como ciencia, la Geología aplica métodos y teorías de la Física, de la Química, de la Matemática y de la Biología, las cuales constituyen las principales ciencias conexas”¹¹.

La corteza terrestre está compuesta por minerales y rocas, por lo tanto es necesario explicar sus propiedades.

2.6.1. MINERAL

Cuerpo homogéneo, generalmente sólido, formado por procesos naturales, de composición química, que bajo condiciones apropiadas presenta una forma cristalina de acuerdo a su propia constitución molecular. Los minerales pueden presentarse con aspecto de masas uniformes, o como cristales como se mencionó anteriormente.¹²

¹¹ IRIONDO, Martín, Introducción a la Geología, Brujas, Argentina, 2006; pág. 9

¹² CARRASCO, Germán, Fundamentos de Geología y Geotecnia para Ingenieros, ABC, Bolivia, 1996; pág. 50

2.6.1.1. Propiedades físicas de los minerales

Las propiedades físicas de los minerales están condicionadas por su estructura interna y su composición química. El análisis visual de algunas de estas propiedades permite identificar los minerales: forma, hábito, color, brillo, dureza, exfoliación, fractura, densidad y magnetismo¹³.

2.6.2. ROCA

Entendemos por rocas una agrupación de minerales que constituyen la capa superior de la corteza terrestre y que se presentan en grandes masas compactas y homogéneas, tales como el granito y caliza, y que se explotan bajo formas de canteras¹⁴.

Se distinguen tres grandes categorías de rocas¹⁵:

- ❖ Rocas eruptivas (ígneas).
- ❖ Rocas sedimentarias.
- ❖ Rocas metamórficas.

2.6.2.1. Rocas eruptivas

“Como su propio nombre indica, las rocas eruptivas se han formado en el interior de la tierra, pero no se puede explicar de forma clara el fenómeno por el que el magma de presión aparece consolidado en superficie. Se distinguen las formaciones extrusivas y las intrusivas.

Las primeras se forman a partir de los volcanes. Las rocas eruptivas salen a la superficie libre y allí se extienden en capas más o menos regulares. Las formaciones intrusivas no llegan hasta la superficie. Las rocas en presión salen hasta la corteza terrestre, y llenan las fisuras o bolsas que van encontrando, siguiendo formaciones de gran tamaño llamadas batolitos”¹⁶.

¹³ VELAZQUES, Martín, Introducción a la Cristalografía de Minerales de Interés Gemológico, DYKINSON, España, 2004; pág. 23

¹⁴ SANZ, Juan José, Mecánica de Suelos, Editores Técnicos Asociados S.A., España, 1975; pág. 2

¹⁵ Ídem. Pág. 2

¹⁶ Ídem. Pág. 2

2.6.2.2. Rocas Sedimentarias

Las rocas sedimentarias se forman por la acumulación de fragmentos minerales, depositados por el agua, el viento o el hielo, y posteriormente cementados. También se forman por precipitación química de sales disueltas en el agua o por la actividad biológica de ciertos organismos¹⁷.

2.6.2.3. Rocas Metamórficas

Las rocas metamórficas son las originadas por importantes transformaciones de los componentes mineralógicos de otras rocas preexistentes, endógenas o exógenas. Estos grandes cambios se producen por la necesidad de estabilizarse sus minerales en unas nuevas condiciones de temperatura, presión y quimismo¹⁸.

2.6.3. MECANICA DE ROCAS

La mecánica de rocas es una rama de la mecánica que trata con la respuesta de la roca a un campo de fuerzas aplicado en su medio ambiente físico¹⁹.

Existen tres clases de esfuerzos que las rocas pueden soportar²⁰:

- ❖ Compresión.
- ❖ Corte.
- ❖ Tracción.

Los esfuerzos de compresión, tracción y corte actúan simultáneamente y de manera combinada en rocas y sedimentos cuando se produce una ruptura²¹.

Además de las tres clases de esfuerzos mencionados, las rocas pueden estar sometidas a otros esfuerzos de torsión²².

¹⁷ IRIONDO, Martín, Introducción a la Geología, Brujas, Argentina, 2006; pág. 181

¹⁸ Instituto Tecnológico Geominero de España, Manual de Perforación y Voladuras de Rocas, IGME, España, 1994; pág. 18

¹⁹ Unidad de Perforación y Mantenimiento de Pozo, Barrenas e Hidráulica de Perforación, PEMEX, México, 2000; pág. 13

²⁰ CARRASCO, Germán, Fundamentos de Geología y Geotecnia para Ingenieros, ABC, Bolivia, 1996; pág. 257

²¹ Ídem. Pág. 260

²² Ídem. Pág. 257

2.6.3.1. Resistencia a esfuerzos de compresión

La resistencia de compresión de una roca o material es la fuerza requerida para romper una muestra que esté sometida a una carga, sin que se halle sostenida por los lados²³.

CUADRO N° II. I

RESISTENCIA DE LAS ROCAS A LA COMPRESIÓN.

RESISTENCIA DE LAS ROCAS A LA COMPRESIÓN	
Resistencia (Psi)	Tipos de rocas
>40.000	Algunos basaltos, ciertas cuarcitas.
25.000-40.000	Granitos de textura fina, doritas, basaltos, areniscas y calizas bien cementadas, cuarcitas.
10.000-25.000	Calizas y areniscas de tipo medio, granitos de textura media gruesa, gneiss.
5.000-10.000	Areniscas y calizas porosas, margas.
<5.000	Tobas, areniscas muy porosas, limolitas y lutitas compactadas.

Fuente: Carrasco Ardaya Germán

Las rocas están influenciadas por su textura en la resistencia de compresión. Una roca de textura fina es resistente más que otra similar que posea textura gruesa²⁴.

La presencia de fisuras, micro-fracturas o inclusiones de materiales extraños ocasiona un detrimento de la resistencia a la compresión, que se vuelve crítica si la dirección de las fisuras coincide con los planos de fractura o fatiga de la roca²⁵.

Los esfuerzos de compresión tienden a disminuir el volumen del material²⁶.

²³ CARRASCO, Germán, Fundamentos de Geología y Geotecnia para Ingenieros, ABC, Bolivia, 1996; pág. 257

²⁴ Ídem. Pág. 258

²⁵ Ídem. Pág. 258 y 259

²⁶ Ídem. Pág. 257

2.6.3.2. Resistencia a esfuerzos cortantes

La resistencia de las rocas a esfuerzos cortantes es determinado por un esfuerzo tangencial (resultado de la aplicación de un peso) y por un coeficiente de fricción de la roca, que ocasionan el desgarre o corte de la roca²⁷.

El coeficiente de fricción de la roca es función del coeficiente de resistencia cortante propio de la roca²⁸.

Esfuerzos tangenciales tienden a separar partes de la roca con respecto a otras²⁹.

2.6.3.3. Resistencia a esfuerzos de tracción

La resistencia de las rocas a la tracción es baja o despreciable, comparada con la resistencia a la compresión. Estos tipos de esfuerzos si se presentan tienden a crear grietas y fisuras en el material³⁰.

2.6.4. MECANICA DE ROCAS APLICADA A LA INGENIERIA DE PERFORACION

Conocer las características y propiedades físicas de minerales y rocas, su comportamiento mecánico, además de las características de las formaciones encontradas durante el proceso de perforación son factores importantes en el proceso de selección de trépanos y en la velocidad de penetración de los mismos³¹.

A continuación, se presentan los minerales encontrado durante la perforación de pozos petroleros, así como sus características en dureza, densidad y color.

²⁷ CARRASCO, Germán, Fundamentos de Geología y Geotecnia para Ingenieros, ABC, Bolivia, 1996; pág. 259 y 260

²⁸ Ídem. Pág. 260

²⁹ Ídem. Pág. 260

³⁰ Ídem. Pág. 259

³¹ Unidad de Perforación y Mantenimiento de Pozo. Barrenas e Hidráulica de Perforación, PEMEX, México, 2000; pág. 12

CUADRO N° II. II

PROPIEDADES DE LOS MINERALES ENCONTRADOS DURANTE LA PERFORACIÓN DE POZOS PETROLEROS.

PROPIEDADES DE LOS MINERALES			
Mineral	Dureza (Mohs)	Densidad (ppg)	Color
Barita	3,0-3,5	4,3-4,7	Gris
Calcita	3,0	2,72	Blanca o amarilla
Clorita	1,0-2,5	2,6-3,0	Verde pasto
Dolomita	3,5-4,0	2,9	Comúnmente blanca
Yeso	2	2,2-2,4	Blanco
Halita	2,0-2,5	2,1	Blanca
Kaolinita	1,0-2,0	2,2-2,6	Blanca
Pirita	6,0-6,5	4,9-5,2	Amarilla

Fuente: PEMEX³²

Las propiedades físicas de los minerales relacionadas con la Ingeniería de Perforación son: clivaje, fractura y dureza³³.

❖ **Dureza.-** Habilidad de un material para ser rayado por otro. La escala de Mohs es la medida estándar, donde el valor de 1 es para el material suave y el 10 para el duro³⁴. Un mineral cualquiera de esta escala puede rayar a los que tienen número más bajo y a su vez puede ser rayado por los que tienen número mayor³⁵.

³² Unidad de Perforación y Mantenimiento de Pozo. Barrenas e Hidráulica de Perforación, PEMEX, México, 2000; pág. 13

³³ Ídem. Pág. 13 y 14

³⁴ Ídem. Pág. 14

³⁵ CARRASCO, Germán, Fundamentos de Geología y Geotecnia para Ingenieros, ABC, Bolivia, 1996; pág. 54

- ❖ **Clivaje (exfoliación).**- Al aplicar una fuerza a un mineral, este se rompe generalmente a lo largo de un plano definido o plano de clivaje o exfoliación, que es paralelo a una cara cristalina. Esta superficie es plana y da la apariencia de haber sido pulida³⁶.
- ❖ **Fractura.**- Superficie resultante del rompimiento (debido al plano de clivaje) cuando no tiene relación con caras cristalinas y se diferencia en regular, irregular, concoidea³⁷.

2.6.5. SECUENCIA ESTRATIGRAFICA

Es una pila de capas o estratos que originalmente fueron sedimentados en una cuenca, donde las capas más jóvenes yacen sobre otras que las preceden en edad. Los sedimentos sometidos a la presión de la sobrecarga que reciben de nuevos aportes, la acción de los compuestos químicos en solución, la temperatura del suelo, y el transcurrir del tiempo hicieron que sedimentos y precipitados se compacten dando así origen a los estratos. Sinónimos: columna geológica, corte columnar, perfil estratigráfico³⁸.

2.7. TREPANOS

El trépano es la pieza que conectada al extremo inferior de los porta-mechas, permite perforar la formación. Esta pieza, en el sistema de perforación rotativo, al ser bajado con la sarta de perforación y tocar el fondo del pozo, inicia la perforación con la circulación del fluido de perforación a través de los conductos que posee el trépano y que limpia el fondo del pozo³⁹.

2.7.1. MECANISMO DE FUNCIONAMIENTO DE LOS TREPANOS

El funcionamiento de los trépanos depende de variables dependientes de las características del mismo trépano así como la formación que está perforando.

³⁶ CARRASCO, Germán, Fundamentos de Geología y Geotecnia para Ingenieros, ABC, Bolivia, 1996; pág. 54

³⁷ Ídem. Pág. 54

³⁸ ROLLANO, Mario, Industria de los Hidrocarburos, Cámara Boliviana de Hidrocarburos, Bolivia, 2008; pág.

26

³⁹ Ídem. Pág. 124

El funcionamiento del trépano depende de⁴⁰:

- ❖ Mecanismo de corte.
- ❖ Resistencia y mecanismo de falla de la roca.
- ❖ Mecanismo de perforación.

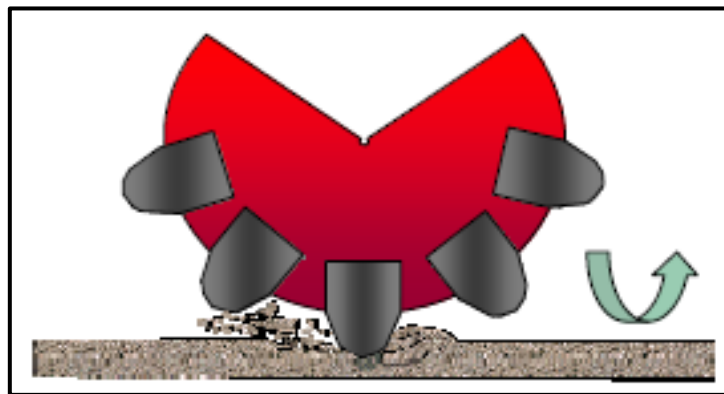
2.7.1.1. Mecanismo de corte

El mecanismo de corte de un trépano se realiza mediante⁴¹:

- ❖ Compresión de la roca.
- ❖ Fallado de la roca.
- ❖ Fallado y compresión de la roca.

a) **Compresión de la roca.** Se da mediante la incrustación del elemento cortante del trépano en la formación y el corte de la roca al desplazarse dentro de ella⁴². Este mecanismo de corte es característico en trépanos tricónicos.

FIGURA N° II. XI
COMPRESIÓN DE LA ROCA



Fuente: Schlumberger⁴³

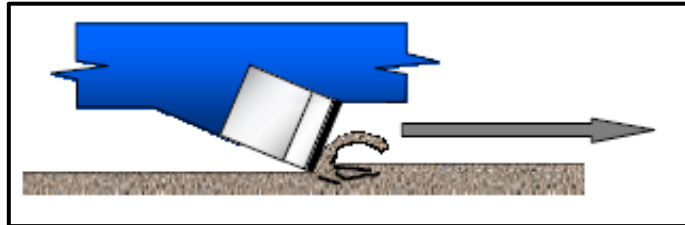
⁴⁰ Gerencia de Entrenamiento y Desarrollo & Gerencia Regional de Servicios Técnicos, Introducción a Brocas PDC, Smith Internacional, 2003; pág. 1

⁴¹ Ídem. Pág. 2

⁴² Ídem. Pág. 2

- b) **Fallado de la roca.** Se da mediante un cizallamiento generado por el elemento cortante del trépano, que vence la resistencia de la roca⁴⁴. Este mecanismo de corte es característico en trépanos de cortadores de diamantes sintéticos.

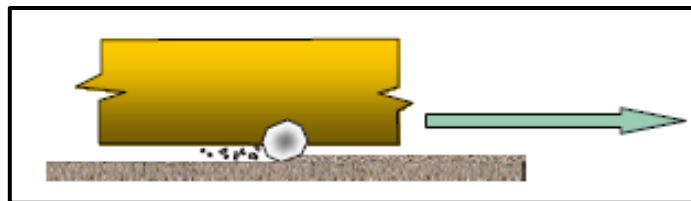
FIGURA N° II. XII
FALLADO DE LA ROCA



Fuente: Schlumberger⁴⁵

- c) **Fallado y compresión de la roca.** En los trépanos impregnados de diamantes (naturales y sintéticos) se presenta una combinación en el mecanismo de corte del trépano, al vencer la resistencia de la roca mediante falla por esfuerzos cortantes y esfuerzos de compresión⁴⁶.

FIGURA N° II. XIII
FALLADO Y COMPRESIÓN DE LA ROCA



Fuente: Schlumberger⁴⁷

⁴³ Programa de Entrenamiento Acelerado para Supervisores, Selección de barrenas en el proceso de construcción de pozos, Schlumberger, 2004; pág. 24

⁴⁴ Gerencia de Entrenamiento y Desarrollo & Gerencia Regional de Servicios Técnicos, Introducción a Brocas PDC, Smith Internacional, 2003; pág. 2

⁴⁵ Programa de Entrenamiento Acelerado para Supervisores, Selección de barrenas en el proceso de construcción de pozos, Schlumberger, 2004; pág. 25

⁴⁶ Gerencia de Entrenamiento y Desarrollo & Gerencia Regional de Servicios Técnicos, Introducción a Brocas PDC, Smith Internacional, 2003; pág. 2

⁴⁷ Programa de Entrenamiento Acelerado para Supervisores, Selección de barrenas en el proceso de construcción de pozos, Schlumberger, 2004; pág. 26

El mecanismo de corte de un trépano juega un papel importante en la determinación de la energía específica requerida para perforar a través de una formación dada⁴⁸.

2.7.1.2. Resistencia y mecanismo de falla de la roca

Las rocas presentan dos tipos de resistencia⁴⁹:

- ❖ Resistencia a esfuerzos cortantes.
- ❖ Resistencia a esfuerzos de compresión.

Para realizar el corte de una roca, primeramente se debe iniciar el fallado de la misma.

Los mecanismos de falla en las rocas son⁵⁰:

- ❖ Falla por esfuerzo cortante.
- ❖ Falla por esfuerzo de compresión.

2.7.1.3. Mecanismo de perforación

El mecanismo de perforación implica la acción de corte del trépano, la resistencia que ofrece la roca y el fallado de la misma, en condiciones in-situ. El mecanismo de perforación depende del tipo y características de la roca que se desea cortar principalmente, la dureza de la misma⁵¹.

2.7.2. TIPOS DE TREPANOS DISPONIBLES

Los trépanos por lo general se clasifican según su diseño, ya sea como Trépanos de cortadores fijos o trépanos de conos giratorios. Todos los trépanos de cortadores fijos consisten en láminas de cuchillas fijas que son integrales con el cuerpo del trépano y giran como unidad con la sarta de perforación. El uso de este

⁴⁸ Gerencia de Entrenamiento y Desarrollo & Gerencia Regional de Servicios Técnicos, Introducción a Brocas PDC, Smith Internacional, 2003; pág. 1

⁴⁹ Programa de Entrenamiento Acelerado para Supervisores, Selección de barrenas en el proceso de construcción de pozos, Schlumberger, 2004; pág. 23

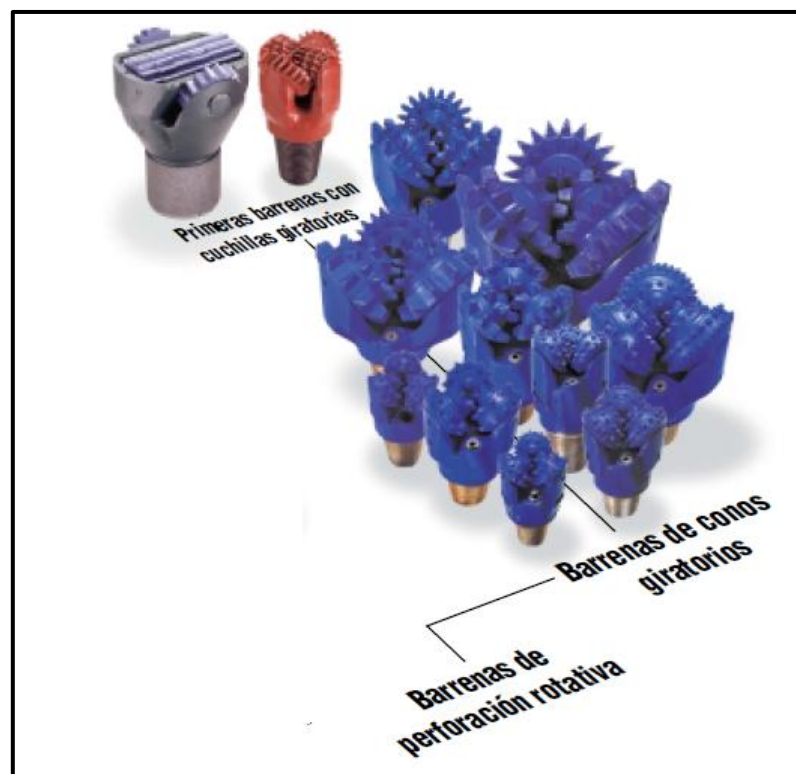
⁵⁰ Ídem. Pág. 22

⁵¹ Unidad de Perforación y Mantenimiento de Pozo. Barrenas e Hidráulica de Perforación, PEMEX, México, 2000; pág. 2

tipo de trépano se remonta a la introducción del proceso de perforación rotativa en el siglo 19. Los trépanos de conos giratorios tienen dos o más conos que contienen a los elementos de corte, que giran alrededor del eje de los conos tal como el trépano se hace girar en la parte inferior del agujero. El trépano de dos conos giratorios fue introducido en 1909⁵².

2.7.2.1. Trépanos de conos giratorios

FIGURA N° II. XIV
TRÉPANOS DE CONOS GIRATORIOS



Fuente: Besson Alain⁵³

Las barrenas de conos giratorios poseen conos de metal que giran en forma independiente al mismo tiempo que la barrena rota en el fondo del agujero. Cada uno de los conos cuenta con estructuras cortantes (dientes de acero resistentes al desgaste o insertos de carburo de tungsteno) que cortan y trituran, o penetran y rompen como si fuesen cinceles o palas, dependiendo de la dureza de la

⁵² BOURGOYNE, Adam, Applied Drilling Engineering, Society of Petroleum Engineers, Estados Unidos, 1986; pág. 190

⁵³ BESSON, Alain, Bordes Cortantes, TotalFinaElf, Francia, 2001; pág. 39

formación. Las barrenas de conos giratorios permiten perforar más profundo y normalmente se las conoce como barrenas para roca, debido a que pueden perforar formaciones más duras en comparación con las barrenas de arrastre.⁵⁴

a) Trépanos tricónicos.

Los trépanos tricónicos pertenecen al grupo de trépanos de conos giratorios. Poseen tres conos que se encuentran montados sobre la pierna del trépano mediante cojinetes. En los conos se encuentra maquinada o soldada la estructura cortadora, encargada de realizar el corte de la roca.

FIGURA N° II. XV
TRÉPANOS TRICÓNICOS



Fuente: Smith⁵⁵

Los trépanos tricónicos constan de tres componentes⁵⁶:

- ❖ Cuerpo del trépano.
- ❖ Estructura cortadora.
- ❖ Sistema de rodamientos (cojinetes).

A estos tres componentes, se suman otros subcomponentes como sellos y sistema de compensación de presión.

⁵⁴ BESSON, Alain, Bordes Cortantes, TotalFinaElf, Francia, 2001; pág. 38

⁵⁵ SMITH BIT, Product Catalog, 2013, pág. 38

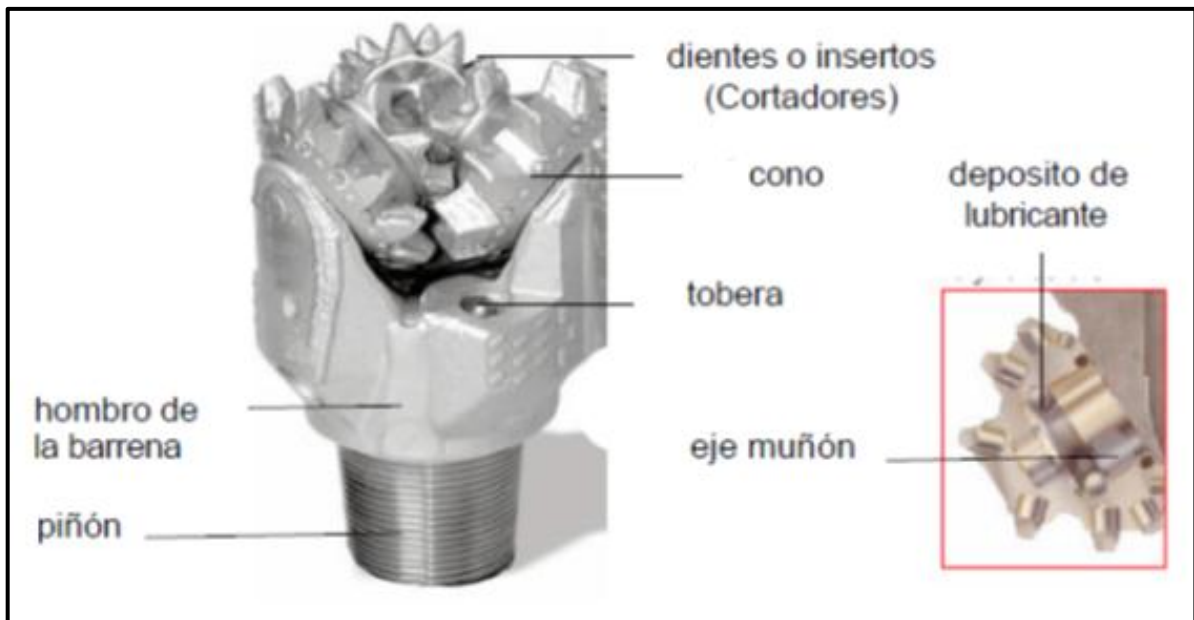
⁵⁶ ADAMS, Neal, Drilling Engineering, A Complete Well Planning Approach, PennWell Publishing Company, Estados Unidos, 1985, pág. 157

i) Cuerpo del trépano.

Está fabricado de acero y generalmente consiste de⁵⁷:

- ❖ Unión roscada (piñón), que une el trépano con la sarta de perforación.
- ❖ Tres ejes del cojinete (muñón), donde van montados los conos.
- ❖ Depósitos de lubricante, que contiene el lubricante para los cojinetes.
- ❖ Toberas o boquillas, por medio de los cuales el fluido de perforación fluye con la finalidad de extraer los recortes del fondo del pozo.
- ❖ Piernas del trépano maquinadas en una pieza forjada (con una soldadura especial para incrementar su resistencia).

FIGURA N° II. XVI
CUERPO DEL TRÉPANO TRICÓNICO



Fuente: Manual de Perforación⁵⁸

⁵⁷ ADAMS, Neal, Drilling Engineering, A Complete Well Planning Approach, PennWell Publishing Company, Estados Unidos, 1985, pág. 157

⁵⁸ <http://librosdeingenieriagratis.com/manual-para-ayudante-perforador-cabo-malacetero/>, Manual de Perforación, Manual para ayudante de perforador (cabo), perforador y malacetero, Documento electrónico, 2004; pág. 305

ii) Estructura cortadora.

Representada por conos y cortadores (dientes), que se encuentran en contacto con la formación y están encargados de la penetración.

El cono posee anillos guías para el montaje de los cojinetes, un buje fijado a presión y un tapón de empuje para el cojinete secundario.

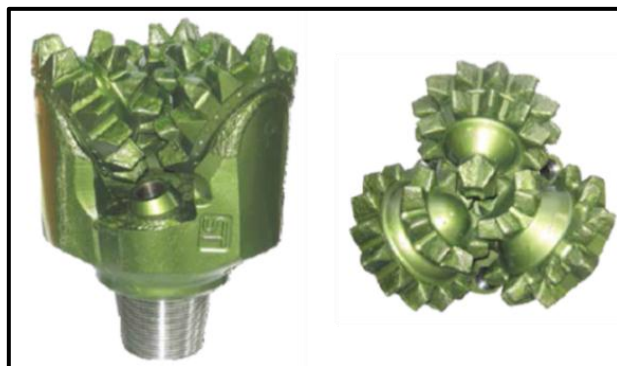
Los cortadores o dientes están ubicados en la superficie de los conos. Realizan el corte de la formación y son⁵⁹:

- ❖ Dientes de acero.
- ❖ Insertos de carburo de tungsteno.

1) Dientes de acero.

Son fabricados con el mismo metal que los conos del trépano. Cuentan con un recubrimiento duro de carburo de tungsteno, fundido integralmente con los dientes de acero, resistente al desgaste, que tiene como finalidad incrementar la durabilidad del trépano⁶⁰.

FIGURA N° II. XVII
DIENTES DE ACERO



Fuente: Smith⁶¹

⁵⁹ ADAMS, Neal, Drilling Engineering, A Complete Well Planning Approach, PennWell Publishing Company, Estados Unidos, 1985; pág. 157

⁶⁰ BESSON, Alain, Bordes Cortantes, TotalFinaElf, Francia, 2001; pág. 41

⁶¹ SMITH BIT, Product Catalog, 2013; pág. 38

2) Insertos de carburo de tungsteno.

Son formados por separado y colocados mecánicamente a presión en agujeros perforados en la superficie de los conos. Estos agujeros labrados en los conos son ligeramente menores en tamaño al diámetro de los insertos⁶².

FIGURA N° II. XVIII

INSERTOS DE CARBURO DE TUNGSTENO



Fuente: Smith⁶³

FIGURA N° II. XIX

INSERTOS DE CARBURO DE TUNGSTENO



Fuente: Adams Neal⁶⁴

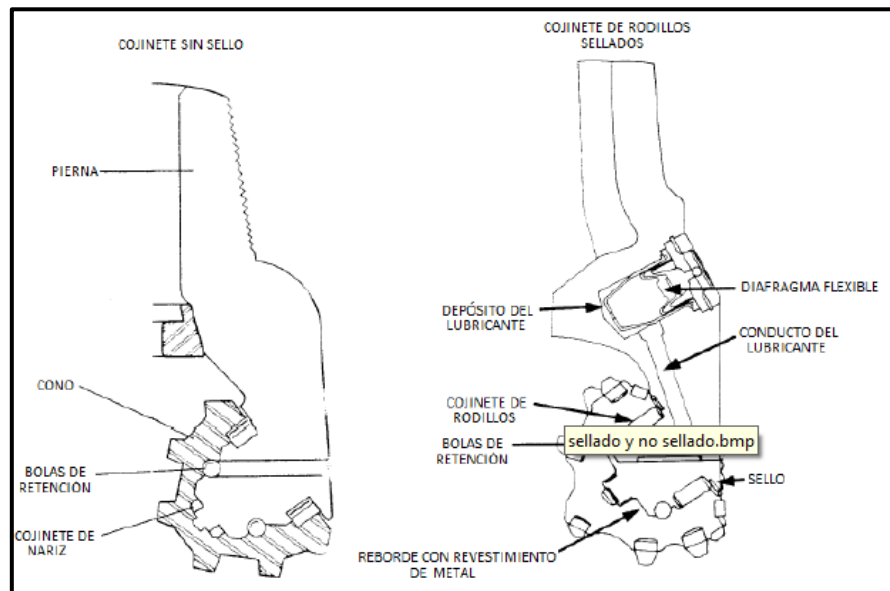
⁶² BESSON, Alain, Bordes Cortantes, TotalFinaElf, Francia, 2001; pág. 41

⁶³ SMITH BIT, Product Catalog, 2013; pág. 50

iii) Sistema de rodamientos (cojinetes) y sellos.

Los cojinetes son los componentes que permiten a los conos girar alrededor del cuerpo del trépano⁶⁵.

FIGURA N° II. XX
SISTEMA DE RODAMIENTOS Y SELLOS



Fuente: Baker-Hughes⁶⁶

Existen dos tipos de cojinetes:

- ❖ Cojinetes de rodillos.
- ❖ Cojinetes de fricción.

Los cojinetes pueden estar sin sello (abiertos) o sellados⁶⁷. Los cojinetes sin sello han sido reemplazados por sistemas de cojinetes sellados.

⁶⁴ ADAMS, Neal, Drilling Engineering, A Complete Well Planning Approach, PennWell Publishing Company, Estados Unidos, 1985; pág. 185

⁶⁵ COLUMBA, Julio César, Determinación del trépano adecuado para la perforación en el sub-andino sur aplicado a las formaciones del devónico, U.A.G.R.M., Bolivia, 2003; pág. 3

⁶⁶ Baker-Hughes, Drilling Engineering Workbook, A Learning Course, Baker Hughes Inteq Training & Development, Estados Unidos, 1995; pág. 3 y 5

⁶⁷ COLUMBA, Julio César, Determinación del trépano adecuado para la perforación en el sub-andino sur aplicado a las formaciones del devónico, U.A.G.R.M., Bolivia, 2003; pág. 3

Los sellos tienen como finalidad mantener el lubricante dentro de los cojinetes sellados, impidiendo que el fluido de perforación y sustancias sólidas penetren dentro del cojinete.

Los sellos evitan problemas de fatiga y desgaste en las superficies de los cojinetes, en las piezas de sujeción y en los conos. Existen clases de sellos disponibles en el mercado que sellan de forma eficaz reduciendo la fricción y disipando el calor, disminuyendo el desgaste y permaneciendo más fríos.

Los sellos comunes son los radiales⁶⁸.

1) Cojinetes de rodillos.

Son utilizados en aplicaciones con formaciones blandas. Son de dos tipos:

- ❖ **Cojinetes R-B-R (Rodillos-Bolas-Rodillos):** compuesto de cojinetes de rodillos, bolas de retención del cono y cojinetes de rodillos, ubicados en la parte principal, intermedia y secundaria del cono, respectivamente⁶⁹.

FIGURA N° II. XXI

COJINETE R-B-R



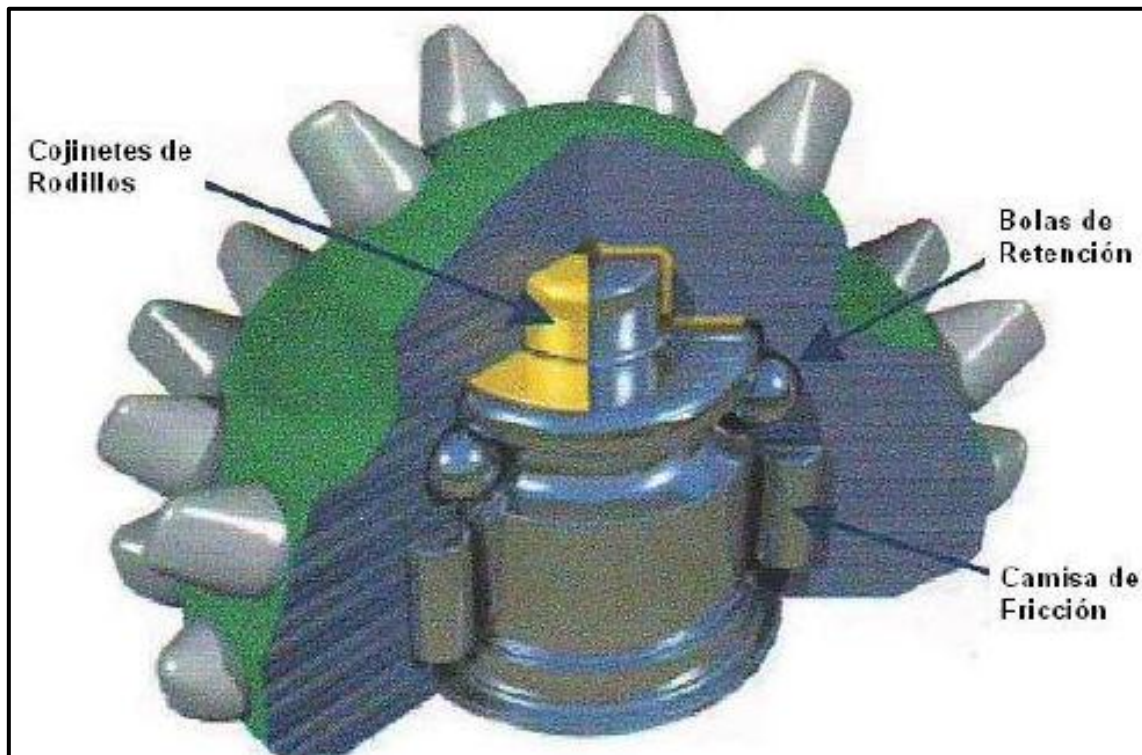
Fuente: PerfoBlogger⁷⁰

⁶⁸ BESSON, Alain, Bordes Cortantes, TotalFinaElf, Francia, 2001; pág. 42

⁶⁹ Gerencia de Entrenamiento y Desarrollo & Gerencia Regional de Servicios Técnicos, Introducción a Brocas PDC, Smith Internacional, 2003; pág. 27

⁷⁰ <http://achjij.blogspot.com/2011/06/mechas-e-hidraulica-aplicadas-para-las.html>, (Junio del 2006)

- ❖ **Cojinetes R-B-F (Rodillos-Bolas-Fricción):** compuestos de cojinetes de rodillos, bolas de retención del cono y camisas de fricción, ubicados en la parte principal, intermedia y secundaria, respectivamente⁷¹.

FIGURA N° II. XXII**COJINETE R-B-F**

Fuente: Smith⁷²

2) Cojinetes de fricción (F-B-F)

Son utilizados en aplicaciones con formaciones duras y son denominados cojinetes F-B-F, compuestos por camisa de fricción, bolas de retención del cono y camisas de fricción, en la parte principal, intermedia y secundaria, respectivamente⁷³.

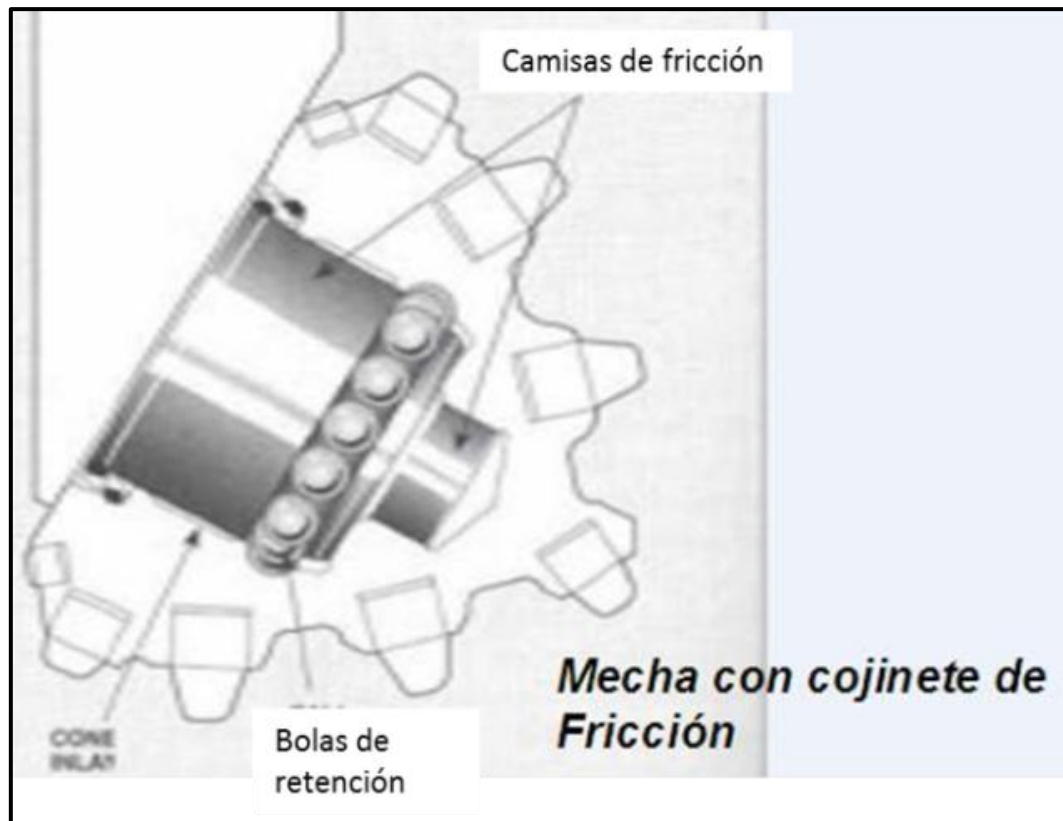
⁷¹ Gerencia de Entrenamiento y Desarrollo & Gerencia Regional de Servicios Técnicos, Introducción a Brocas PDC, Smith Internacional, 2003; pág. 27

⁷² Ídem. Pág. 27

⁷³ Ídem. Pág. 25

FIGURA N° II. XXIII

COJINETE F-B-F



Fuente: PetrolBlogger⁷⁴

Los cojinetes F-B-F tienen cuatro diseños básicos⁷⁵:

- ❖ Tipo almohadilla de fricción.
- ❖ Tipo manga segmentada.
- ❖ Tipo chumacera sólida.
- ❖ Tipo manda espinodal hendida.

Estos cojinetes poseen características distintas y su uso depende de la aplicación, permitiendo soportar las cargas aplicadas sobre el trépano y otros funcionando como reductores de velocidad, manteniendo el cojinete estable y alineado, aumentando la vida útil.

⁷⁴ <http://achjjj.blogspot.com/2011/06/mechas-e-hidraulica-aplicadas-para-las.html>, (Junio del 2006)

⁷⁵ COLUMBA, Julio César, Determinación del trépano adecuado para la perforación en el sub-andino sur aplicado a las formaciones del devónico, U.A.G.R.M., Bolivia, 2003; pág. 8

iv) Sistema de ecualización de presión.

Tiene como función principal igualar las diferencias de presión a lo largo de los sellos⁷⁶.

Existen dos tipos de sistemas de ecualización de presión en los trépanos tricónicos⁷⁷:

1) Sistema tipo tapa sombrerete:

Consiste en una tapa de sombrerete con agujeros que permite la comunicación con la carga hidrostática en el espacio anular creada por los fluidos de perforación.

2) Sistema por venteo en forma de bóveda:

Se caracteriza por una abertura o puerto en cada ensamblaje de la pierna, perforado a través de esta y arriba de los conos. Esta abertura permite a la presión hidrostática actuar en contra de un conjunto de mangas que permiten la ecualización de presión.

v) Características de diseño.

Las características de diseño en los trépanos tricónicos dependen del tipo de formación que se perfora.

Los factores de diseño considerados son⁷⁸:

- ❖ Tipos de estructura de corte.
- ❖ Pierna del trépano.
- ❖ Cojinetes y sellos.
- ❖ Hidráulica del trépano.

⁷⁶ Gerencia de Entrenamiento y Desarrollo & Gerencia Regional de Servicios Técnicos, Introducción a Brocas PDC, Smith Internacional, 2003; pág. 30

⁷⁷ COLUMBA, Julio César, Determinación del trépano adecuado para la perforación en el sub-andino sur aplicado a las formaciones del devónico, U.A.G.R.M., Bolivia, 2003; pág. 7

⁷⁸ Unidad de Perforación y Mantenimiento de Pozo, Barrenas e Hidráulica de Perforación, PEMEX, México, 2000; pág. 5

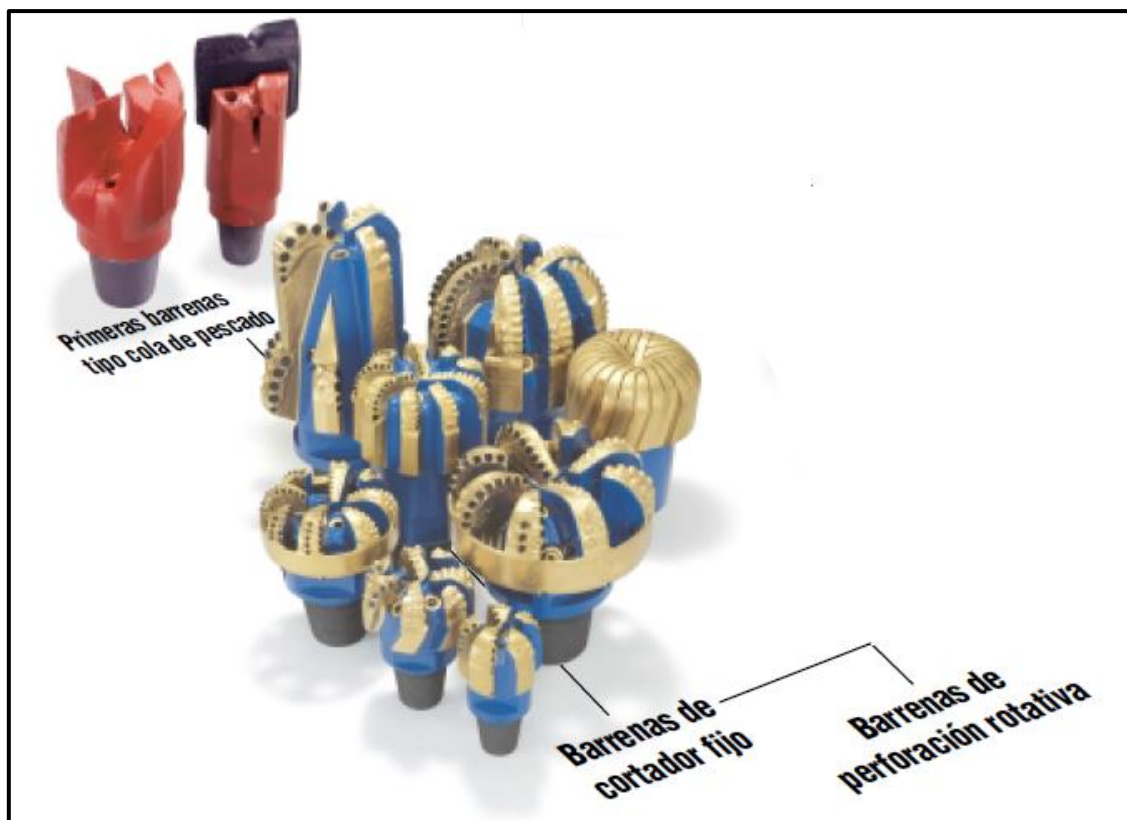
El espacio permitido a los componentes del trépano depende del tipo de formación. Los trépanos utilizados en aplicaciones con formaciones blandas requieren pesos bajos sobre el trépano, tienen cojinetes pequeños, espesor reducido de conos y sección de piernas delgadas, permitiendo un espacio mayor para los elementos de corte que son largos.

Los trépanos utilizados en aplicaciones con formaciones duras requieren pesos grandes sobre el trépano, tienen cojinetes grandes, espesor mayor de conos y elementos de corte robustos, piernas largas y cuerpos vigorosos.

2.7.2.2. Trépanos de cortadores fijos

FIGURA N° II. XXIV

TRÉPANOS DE CORTADORES FIJOS



Fuente: Besson Alain⁷⁹

⁷⁹ BESSON, Alain, Bordes Cortantes, TotalFinaElf, Francia, 2001; pág. 39

Las barrenas de cortador fijo o barrenas de arrastre cuentan con cuchillas integradas que giran en conjunto. Las barrenas de arrastre con cortadores de acero, también conocidas como barrenas tipo cola de pescado debido a sus formas características, datan de la época de la perforación rotativa anterior a 1900. Estas cortaban las formaciones blandas en forma similar al arado, haciendo surcos o hendiduras en la tierra. Las modernas barrenas de cortador fijo con superficie de diamante también cortan las formaciones; las barrenas con diamantes suspendidos en cuchillas matriciales trituran las rocas y los cortadores de un compuesto policristalino de diamante (PDC, por sus siglas en inglés) cortan las rocas en forma similar como lo hace un torno⁸⁰.

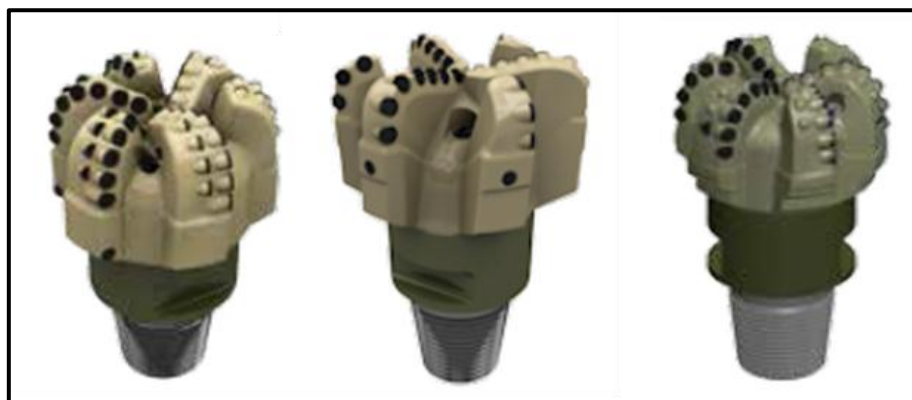
a) Trépanos de cortadores de diamante sintético.

Los trépanos de cortadores de diamante sintético pertenecen al grupo de trépanos de cortadores fijos. No poseen partes móviles, sino superficies cortantes para desgastar, por lo que pueden perforar rápidamente durante períodos largos a ciertas condiciones operativas⁸¹.

Están conformados por cuerpo y estructura cortadora.

FIGURA N° II. XXV

TRÉPANO DE CORTADORES DE DIAMANTE SINTÉTICO



Fuente: Smith⁸²

⁸⁰ BESSON, Alain, Bordes Cortantes, TotalFinaElf, Francia, 2001; pág. 38

⁸¹ Ídem. Pág. 39

⁸² SMITH BIT, Product Catalog, 2013; pág. 22

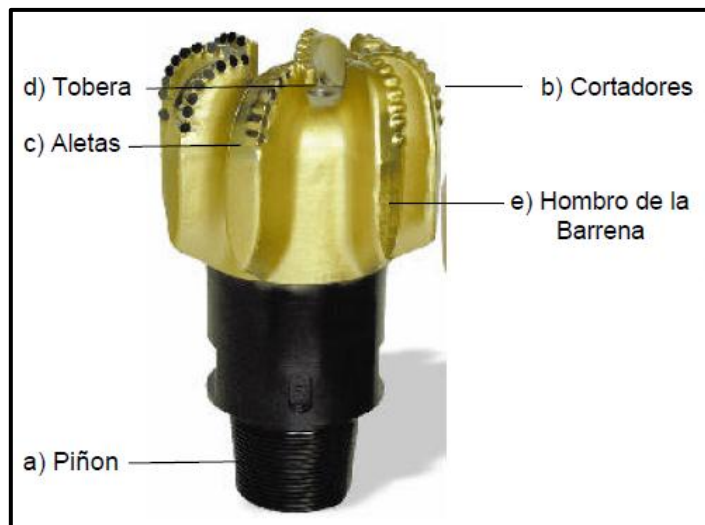
i) Cuerpo del trépano.

El cuerpo de un trépano de cortadores de diamante sintético está conformado por⁸³:

- ❖ Unión roscada (piñón).
- ❖ Elementos de corte.
- ❖ Aletas.
- ❖ Toberas (boquillas).
- ❖ Hombro del trépano.

FIGURA N° II. XXVI

CUERPO DEL TRÉPANO DE CORTADORES DE DIAMANTE SINTÉTICO



Fuente: Manual de Perforación⁸⁴

Los trépanos en función de su tipo de cuerpo se clasifican en⁸⁵:

- ❖ Trépanos de acero.

⁸³ <http://librosdeingenieriagratis.com/manual-para-ayudante-perforador-cabo-malacetero/>, Manual de Perforación, Manual para ayudante de perforador (cabo), perforador y malacatero, Documento electrónico, 2004; pág. 305

⁸⁴ Ídem. Pág. 306

⁸⁵ BESSON, Alain, Bordes Cortantes, TotalFinaElf, Francia, 2001; pág. 48

- ❖ Trépanos de matriz de carburo de tungsteno.

1) Trépanos de acero.

Fabricados de una sola pieza por lo que no poseen soldaduras y las características de diseño pueden ajustarse a las tolerancias. En áreas críticas puede aplicarse metales de dureza mayor como carburo de tungsteno⁸⁶.

2) Trépanos de matriz con carburo de tungsteno.

Fabricados en un molde, en el que se coloca polvo de carburo de tungsteno, una aleación adherente y un núcleo de acero y se procede a la sintetización.

Presentan fragilidad y resistencia a la erosión mayor en comparación con trépanos de acero⁸⁷.

ii) Estructura cortadora.

La estructura de corte es definida como un arreglo de cortadores sobre la cara del trépano, con el objetivo de suministrar una adecuada y completa cobertura del fondo del agujero, para enfrentar la dureza de la formación, abrasividad y sus principales vibraciones inducidas por la perforación⁸⁸.

Las clases de diamante sintético utilizados como parte de la estructura de corte son:

- ❖ Diamantes PDC (Compactos de diamantes poli-cristalino).
- ❖ Diamantes TSP (Poli-cristalino térmicamente estable).

Los procesos de manufactura de estas clases de cortadores de diamante son similares.

1) Elementos de corte PDC.

La manufactura del diamante PDC se realiza mediante la sintetización del carbón (grafito) y cobalto que actúa como catalizador y solvente. Se coloca de forma

⁸⁶ BESSON, Alain, Bordes Cortantes, TotalFinaElf, Francia, 2001; pág. 48 y 49

⁸⁷ Ídem. Pág. 48 y 49

⁸⁸ Gerencia de Entrenamiento y Desarrollo & Gerencia Regional de Servicios Técnicos, Introducción a Brocas PDC, Smith Internacional, 2003; pág. 78

alternada capas circulares delgadas de grafito y cobalto que se somete a altas presiones y temperaturas ($T=2.732\text{ }^{\circ}\text{F}$ y $P=2.000\text{ psi}$)⁸⁹. El cobalto disuelve el grafito y deposita cristales de diamante en su lugar, que se conglomeran y se unen para formar una capa poli-cristalina de diamante denominada tabla de diamante sintético, en este caso tabla PDC (tabla en forma de disco)⁹⁰.

Se conforma un compacto integral formado por tablas PDC y substratos de carburo de tungsteno (cementados a las tablas de diamante). Este compacto integral se adhiere a un soporte de carburo de tungsteno para el montaje en el trépano. En los trépanos de cuerpo de acero, el compacto integral es montado a presión en agujeros labrados ligeramente más pequeños que el compacto⁹¹.

En trépanos de matriz de carburo de tungsteno, el compacto integral es colocado en cavidades del molde antes de sintetizar a matriz⁹².

FIGURA N° II. XXVII

TRÉPANOS PDC



Fuente: Schlumberger⁹³

⁸⁹ Gerencia de Entrenamiento y Desarrollo & Gerencia Regional de Servicios Técnicos, Introducción a Brocas PDC, Smith Internacional, 2003; pág. 9

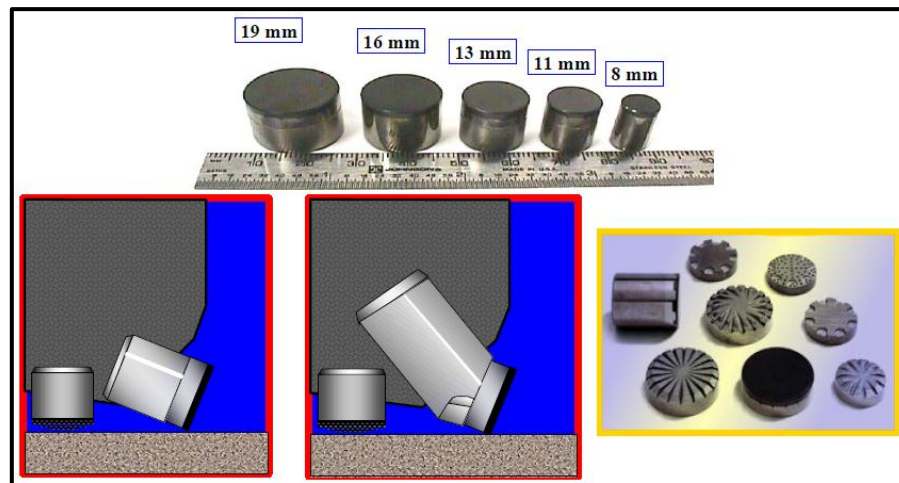
⁹⁰ BESSON, Alain, Bordes Cortantes, TotalFinaElf, Francia, 2001; pág. 51

⁹¹ Ídem. Pág. 48 y 49

⁹² Ídem. Pág. 48

⁹³ Programa de Entrenamiento Acelerado para Supervisores, Selección de barrenas en el proceso de construcción de pozos, Schlumberger, 2004; pág. 6

FIGURA N° II. XXVIII
ELEMENTOS DE CORTE PDC



Fuente: Schlumberger⁹⁴

2) Cortador de diamante TSP.

La tabla de diamante sintético TSP se logra de dos maneras:

❖ Sintetización de carbón y cobalto y tratamiento con ácido para remoción del cobalto.

Se realiza de la misma manera que la tabla PDC. Las tablas son tratadas con ácido para extraer el cobalto, formando una tabla de diamante sintético, en este caso tabla TSP (tabla en forma de disco)⁹⁵.

❖ Sintetización de carbón y silicio.

Se colocan de forma alternada capas delgadas circulares de grafito y silicio y se somete a presiones y temperaturas altas ($T=2.732\text{ }^{\circ}\text{F}$ y $P=2.000.000\text{ psi}$)⁹⁶. El silicio que actúa como catalizador reacciona con las partículas de diamante formando carburo de silicio que disuelve el grafito y deposita cristales de diamante en su lugar, que se conglomeran y unen para formar una capa poli-cristalina de

⁹⁴ Programa de Entrenamiento Acelerado para Supervisores, Selección de barrenas en el proceso de construcción de pozos, Schlumberger, 2004; pág. 7

⁹⁵ Gerencia de Entrenamiento y Desarrollo & Gerencia Regional de Servicios Técnicos, Introducción a Brocas PDC, Smith Internacional, 2003; pág. 11 y 12

⁹⁶ BESSON, Alain, Bordes Cortantes, TotalFinaElf, Francia, 2001; pág. 51

diamante denominada tabla de diamante sintético, en este caso tabla TSP (tabla en forma de disco)⁹⁷.

Las tablas TSP son montadas de forma mecánica en el trépano ya que no pueden ser adheridas directamente a soportes de carburo de tungsteno (no conforman un compacto integral)⁹⁸.

En trépanos de acero, las tablas TSP son montadas a presión en agujeros labrados de diámetro menor que la tabla⁹⁹.

En trépanos de matriz de carburo de tungsteno, las tablas TSP son colocadas en cavidades de molde antes de sintetizar la matriz¹⁰⁰.

FIGURA N° II. XXIX
TRÉPANOS TSP



Fuente: Schlumberger¹⁰¹

⁹⁷ BESSON, Alain, Bordes Cortantes, TotalFinaElf, Francia, 2001; pág. 51

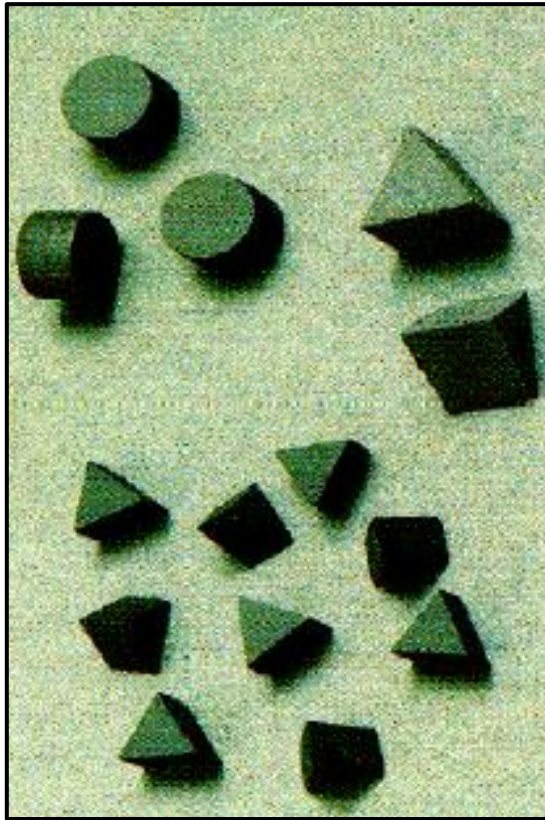
⁹⁸ Ídem. Pág. 51

⁹⁹ Ídem. Pág. 48 y 49

¹⁰⁰ Ídem. Pág. 48

¹⁰¹ Programa de Entrenamiento Acelerado para Supervisores, Selección de barrenas en el proceso de construcción de pozos, Schlumberger, 2004; pág. 11

FIGURA N° II. XXX
ELEMENTOS DE CORTE TSP



Fuente: Schlumberger¹⁰²

3) Características de los cortadores de diamante sintético.

Las características de los cortadores de diamante PDC y TSP son:

- ❖ Resistencia mayor al impacto que el diamante natural (no cuentan con planos de clivaje o resquebrajamiento)¹⁰³.
- ❖ Excelente resistencia a la abrasividad¹⁰⁴.

Entre las diferencias se tiene:

¹⁰² Programa de Entrenamiento Acelerado para Supervisores, Selección de barrenas en el proceso de construcción de pozos, Schlumberger, 2004; pág. 11

¹⁰³ BESSON, Alain, Bordes Cortantes, TotalFinaElf, Francia, 2001; pág. 51

¹⁰⁴ Gerencia de Entrenamiento y Desarrollo & Gerencia Regional de Servicios Técnicos, Introducción a Brocas PDC, Smith Internacional, 2003; pág. 12

CUADRO N° II. III

DIFERENCIAS ENTRE CORTADORES PDC Y TSP

Cortadores de diamante sintético PDC	Cortadores de diamante sintético TSP
Permanecen estables hasta 1.292 °F debido a la presencia de cobalto (el cobalto se expande más que el diamante). Por encima de 1.292 °F esta expansión quiebra el enlace entre el cobalto y el diamante provocando una falla en los cortadores. Los cortadores PDC tienen una resistencia térmica más baja que el diamante natural y que la tabla TSP ¹⁰⁵ .	Permanecen estables a 2.100 °F (poseen una resistencia térmica más alta que la tabla PDC) ¹⁰⁶ .
Las propiedades mecánicas son dependientes de la tabla de diamante y volumen de cobalto ¹⁰⁷ .	No conforman un compacto integral (imposibilidad de ser adherido al soporte) limita sus aplicaciones ¹⁰⁸ .

Fuente: Besson-Smith

iii) Características de diseño.

Los factores de diseño considerados para un trépano de cortadores de diamante sintético son¹⁰⁹:

- ❖ Perfil del trépano.
- ❖ Tamaño y tipo de cortadores.
- ❖ Densidad de cortadores.
- ❖ Distribución de los cortadores.
- ❖ Estabilización del trépano.
- ❖ Hidráulica.

¹⁰⁵ BESSON, Alain, Bordes Cortantes, TotalFinaElf, Francia, 2001; pág. 51

¹⁰⁶ Gerencia de Entrenamiento y Desarrollo & Gerencia Regional de Servicios Técnicos, Introducción a Brocas PDC, Smith Internacional, 2003; pág. 13

¹⁰⁷ BESSON, Alain, Bordes Cortantes, TotalFinaElf, Francia, 2001; pág. 51

¹⁰⁸ Ídem. Pág. 51

¹⁰⁹ Gerencia de Entrenamiento y Desarrollo & Gerencia Regional de Servicios Técnicos, Introducción a Brocas PDC, Smith Internacional, 2003; pág. 109

- ❖ Protección del calibre.

b) Trépanos impregnados de diamante.

Los trépanos impregnados de diamante pertenecen al grupo de trépanos de cortadores fijos, no poseen partes móviles, sino superficies cortantes para desgastar, por lo que pueden perforar rápidamente durante períodos largos a ciertas condiciones operativas¹¹⁰.

Están conformados por el cuerpo del trépano y la estructura cortadora.

i. Cuerpo del trépano.

Al igual que los trépanos de cortadores de diamantes sintéticos, se clasifican en¹¹¹:

- ❖ Trépanos de acero.
- ❖ Trépanos de matriz de carburo de tungsteno.

Las partes principales de un trépano impregnado son¹¹²:

- ❖ Conexión API.
- ❖ Ranura de conexión.
- ❖ Corona.
- ❖ Estructura cortadora.
- ❖ Ranura de desalojo.
- ❖ Calibre de diamante.
- ❖ Espiga.

¹¹⁰ BESSON, Alain, Bordes Cortantes, TotalFinaElf, Francia, 2001; pág. 51

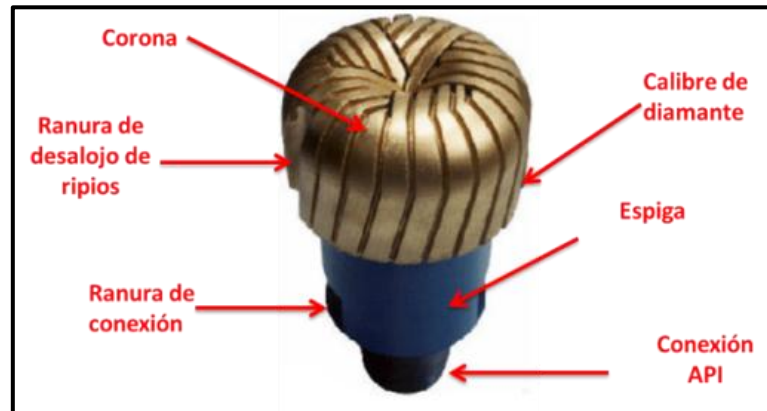
¹¹⁰ Ídem. Pág. 39

¹¹¹ Ídem. Pág. 48

¹¹² Gerencia de Entrenamiento y Desarrollo & Gerencia Regional de Servicios Técnicos, Introducción a Brocas PDC, Smith Internacional, 2003; pág. 36 y 37

FIGURA N° II. XXXI

PARTES DE UN TRÉPANO IMPREGNADO DE DIAMANTE

Fuente: Schlumberger¹¹³

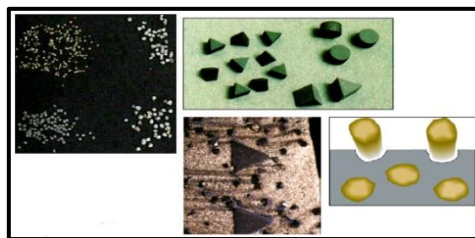
ii. Estructura cortadora.

La estructura de corte es definido por un arreglo de cortadores de diamantes naturales sobre la cara del trépano, con el objetivo de suministrar una adecuada y completa cobertura del fondo del agujero. El diamante natural es el material más duro conocido en la actualidad.

No se utilizan piedras preciosas o gemas ya que son de buena calidad. Las piedras que se utilizan son de menor calidad, sólidas, con la suficiente redondez y bajo precio para justificar su uso¹¹⁴.

FIGURA N° II. XXXII

ELEMENTOS DE CORTE DE DIAMANTE NATURAL IMPREGNADO

Fuente: Schlumberger¹¹⁵

¹¹³ Programa de Entrenamiento Acelerado para Supervisores, Selección de barrenas en el proceso de construcción de pozos, Schlumberger, 2004; pág. 12

¹¹⁴ COLUMBA, Julio César, Determinación del trépano adecuado para la perforación en el sub-andino sur aplicado a las formaciones del devónico, U.A.G.R.M., Bolivia, 2003; pág. 33

En el cuadro N° II. IV se muestran las características del diamante natural:

CUADRO N° II. IV
CARACTERÍSTICAS DEL DIAMANTE NATURAL

CARACTERÍSTICAS DEL DIAMANTE NATURAL		
Características		Descripción
Ventajas	Coeficiente de fricción	Coeficiente de fricción menor entre todos los materiales conocidos ¹¹⁶ .
	Conductividad térmica	Conductividad térmica mayor entre todos los materiales conocidos ¹¹⁷ .
	Resistencia a la compresión.	1,5 veces más resistente a la compresibilidad que el carburo de tungsteno ¹¹⁸ . 20 veces más resistente a la compresión que el granito ¹¹⁹ .
	Resistencia a la abrasividad.	100 veces más resistente a la abrasividad que el carburo de tungsteno ¹²⁰ .
	Dureza	10 veces más duro que el acero ¹²¹ . 2 veces más duro que el carburo de tungsteno ¹²² .
	Resistencia al desgaste.	10 veces más resistente al desgaste que el carburo de tungsteno ¹²³ .
Desventajas	Resistencia al impacto.	Se resquebraja si las cargas de impacto se aplican en la dirección correcta, debido a sus planos de clivaje (resquebrajamiento) ¹²⁴ .

Fuente: Besson-Smith

¹¹⁵ Programa de Entrenamiento Acelerado para Supervisores, Selección de barrenas en el proceso de construcción de pozos, Schlumberger, 2004; pág. 13

¹¹⁶ Gerencia de Entrenamiento y Desarrollo & Gerencia Regional de Servicios Técnicos, Introducción a Brocas PDC, Smith Internacional, 2003; pág. 4

¹¹⁷ Ídem. Pág. 4

¹¹⁸ Ídem. Pág. 4

¹¹⁹ BESSON, Alain, Bordes Cortantes, TotalFinaElf, Francia, 2001; pág. 50

¹²⁰ Gerencia de Entrenamiento y Desarrollo & Gerencia Regional de Servicios Técnicos, Introducción a Brocas PDC, Smith Internacional, 2003; pág. 4

¹²¹ BESSON, Alain, Bordes Cortantes, TotalFinaElf, Francia, 2001; pág. 50

¹²² Ídem. Pág. 50

¹²³ Ídem. Pág. 50

¹²⁴ Ídem. Pág. 51

2.7.2.3. Resumen de los trépanos

CUADRO N° II. V

RESUMEN DE LOS TRÉPANOS.

CUADRO RESUMEN DE LOS TRÉPANOS				
Tipo de trépano	Componentes	Usos	Ventajas	Desventajas
Trépano tricónico.	Cuerpo. Estructura cortante. Sistema de rodamientos.	Dientes de acero	Alta resistencia al impacto. Disminuyen la torsión en el fondo del pozo. Precios económicos.	Poseen partes móviles. Se desgastan rápidamente. Perforan a RPM bajas. Requieren WOB altos.
		Formaciones blandas. Formaciones de dureza media. Formaciones duras.		
		Insertos de carburo de tungsteno		
		Formaciones blandas. Formaciones de dureza media. Formaciones duras y abrasivas. Formaciones de abrasividad media.		
Trépanos de cortadores de diamante sintético.	Cuerpo. Estructura cortante.	Formaciones blandas. Formaciones duras y de abrasividad baja. Formaciones duras y de abrasividad alta.	No poseen partes móviles. Perforan a RPM altas. Alta resistencia a la abrasividad. Tienen larga vida.	No resisten impactos altos. Generan torsión en el fondo del pozo.
Trépanos impregnados de diamante.	Cuerpo. Estructura cortante.	Formaciones blandas. Formaciones de dureza media. Formaciones de dureza alta. Formaciones de dureza y abrasividad altas.	No poseen partes móviles. Perforan a RPM altas. Alta resistencia a la abrasividad. Tienen larga vida.	No resisten impactos altos. Generan torsión en el fondo del pozo. Requieren WOB altos.

Fuente: Bourgoyne Adam¹²⁵

¹²⁵ BOURGOYNE, Adam, Applied Drilling Engineering, Society of Petroleum Engineers, Estados Unidos, 1986; pág. 190-196

2.8. CODIGOS IADC

La “Asociación Internacional de Contratistas de perforación” (IADC) desarrolló códigos o sistemas estandarizados, aplicados a la ingeniería de perforación de pozos petroleros¹²⁶.

En el presente estudio, se aplicarán los códigos IADC para:

- ❖ Trépanos de cortadores fijos.
- ❖ Trépanos desgastados.

2.8.1. CODIGO IADC PARA TREPANOS DE CORTADORES FIJOS.

El código IADC para trépanos de cortadores fijo incluye trépanos de cortadores de diamante sintético y trépanos impregnados de diamante.¹²⁷

Identifica las principales características del trépano sin representar una guía para su aplicación, debido a que no los relaciona con la aplicación¹²⁸.

Consiste en cuatro dígitos¹²⁹:

- a) **Primer dígito.** Identifica el cuerpo del trépano.
- b) **Segundo dígito.** Identifica el tamaño de cortadores en trépanos PDC y la densidad de cortadores en trépanos de diamantes.
- c) **Tercer dígito.** Identifica el tamaño de cortador en trépanos PDC y el tipo de cortador en trépanos de diamante.
- d) **Cuarto dígito.** Identifica el tipo de perfil del cuerpo.

¹²⁶ Unidad de Perforación y Mantenimiento de Pozo, Barrenas e Hidráulica de Perforación, PEMEX, México, 2000; pág. 7

¹²⁷ Ídem. Pág. 9

¹²⁸ Programa de Entrenamiento Acelerado para Supervisores, Selección de barrenas en el proceso de construcción de pozos, Schlumberger, 2004; pág. 30

¹²⁹ Ídem. Pág. 30

CUADRO N° II. VI

CÓDIGO IADC PARA TRÉPANOS DE CORTADORES FIJOS

CODIGO IADC PARA TRÉPANOS DE CORTADORES FIJOS							
Primer Dígito	Tipo de trépano	Segundo Dígito		Tercer Dígito		Cuarto Dígito	
Material del trépano		Cantidad de cortadores		Tamaño de cortadores		Perfil del trepano	
S	PDC	1	Menor a 30	1	Mayor a 25 mm	1	Plano
		2	De 30 a 41	2	De 14 a 25 mm	2	Corto
M		3	De 41 a 50	3	De 8 a 14 mm	3	Medio
		4	Mayor a 51	4	Menor a 8 mm	4	Largo
Material del trépano	Tipo de trépano	Densidad de cortadores		Tipo del cortador		Perfil del trépano	
S	Diamantes	6	Mayor de 6 P/Q	1	Diamante natural	1	Plano
				2	Cortadores TSP	2	Corto
M			7	De 3 a 7 P/Q	3	Diamante Natural y TSP	3
		8	Menor a 7 P/Q	4	Impregnado	4	Largo

Fuente: Schlumberger¹³⁰

¹³⁰ Programa de Entrenamiento Acelerado para Supervisores, Selección de barrenas en el proceso de construcción de pozos, Schlumberger, 2004; pág. 30

2.8.2. CODIGO IADC PARA TREPANOS DESGASTADOS

El código IADC para trépanos desgastados es una metodología estándar para describir a trépanos desgastados o utilizados. Esta información es esencial para el análisis en la operación de trépanos¹³¹.

La metodología describe 8 características básicas como son¹³²:

- ❖ Análisis de cortadores (hileras interiores y exteriores).
- ❖ Características del desgaste.
- ❖ Sello de cojinetes.
- ❖ Diámetro del trépano.
- ❖ Otras características.
- ❖ Motivo de extracción del trépano.

El código para trépanos desgastados en trépanos de cortadores fijos consiste de cuatro cuerpos que incluyen ocho dígitos.

2.8.2.1. Primer cuerpo

Realiza un análisis de la estructura cortante, grado de desgaste, características de ubicación:

- a) **Primer dígito.** Se realiza un análisis de los cortadores en sus hileras interiores, que corresponden a cortadores ubicados en el 2/3 del radio del trépano¹³³.
- b) **Segundo dígito.** Se realiza un análisis de los cortadores en sus hileras exteriores, que corresponden a cortadores ubicados en el 1/3 restante del radio del trépano¹³⁴.

La estructura de corte se califica de 0 a 8 dependiendo del porcentaje de estructura de corte utilizada. El número cero corresponde a un cortador intacto

¹³¹ Programa de Entrenamiento Acelerado para Supervisores, Selección de barrenas en el proceso de construcción de pozos, Schlumberger, 2004; pág. 37

¹³² Ídem. Pág. 38

¹³³ Ídem. Pág. 38

¹³⁴ Ídem. Pág. 38

(0% de uso) y ocho corresponde a un cortador completamente gastado (100% de uso)¹³⁵.

c) **Tercer dígito.** Se realiza un análisis de las características de desgaste identificando en el primer y segundo dígito¹³⁶ según el cuadro N° II. VII:

CUADRO N° II. VII

TERCER DÍGITO DEL CÓDIGO IADC PARA TRÉPANOS DESGASTADOS

TERCER DÍGITO	
Características del desgaste	Símbolo
Falla de Adherencia	BF
Cortadores Rotos	BT
Embolado	BU
Cortadores cincelados	CT
Erosión	ER
Dañado por Calor	HC
Daño por chatarra metálica	JD
Tobera Perdida	LN
Cortador perdido	LT
No se puede volver a correr	NR
Tobera tapada	PN
Diámetro externo desgastado	RG
Desgaste anillado	RO
Se puede volver a correr	RR
Desgaste de autoafilado	SS
Tracking	TR
Trépano lavado	WO
Cortadores gastados	WT
No tiene características de desgaste	NO

Fuente: Schlumberger¹³⁷

d) **Cuarto dígito.** Identifica la ubicación del desgaste, relacionado con los anteriores dígitos según el cuadro II. VIII:

¹³⁵ Programa de Entrenamiento Acelerado para Supervisores, Selección de barrenas en el proceso de construcción de pozos, Schlumberger, 2004; pág. 38

¹³⁶ Ídem. Pág. 39

¹³⁷ Ídem pág. 39

CUADRO N° II. VIII

CUARTO DÍGITO DEL CÓDIGO IADC PARA TRÉPANOS DESGASTADOS

CUARTO DÍGITO	
Ubicación	Símbolo
Cono	C
Nariz	N
Ahusamiento	T
Hombro	S
Diámetro	G

Fuente: Schlumberger¹³⁸

2.8.2.2. Segundo Cuerpo

Realiza un análisis de las características de desgaste en el sistema de rodamientos y sellos.

- a) Quinto dígito.** Corresponde a trépanos tricónicos, debido a que los trépanos de cortadores fijos carecen de sistemas de rodamientos y sellos, en su casilla se designa la letra “X”¹³⁹.

2.8.2.3. Tercer Cuerpo

Realiza un análisis de las características de desgaste en el calibre del trépano:

- a) Sexto dígito.** Determina el desgaste en el diámetro. Trépanos que presentan el diámetro completo, que no han sufrido desgaste en su calibre se designan con letra “L”. Los trépanos que presentan un calibre menor, se registran al 1/16” más cercano de una pulgada del desgaste presentado¹⁴⁰.

¹³⁸ Programa de Entrenamiento Acelerado para Supervisores, Selección de barrenas en el proceso de construcción de pozos, Schlumberger, 2004; pág. 53

¹³⁹ Ídem. Pág. 54

¹⁴⁰ Ídem. Pág. 55

2.8.2.4. Cuarto Cuerpo

Realiza un análisis de las características de desgaste secundarias y el motivo de extracción del trépano.

- a) **Séptimo dígito.** Determina las características de desgaste secundarias que se presentan en trépanos. Se utiliza la clasificación del desgaste del tercer dígito¹⁴¹.
- b) **Octavo dígito.** Registra las condiciones del motivo de extracción del trépano¹⁴², según el cuadro N° II. IX:

CUADRO N° II. IX

OCTAVO DÍGITO DEL CÓDIGO IADC PARA TRÉPANOS DESGASTADOS

MOTIVO DE EXTRACCIÓN DEL TRÉPANO	Símbolo
Cambiar el ensamble de fondo de pozo	BHA
Falla del motor en el pozo	DMF
Falla de la sarta de perforación	DSF
Prueba de la Sarta de perforación	DST
Falla de la herramienta de fondo de pozo	DTG
Reparación del equipo de perforación	RIG
Condición del lodo	CM
Punto para sacar núcleos	CP
Taponamiento del pozo	DP
Cambio de formación	FM
Problemas de pozo	HP
Horas	HR
Presión de Bombeo	PP
Velocidad de perforación	PR
Profundidad total / Punto para tubería de revestimiento	TD
Torque	TQ
Torque excesivo	TW
Condiciones climáticas	WC
Rotura de la sarta de perforación por fuga hidráulica	WO

Fuente: Schlumberger¹⁴³

¹⁴¹ Programa de Entrenamiento Acelerado para Supervisores, Selección de barrenas en el proceso de construcción de pozos, Schlumberger, 2004; pág. 56

¹⁴² Ídem. Pág. 57

¹⁴³ Ídem. Pág. 57

2.9. OPERACION DE TREPANOS

La operación de los trépanos se define por tres parámetros¹⁴⁴:

- ❖ Peso sobre trépano (WOB).
- ❖ Velocidad de rotación (RPM).
- ❖ Hidráulica de perforación.

2.9.1. PESO SOBRE TREPANO (WOB)

Carga aplicada al trépano por medio de los porta-mechas, La penetración de la formación se realiza cuando la carga aplicada supera la resistencia de la roca o formación. La resistencia de la formación en relación con el peso sobre el trépano se puede medir a través de la velocidad de penetración. La ausencia de avance en la velocidad de penetración puede ser ocasionada por¹⁴⁵:

- ❖ Embotamiento del trépano.
- ❖ Se perfora una formación de dureza mayor para la cual el trépano está diseñado.
- ❖ Finaliza la vida útil del trépano.

2.9.2. VELOCIDAD DE ROTACION (RPM)

Cantidad de vueltas por minuto transmitida a la sarta de perforación y al trépano¹⁴⁶.

En formaciones blandas (suaves), la velocidad de perforación es directamente proporcional a la velocidad de rotación (RPM). En formaciones duras, la velocidad de rotación disminuye así como la velocidad de penetración, explicando el motivo

¹⁴⁴ <http://librosdeingenieriagratis.com/manual-para-ayudante-perforador-cabo-malacetero/>, Manual de Perforación, Manual para ayudante de perforador (cabo), perforador y malacatero, Documento electrónico, 2004; pág. 319

¹⁴⁵ Ídem. Pág. 320

¹⁴⁶ Ídem. Pág. 320

del por qué en formaciones blandas es importante la velocidad de penetración (RPM) y no el peso sobre el trépano (WOB); al contrario en formaciones duras¹⁴⁷.

2.9.3. HIDRAULICA DE PERFORACION

La hidráulica comprende cuatro funciones básicas¹⁴⁸:

- ❖ Separación de los recortes desprendidos.
- ❖ Limpieza de la estructura cortante.
- ❖ Enfriamiento del trépano.
- ❖ Transporte de los recortes hacia la superficie.

Los objetivos de un programa de hidráulica de trépanos son¹⁴⁹:

- ❖ Incrementar la velocidad de penetración, en función de una efectiva limpieza del agujero.
- ❖ Evitar o disminuir la erosión excesiva de las paredes del agujero, y no provocar derrumbes o deslaves.
- ❖ Controlar las pérdidas de presión en el sistema de circulación.

Deficiencias en la hidráulica ocasionan problemas en el trépano como:

- ❖ Embolado.
- ❖ Erosión de las toberas o boquillas y/o trépano.
- ❖ Cortadores y/o trépano dañados por temperaturas altas.
- ❖ Toberas y/o boquillas tapadas.

¹⁴⁷ <http://librosdeingenieriagratis.com/manual-para-ayudante-perforador-cabo-malacetero/>, Manual de Perforación, Manual para ayudante de perforador (cabo), perforador y malacatero, Documento electrónico, 2004; pág. 320

¹⁴⁸ BESSON, Alain, Bordes Cortantes, TotalFinaElf, Francia, 2001; pág. 47

¹⁴⁹ Unidad de Perforación y Mantenimiento de Pozo, Barrenas e Hidráulica de Perforación, PEMEX, México, 2000; pág. 80, 81 y 82

Los métodos de optimización de hidráulica se relacionan directamente con el diámetro de las toberas y/o boquillas¹⁵⁰.

2.10. CALCULO DE LAS BOQUILLAS DEL TREPANO¹⁵¹

Esta serie de fórmulas determinarán el correcto tamaño de boquillas cuando se optimizan por el impacto de las boquillas, del caballo vapor hidráulico y óptima relación de flujo de dos o tres boquillas.

a) Área de las boquillas en pulg²

$$\text{Área de las boquillas} = \frac{N_1^2 + N_2^2 + N_3^2}{1308.8}$$

Donde: N representa las boquillas

Área de las boquillas está dada en pulg²

b) Pérdida de presión en las boquillas del trépano, P_b (Psi)

$$P_b = \frac{(gpm)^2 * MW}{10858 * (\text{Área de las boquillas})^2}$$

Donde:

MW = Peso del lodo en lb/gal

Área de las boquillas en pulg²

Gpm = galones por minuto

c) La pérdida de presión total, excepto la pérdida de presión en las boquillas del trépano.

PC_1 = Presión de circulación bomba 1 – Pérdida de presión en las boquillas del trépano

PC_2 = Presión de circulación bomba 2 – Pérdida de presión en las boquillas del trépano

¹⁵⁰ Unidad de Perforación y Mantenimiento de Pozo, Barrenas e Hidráulica de Perforación, PEMEX, México, 2000; pág. 81

¹⁵¹ Extraído de apuntes de clases de la materia de ing. en perforación.

PC₁ y PC₂: Ecuaciones 3 y 4.

Donde PC₁, PC₂ y las presiones están dadas en Psi.

d) Determinación de la línea de pendiente M

$$M = \frac{\log(PC_1 \div PC_2)}{\log(Q_1 \div Q_2)}$$

e) Óptima pérdida de presión (P_{opt})

1) Por fuerza de impacto

$$P_{opt} = \frac{2}{M+2} * P_{max}$$

2) Por caballo vapor hidráulico

$$P_{opt} = \frac{1}{M+1} * P_{max}$$

f) Para la relación óptima de flujo (Q_{opt})

1) Por fuerza de impacto.

$$Q_{opt} = \left(\frac{P_{opt}}{P_{max}} \right)^{\frac{1}{M}} * Q_1$$

Donde Q_{opt} está dado en gpm (Gal/min)

2) Por caballo vapor hidráulico

$$Q_{opt} = \left(\frac{P_{opt}}{P_{max}} \right)^{\frac{1}{M}} * Q_1$$

Donde: Q_{opt} está dado en gpm (Gal/min)

g) Para determinar la presión en el trépano (P_b).

$$P_b = P_{max} - P_{opt}$$

h) Para determinar el área en las boquillas, en pulg².

$$\text{Área en las boquillas} = \sqrt{\frac{Q_{opt}^2 * MW}{10858 * P_{max}}}$$

i) Para determinar las boquillas, en 32^{avo} de pulg, para tres boquillas.

$$\text{boquillas} = \sqrt{\frac{\text{Área de las boquillas}}{3 * 0.7854}} * 32$$

j) Para determinar las boquillas, en 32^{avo} de pulg, para dos boquillas.

$$\text{boquillas} = \sqrt{\frac{\text{Área de las boquillas}}{2 * 0.7854}} * 32$$

Ejemplo:

Optimizar la hidráulica de un trépano de un pozo con la siguiente información.

Seleccionar los apropiados tamaños de boquillas para la fuerza de impacto y caballos vapor hidráulico para dos y tres boquillas.

Datos:

MW (Peso del lodo) = 13 lb/gal

Razón de la bomba 1 = 420 gal/min

Tamaño de boquillas = 17 – 17 – 17

Presión de bomba 2 = 1300 Psi.

Máxima presión de superficie = 3000 Psi.

Razón de bomba 2 = 275 gal/min.

Presión de bomba 1 = 3000 Psi.

a) Área de las boquillas.

$$\text{Área de las boquillas} = \frac{17^2 + 17^2 + 17^2}{1308.8}$$

$$\text{Área de las boquillas} = 0.6624 \text{ pulg}^2$$

b) Pérdida de presión en las boquillas.

$$P_{b1} = \frac{(420)^2 * 13}{10858 * 0.6624^2} = 481 \text{ Psi}$$

$$P_{b2} = \frac{(275)^2 * 13}{10858 * 0.6624^2} = 206 \text{ Psi}$$

c) Pérdida de presión total, excepto la pérdida de presión en las boquillas del trépano.

$$PC_1 = 3000 \text{ Psi} - 481 \text{ Psi} = 2519 \text{ Psi}$$

$$PC_2 = 1300 \text{ Psi} - 206 \text{ Psi} = 1094 \text{ Psi}$$

d) Línea de pendiente M.

$$M = \frac{\log(2519 \div 1094)}{\log(420 \div 275)} = 1.97$$

e) Óptima pérdida de presión.**1) Por fuerza de impacto**

$$P_{opt} = \frac{2}{1.97 + 2} * 3000 = 1511 \text{ Psi}$$

2) Por caballo vapor hidráulico

$$P_{opt} = \frac{1}{1.97 + 1} * 3000 = 1010 \text{ Psi}$$

f) Óptima relación de flujo.**1) Por fuerza de impacto.**

$$Q_{opt} = \left(\frac{1511}{3000} \right)^{\frac{1}{1.97}} * 420 = 297 \text{ gpm}$$

2) Por caballo vapor hidráulico

$$Q_{opt} = \left(\frac{1010}{3000} \right)^{\frac{1}{1.97}} * 420 = 242 gpm$$

g) Pérdida de presión en el trépano.

1) Por fuerza de impacto

$$P_b = 3000 - 1511 = 1489 Psi$$

2) Por caballo vapor hidráulico

$$P_b = 3000 - 1010 = 1990 Psi$$

h) Área de las boquillas

1) Por fuerza de impacto

$$\text{Área en las boquillas} = \sqrt{\frac{297^2 * 13}{10858 * 1489}} = 0.2663 \text{ pulg}^2$$

2) Por caballos vapor hidráulico

$$\text{Área en las boquillas} = \sqrt{\frac{242^2 * 13}{10858 * 1990}} = 0.1877 \text{ pulg}^2$$

i) Tamaño de las boquillas, para tres boquillas.

1) Por fuerza de impacto.

$$\text{boquillas} = \sqrt{\frac{0.2663}{3 * 0.7854}} * 32 = 10.76$$

2) Por caballos vapor hidráulico

$$boquillas = \sqrt{\frac{0.1877}{3 * 0.7854}} * 32 = 9.03$$

NOTA.- generalmente el tamaño de las boquillas tendrá una fracción decimal. El triple de la fracción decimal determinará cuántas boquillas deberán ser más grandes que lo calculado.

1) Por fuerza de impacto

$$0.76 * 3 = 2.28$$

Alrededor de dos boquillas deberán ser más grandes que lo calculado (9/32^{avo} de pulgada).

Tal que 1 boquilla de 10/32^{avo} de pulgada y 2 boquillas de 11/32^{avo} de pulgada.

2) Por caballos vapor hidráulico.

$$0.03 * 3 = 0.09$$

Alrededor de cero boquillas deberán ser más grandes que lo calculado (9/32^{avo} de pulgada)

Tal que las 3 boquillas serán de 9/32^{avo} de pulgada

j) Tamaño de las boquillas, para dos boquillas.**1) Por fuerza de impacto.**

$$boquillas = \sqrt{\frac{0.2663}{2 * 0.7854}} * 32 = 13.18$$

$$0.18 * 3 = 0.54$$

Alrededor de una boquilla deberá ser más grande que lo calculado.

Tal que una boquilla será de $13/32^{\text{avo}}$ de pulgada y la otra de $14/32^{\text{avo}}$ de pulgada.

2) Por caballos vapor hidráulico.

$$\text{boquillas} = \sqrt{\frac{0.1877}{2 * 0.7854}} * 32 = 11.06$$

$$0.06 * 3 = 0.18$$

Alrededor de cero boquillas deberán ser más grandes que lo calculado.

Tal que las dos boquillas serán de $11/32^{\text{avo}}$ de pulgada.

2.11. SELECCION DE TREPANOS

La selección correcta de los trépanos es un factor muy importante en el planteamiento y en la ejecución de un plan de perforación. Una selección precisa y acertada va a ayudar para lograr una perforación libre de problemas¹⁵².

Al efectuar la selección se deberán tener en cuenta los siguientes factores¹⁵³:

- ❖ Costo del trépano.
- ❖ Tipo de formación a perforar.
- ❖ Costo diario de operación.
- ❖ Sistema de lodos en uso.
- ❖ Una perforación de costo mínimo dependerá de tres factores principales¹⁵⁴:
- ❖ Selección de los tipos adecuados de trépanos.

¹⁵² ADAMS, Neal, Drilling Engineering, A Complete Well Planning Approach, PennWell Publishing Company, Estados Unidos, 1985; pág. 152

¹⁵³ Ídem. Pág. 152

¹⁵⁴ FLORES, Walter, Compilación sobre perforaciones e hidráulica, Facultad de Tecnología, U.A.G.R.M., Bolivia, 2004; pág. 2

- ❖ Un control certero y continuo de las condiciones de operación.
- ❖ Selección de la combinación más económica de peso sobre la broca y RPM.

2.11.1. CRITERIOS DE SELECCION DE TREPANOS SEGUN PEMEX Y SCHLUMBERGER

Según PEMEX y Schlumberger, los aspectos que se deben analizar para la selección de barrenas son los siguientes¹⁵⁵:

- ❖ Datos de pozos vecinos.
- ❖ Objetivos.
- ❖ Geología de la zona.
- ❖ Limitaciones.
- ❖ Otros.

2.11.1.1. Datos de pozos vecinos

Se deben tomar en cuenta los siguientes puntos de referencia¹⁵⁶:

- ❖ Registros eléctricos.
- ❖ Registros de barrenas.
- ❖ Registros de lodos.
- ❖ Reportes diarios de perforación y de herramientas de fondo.
- ❖ Desempeño de pozo promedio.
- ❖ Desempeño de intervalo promedio.

¹⁵⁵ PEMEX-Schlumberger, Programa de entrenamiento acelerado para ingenieros supervisores de pozo, Sección 9: Selección y Evaluación de Barrenas, PEMEX-Schlumberger, México, 2006; pág. 36

¹⁵⁶ Ídem. Pág. 43, 44 y 45

- ❖ Desempeño de corrida individual promedio.
- ❖ Promedios seleccionados (el mejor o el más reciente).
- ❖ Promedios seleccionados (por otros datos).

2.11.1.2. Objetivos

Con relación a los objetivos, se deben tomar en cuenta los siguientes aspectos¹⁵⁷:

- ❖ Durabilidad, velocidad de perforación, direccional, costo, condición de desgaste, horas, (normalmente todo).
- ❖ Determinar la viabilidad.
- ❖ Finalizar y llegar a un acuerdo respecto a los objetivos.

2.11.1.3. Limitaciones

También se debe hacer un reconocimiento de las limitaciones¹⁵⁸:

- ❖ Restricciones de operación (especificación del equipo de perforación, etc.)
- ❖ Restricciones contractuales.
- ❖ Restricciones económicas.
- ❖ Cambios de mentalidad.

2.11.1.4. Otros

Otros aspectos importantes que deben ser tomados en cuenta para la selección de trépanos son¹⁵⁹:

- ❖ Propiedades del lodo (fluido base, densidad, aditivos, etc.)

¹⁵⁷ PEMEX-Schlumberger, Programa de entrenamiento acelerado para ingenieros supervisores de pozo, Sección 9: Selección y Evaluación de Barrenas, PEMEX-Schlumberger, México, 2006; Pág. 47

¹⁵⁸ Ídem. Pág. 49

¹⁵⁹ Ídem. Pág. 51 y 52

- ❖ Hidráulica de la barrena (especialmente crítica en WBM).
- ❖ Tasas de circulación (gasto) máximo/mínimo.
- ❖ Lubricidad del lodo (efectos en la vibración y en las barrenas impregnadas).
- ❖ Logística.
- ❖ Lugares remotos que requieren una gran carga de inventario.
- ❖ Planeación para contingencias.
- ❖ Se necesita cubrir todas las posibilidades potenciales.
- ❖ Únicamente se puede lograr por medio de comunicaciones efectivas.
- ❖ Aspectos económicos.
- ❖ Impacto potencial en los ingresos totales.

2.11.2. ANALISIS DEL BREAK-EVEN POINT

Antes de decidir el uso de un trépano costoso, a través de una zona perforada por un trépano económico, es necesario predecir el rendimiento del trépano propuesto¹⁶⁰, lo cual puede ser realizado mediante un Análisis del Break-even point.

El análisis proporciona comparaciones de costos que involucran tipos de trépano, fluidos de perforación, condiciones requeridas de perforación y otras variables¹⁶¹.

El principal objetivo de la operación de perforación es obtener ganancias y cualquier comparación debe ser orientada hacia los costos de perforación o costos por metro¹⁶².

¹⁶⁰ Baker-Hughes, Drilling Engineering Workbook, A Learning Course, Baker Hughes Inteq Training & Development, Estados Unidos, 1995; pág. 355

¹⁶¹ Ídem. Pág. 355

¹⁶² Ídem. Pág. 355

El costo previsto del trépano propuesto se compara con el costo de trépanos utilizados, en la misma región y bajo condiciones similares de perforación. Los pozos empleados en las comparaciones son pozos vecinos o pozos de correlación (offset)¹⁶³.

2.11.2.1. Ecuaciones empleadas para el análisis del Break-even point.

A continuación se presentan las ecuaciones utilizadas para el desarrollo del análisis y el proceso de construcción de la gráfica del Break-even point.

a) Costo por metro del trépano.

La ecuación de costo por metro tiene la siguiente ecuación matemática¹⁶⁴:

ECUACION N° II. I

COSTO POR METRO DEL TRÉPANO

$$C_M = \frac{C_T + (C_{Eq} * T_T)}{L_P}$$

Donde:

C_M = Costo por metro [\$us/m]

C_T = Costo del trépano [\$us]

C_{Eq} = Costo de operación del equipo de perforación [\$us/hr]

T_T = Tiempo total [hrs]

L_P = Longitud perforada [m]

El tiempo total se es definido bajo la siguiente formula¹⁶⁵:

¹⁶³ Unidad de Perforación y Mantenimiento de Pozo, Barrenas e Hidráulica de Perforación, PEMEX, México, 2000; pág.

44

¹⁶⁴ Ídem. Pág. 44

¹⁶⁵ Ídem. Pág. 44

ECUACION N° II. II**TIEMPO TOTAL**

$$T_T = T_P + T_V$$

Donde:

$T_T = \text{Tiempo total [hrs]}$

$T_P = \text{Tiempo de perforación [hrs]}$

$T_V = \text{Tiempo de viaje [hrs]}$

El tiempo de viaje es determinado mediante¹⁶⁶:

ECUACION II. III**TIEMPO DE VIAJE**

$$T_V = 0,004 * P$$

Donde:

$T_V = \text{Tiempo de viaje [hrs]}$

$P = \text{Profundidad de entrada [m]}$

b) Costo por metro promedio.

El pozo presenta distintos costos por metro en todas sus fases. La ecuación de costo por metro promedio se define como¹⁶⁷:

ECUACION II. IV**COSTO METRICO PROMEDIO**

$$C_{MP} = \left[\frac{(C_{Mi} * L_{Pi}) + (C_{Mi+1} * L_{Pi+1}) + \dots + (C_{Mn-1} * L_{Pn-1}) + (C_{Mn} * L_{Pn})}{L_T} \right]$$

¹⁶⁶ Unidad de Perforación y Mantenimiento de Pozo, Barrenas e Hidráulica de Perforación, PEMEX, México, 2000; pág. 44

¹⁶⁷ COLUMBA, Julio César, Determinación del trépano adecuado para la perforación en el sub-andino sur aplicado a las formaciones del devónico, U.A.G.R.M., Bolivia, 2003; pág. 87

Donde:

C_{MP} = Costo por metro promedio de la fase [\$us/m]

C_{Mi} = Costo por metro del primer trépano utilizado [\$us/m]

L_{Pi} = Longitud perforada por el primer trépano [m]

C_{Mi+1} = Costo por metro del segundo trépano utilizado [\$us/m]

L_{Pi} = Longitud perforada por el segundo trépano [m]

C_{Mn-1} = Costo por metro del penúltimo trépano utilizado [\$us/m]

L_{Pn-1} = Longitud perforada por el penúltimo trépano [m]

C_{Mn} = Costo por metro del último trépano utilizado [\$us/m]

L_{Pn} = Longitud perforada por el último trépano [m]

L_T = Longitud total de la fase [m]

c) Costo Total.

Se determinan los costos por metro promedio para determinar el costo total de la fase perforada:

ECUACION II. V

COSTO TOTAL DE LA FASE

$$C_{Total} = C_{MP} * L_T$$

Donde:

C_{Total} = Costo total de la fase [\$us]

C_{MP} = Costo por metro promedio [\$us/m]

L_T = Longitud total perforada [m]

d) Break-even point.

El Break-even point viene dado por¹⁶⁸:

¹⁶⁸ Gerencia de Entrenamiento y Desarrollo & Gerencia Regional de Servicios Técnicos, Introducción a Brocas PDC, Smith Internacional, 2003; pág. 236

ECUACION II. VI

BREAK-EVEN POINT

$$T_P = \left[\left(\frac{C_{MP}}{C_{Eq}} \right) * L_P \right] - T_{VT} - \left(\frac{C_T}{C_{Eq}} \right)$$

Donde:

C_{MP} = Costo por metro promedio de la fase [\$us/m]

C_T = Costo del trépano propuesto [\$us]

C_{Eq} = Costo de operación del equipo de perforación [\$us/hr]

T_P = Tiempo de perforación [hrs]

T_{VT} = Tiempo de viaje total para toda la fase [hrs]

L_P = Avance o Longitud perforada [m]

e) Tasa de penetración (ROP).

La tasa de penetración se establece como¹⁶⁹:

ECUACION II. VII

TASA DE PENETRACION (ROP)

$$ROP = \frac{L_P}{T_P}$$

Donde:

ROP = Tasa de penetración [m/hr]

L_P = Avance o Longitud perforada [m]

T_P = Tiempo de perforación [hrs]

¹⁶⁹ Gerencia de Entrenamiento y Desarrollo & Gerencia Regional de Servicios Técnicos, Introducción a Brocas PDC, Smith Internacional, 2003; pág. 237

2.11.2.2. Procedimiento del análisis del Break-even point.

El Break-even point se define en el área de proyectos como el punto de equilibrio, este es aquel donde las ventas serán igual a las inversiones, vale decir no habrá ni pérdida pero tampoco ganancia, siendo esta una herramienta de análisis económico muy poderosa y gráfica, la cual nos determina desde una intersección de rectas un punto, proporcionando la pauta donde nuestros costos serán o no serán rentables con el tiempo, valga la redundancia.

Para este análisis de “perforación de pozos” en específico nos permite determinar el tiempo de perforación de acuerdo a un avance en términos de profundidad, analizando además variables como costos de trépanos, el costo estimado óptimo teórico por metro perforado, y con una contraparte (curva de avance real) durante la perforación si este fue o no rentable en términos de costos operativos como se demostrará en el contenido de este proyecto más adelante.

A continuación se presenta el procedimiento para la obtención del gráfico del Break-even point.

- a) Se establecen los avances (longitud perforada) y tiempos de perforación acumulados (dependientes de las longitudes perforadas y tiempos de perforación por carrera) para todos los trépanos utilizados en la fase a optimizar.
- b) Calcular los tiempos de viaje para cada trépano según la ecuación N° II. III.
- c) Calcular el tiempo total para cada trépano según la ecuación N° II. II.
- d) Calcular los costos métricos de cada trépano utilizado según la ecuación N° II. I (en caso de repetirse un trépano en diferentes intervalos, se tomará en cuenta el costo métrico promedio de dicho trépano calculado según la ecuación N° II. IV).
- e) Calcular los costos totales de cada trépano según la ecuación N° II. V.

- f)** Calcular el costo métrico promedio de la fase a optimizar aplicando la ecuación N° II. IV.
- g)** Formular la ecuación del Break-even point para cada trépano propuesto según la ecuación N° II. VI.
- h)** Tabular los valores calculados.
- i)** Se procede a graficar ambas curvas. Su intersección nos proporcionará el Break-even point.
- j)** Con los valores obtenidos de la intersección (Avance o longitud perforada y tiempo de perforación) se procede a optimizar la fase.

CAPITULO III

CAPITULO III**DIAGNOSTICO****3.1. CARACTERISTICAS GENERALES DEL SUB-ANDINO SUR**

La región del Sub andino Sur y Pie de Monte de la Cuenca de Tarija, en Bolivia, es una provincia gasífera que abarca un área cercana a los 100.000 km². Sus reservas recuperables finales probadas más probables (EUR P1 + P2) de petróleo y gas al año 2005, según Yacimientos Petrolíferos Fiscales Bolivianos, ascienden a 956 x 10⁶ BP y 52 x 10¹² cfg (CBH, 2008). El sector analizado comprende, desde el punto de vista geológico, la Faja Corrida Externa y el Pie de Monte ubicado entre el Codo de Santa Cruz al Norte y la región del límite político Bolivia – Argentina hacia el Sur (Figura N° III. I). Se excluye de este análisis la zona de la cuenca denominada Boomerang, situada al Norte del Codo de Santa Cruz¹⁷⁰.

La Cuenca de Tarija presenta espesores mayores a los 10.000 m de rocas sedimentarias, cuyas edades comprenden del Silúrico al Reciente (Figura N° III. I). Se pueden reconocer varios ciclos sedimentarios con jerarquía de conjunto de súper secuencias, que tienen diferentes mecanismos de subsidencia e historias depositacionales. Estos ciclos se superponen en discordancia a rocas de edad Cambro-Ordovícico consideradas hasta el momento basamento económico¹⁷¹.

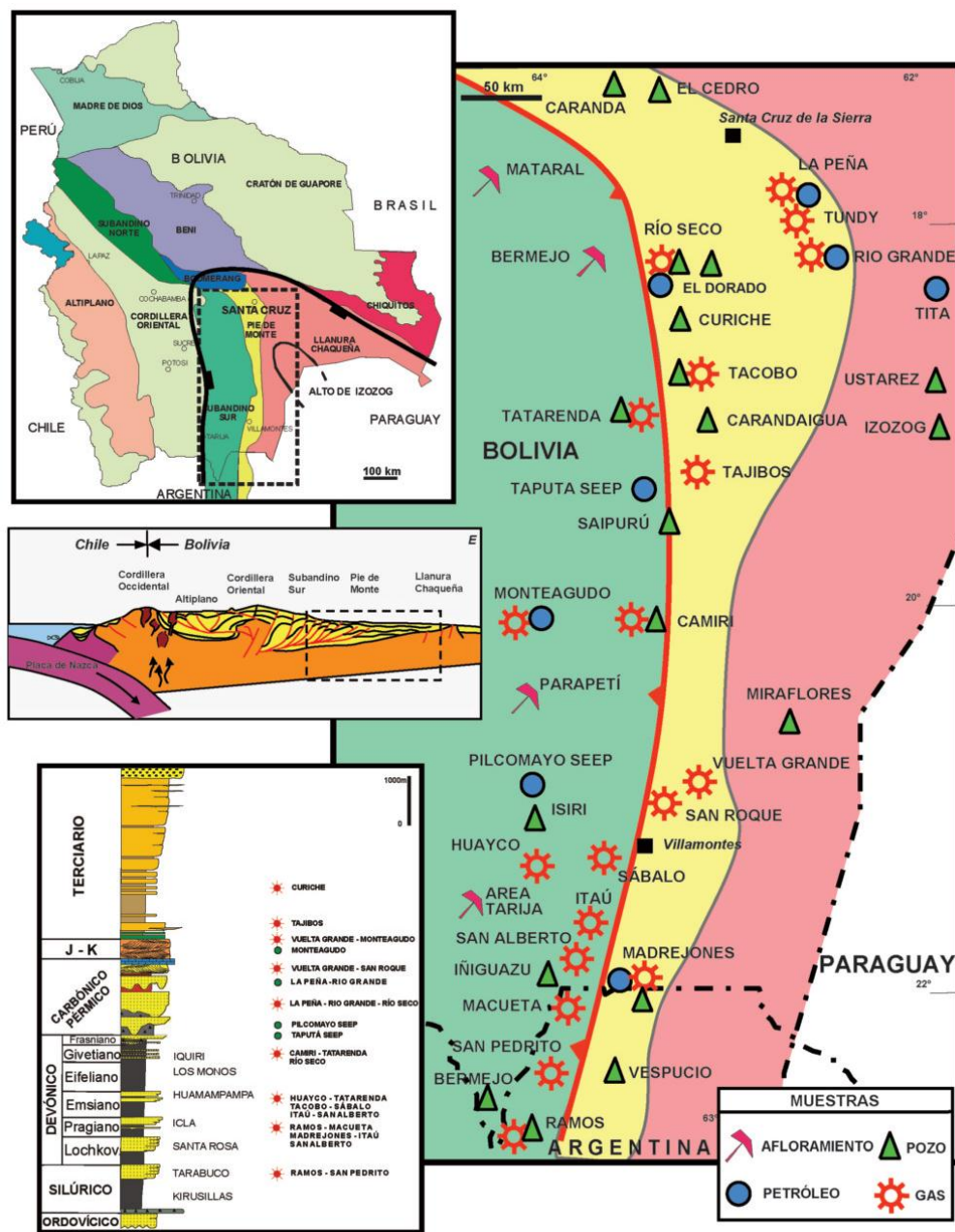
A continuación se observa un mapa de ubicación y columna estratigráfica generalizada correspondiente a la cuenca de tarija, entre el codo de santa cruz y el norte de argentina.

¹⁷⁰ CRUZ, Carlos E., Sistemas Petroleros de las Cuencas Andinas, Los sistemas petroleros devónicos del sub andino sur y pie de monte de la Cuenca Tarija. Bolivia, Instituto Argentino del Petróleo y del Gas, Argentina, 2009, Pág. 159

¹⁷¹ Ídem. Pág. 160

FIGURA N° III. I

MAPA DE UBICACIÓN Y COLUMNA ESTRATIGRÁFICA GENERALIZADA , CUENCA DE TARIJA



Fuente: CRUZ, Carlos E¹⁷².

¹⁷² CRUZ, Carlos E., Sistemas Petroleros de las Cuenas Andinas, Los sistemas petroleros devónicos del sub andino sur y pie de monte de la Cuenca Tarija. Bolivia, Instituto Argentino del Petróleo y del Gas, Argentina, 2009; pág. 159

3.1.1. CICLO SILURICO - DEVONICO

Está compuesto por más de 3.000 m de sedimentos clásticos de origen marino, donde alternan facies arenosas y arcillosas. La geología de campo, el análisis paleontológico y la interpretación de información sísmica y de pozos, han permitido que una marcada ciclicidad y la continuidad lateral de ciertos límites litológicos, sean tomadas como base para la división de este ciclo en secuencias y conjuntos de secuencias (Starck, 1995; Albariño et al., 2002). Las facies arcillosas, predominantemente de colores negro y gris oscuro tienen potencial como roca madre de hidrocarburos, siendo hasta el momento comprobadas solamente las que se asignan a la Fm. Los Monos (Disalvo y Villar, 1999, Cruz et al., 2002). Adicionalmente a su capacidad generadora estas facies finas constituyen sellos regionales. Las facies de areniscas cuarcíticas de las formaciones Santa Rosa, Icla, Huamampampa e Iquiri constituyen los reservorios que alojan las mayores reservas de gas de esta cuenca.

3.1.2. CICLO CARBONICO - PERMICO

Está separado del ciclo anterior por una marcada discordancia erosiva, destacándose en algunos lugares profundos valles excavados (incised valley). Su espesor excede los 1500 m y están compuestos principalmente por facies clásticas continentales con una importante influencia de eventos glaciales que afectaron al Supercontinente de Gondwana durante el Carbónico (Eyles et al., 1995). Estos sedimentos y sus paleoambientes deposicionales han sido también interpretados dentro de un modelo estratigráfico secuencial (Schulz et al., 1999; Viera y Hernández, 2001). Las facies glaciales y periglaciales están compuestas por una alternancia de areniscas de canales y rellenos de valles (reservorios) y limoarcilitas rojas y diamictitas (sellos). Este ciclo culmina con calizas de edad Permo - Triásica, asignable a la Fm. Vitiacua, depositada en condiciones climáticas más cálidas y con influencia marina.

3.1.3. CICLO MESOZOICO

Durante el Jurásico se depositaron cerca de 1.000 m de facies clásticas de origen continental, principalmente de ambiente eólico (Grupo Tacurú). Estas rocas son

reservorio en numerosos campos como Monteagudo, San Roque y Vuelta Grande entre otros. Durante el Cretácico Superior se produjeron eventos transgresivos que alcanzaron el área de Santa Cruz de la Sierra desde el nor-noroeste, que dejaron registros de aproximadamente 300 m de sedimentos clásticos calcáreos.

3.1.4. CICLO TERCIARIO

El levantamiento tectónico de la Cordillera de los Andes, durante el Terciario, generó una antefosa con espesores de rocas clásticas continentales mayores a los 5.000 m. Este relleno exhibe una secuencia típicamente grano y estrato creciente, característica de depósitos sinorogénicos. La porción basal de este ciclo, denominada Fm. Yecua, se considera un sello regional y representa una ingresión marina ocurrida durante el Mioceno.

3.2. ANALISIS TECNICO DE LOS POZOS

En esta sección se analizarán las secuencias estratigráficas de los pozos en cuestión para verificar la existencia de similar estratigrafía, así como también se analizarán las características y desgastes sufridos por los trépanos utilizados en la perforación de cada uno de los pozos.

3.2.1. Pozo DRD X-1001

A continuación se detalla un análisis técnico de la información recopilada relacionada con el pozo DRD X-1001.

3.2.1.1. Secuencia estratigráfica

En el cuadro N° III.I se pueden observar las formaciones atravesadas durante la perforación del pozo DRD X-1001, con sus respectivos espesores y profundidades de tope y fondo.

CUADRO N° III. I

FORMACIONES ATRAVESADAS DURANTE LA PERFORACIÓN DEL POZO DRD X-1001

Tramo (mrmr)	Formación Atravesada	Edad
0-1510	Chaco	Terciario
1510-1620	Yecua	
1620-1707	Petaca	
1707-1945	Cajones	Cretácico
1945-2050	Yantata	
2050-2320	Ichoa	Jurásico
2320-2895	Cangapi	Pérmico
2895-3278	San Telmo	Carbonífero
3278-3768	Taiguati-Tarija	
3768-3963	Tupambi	
3963-4317	Iquiri	Devónico
4317-5282	Los Monos	
5282-6740	Huamapampa Norte	

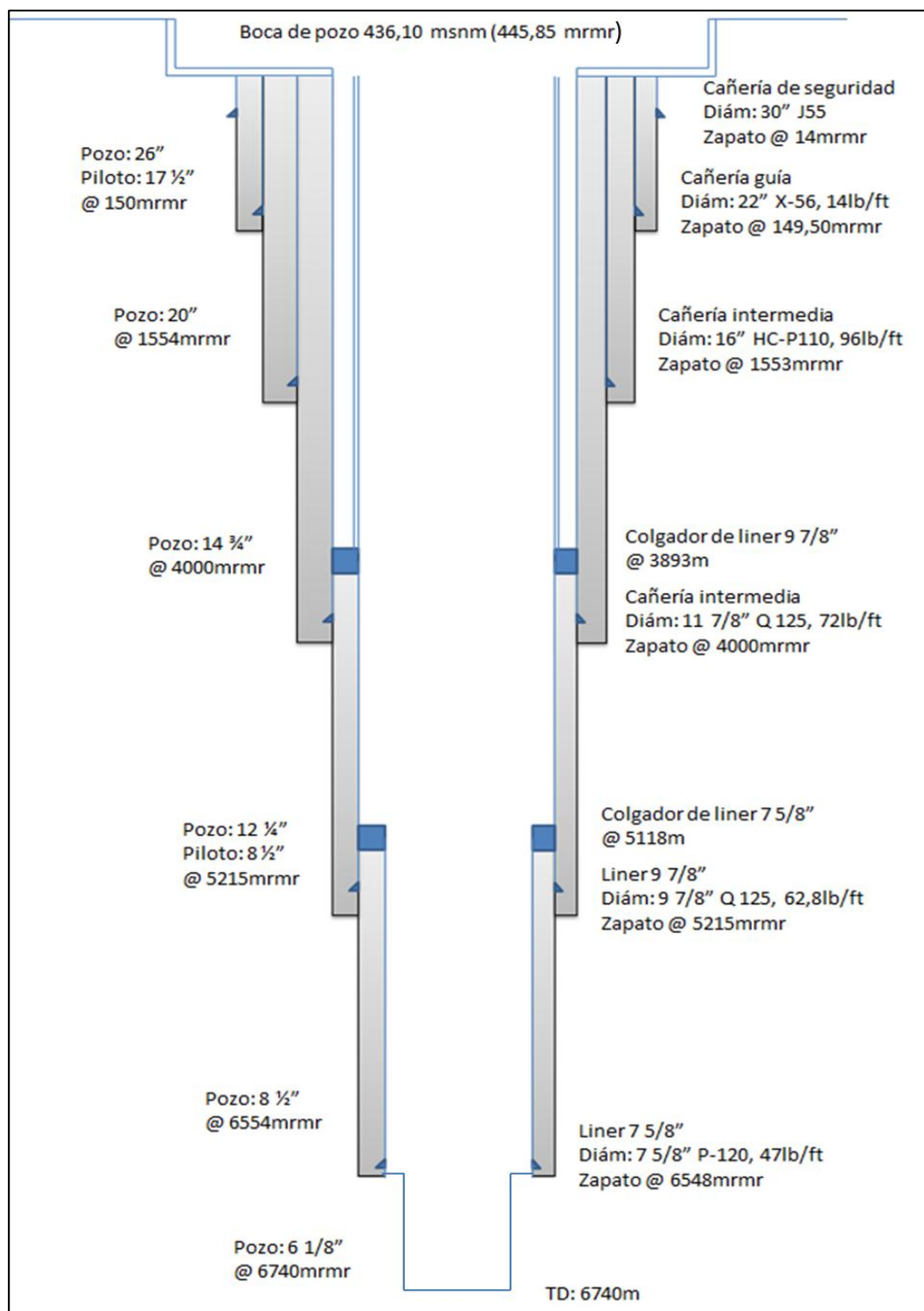
Fuente: YPFB¹⁷³

3.2.1.2. Perfil del pozo

En la figura N° III. II se puede observar el la geometría de la perforación del pozo DRD X-1001.

¹⁷³ YPFB Corporación, CNIH, LAT: 20-1-357, Reporte Final DRD X-1001, Pan American Energy, 1999

FIGURA N° III. II
PERFIL DEL POZO DRD X-1001



Fuente: YPFB¹⁷⁴

¹⁷⁴ YPFB Corporación, CNIH, LAT: 20-1-357, Reporte Final DRD X-1001, Pan American Energy, 1999

3.2.1.3. Análisis de la fase de interés

CUADRO N° III. II

VARIABLES QUE INTERVIENEN EN LA ECUACIÓN DEL BREAK-EVEN POINT

N° de trépano	Tipo de trépano	Costo del trépano \$	Costo de operación del Equipo (\$/h)	Prof. Entrada (m)	Prof. Salida (m)	Longitud perforada (m)	Tiempo de viaje (h)	Tiempo de perforación (h)	Tiempo total (h)	Costo métrico (\$/m)	costo \$
21	HTC G447XL	35000	833,33	4015	4186	171	16,06	90,1	106,16	722,03	123466,31
21	HTC G447XL	35000	833,33	4186	4585	399	16,744	113,1	129,844	358,90	143202,90
21	HTC G447XL	35000	833,33	4585	4911	326	18,34	170,57	188,91	590,26	192424,37
21	HTC G447XL	35000	833,33	4911	5035	124	19,644	43,22	62,864	704,73	87386,46
21	HTC G447XL	35000	833,33	5035	5215	180	20,14	109,1	129,24	792,78	142699,57
21	HTC G447XL	35000	833,33	5215	5218	3	20,86	2,3	23,16	18099,97	54299,92
21	HTC G447XL	35000	833,33	5218	5226	8	20,872	4,3	25,172	6997,07	55976,58
21	HTC G447XL	35000	833,33	5226	5240	14	20,904	10,1	31,004	4345,47	60836,56
21	HTC G447XL	35000	833,33	5240	5400	160	20,96	91,6	112,56	805,00	128799,62
Longitud total perforada del trépano 21						1385	Costo métrico promedio del trépano 21			714,15	989092,30
22	HTC G447XL	35000	833,33	5240	6200	800	21,6	127	148,6	198,54	158832,84
23	HTC R-7	35000	833,33	6200	6202	2	24,8	2,3	27,1	28791,62	57583,24
24	HTC BD 536	35000	833,33	6202	6554	352	24,81	136,5	161,31	481,32	169424,46
Longitud total de la fase 8 1/2"						2539	Costo métrico promedio de la fase de 8 1/2"			541,53	1374932,85

Fuente: Elaboración propia en base a datos del pozo DRD X-1001

CUADRO N° III. III

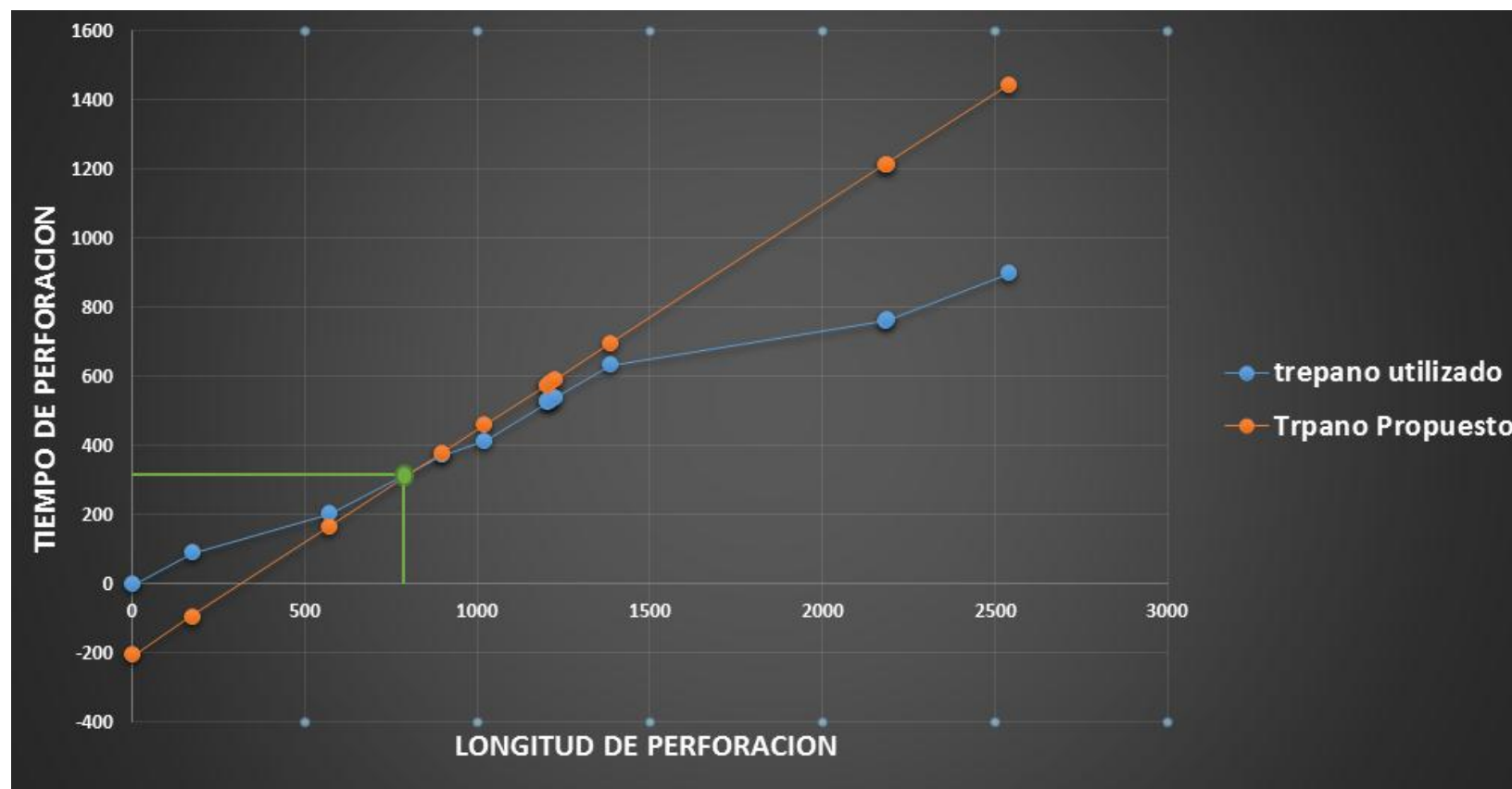
VALORES DEL BREAK-EVEN POINT

Avance (m)	Tiempo de perforación (m)	Avance Acumulado (m)	Tiempo acumulado (h)	Ecuación del Break-even point (h)
0,00	0,00	0,00	0,00	-203,73
171,00	90,10	171,00	90,10	-92,61
399,00	113,10	570,00	203,20	166,67
326,00	170,57	896,00	373,77	378,52
124,00	43,22	1020,00	416,99	459,10
180,00	109,10	1200,00	526,09	576,07
3,00	2,30	1203,00	528,39	578,02
8,00	4,30	1211,00	532,69	583,21
14,00	10,10	1225,00	542,79	592,31
160,00	91,60	1385,00	634,39	696,28
800,00	127,00	2185,00	761,39	1216,15
2,00	2,30	2187,00	763,69	1217,45
352,00	136,50	2539,00	900,19	1446,19

Fuente: Elaboración propia en base a datos del pozo DRD X-1001

FIGURA N° III. III

BREAK-EVEN POINT



Fuente: Elaboración propia en base a datos del pozo DRD X-1001

3.2.1.4. Análisis de trépanos

CUADRO N° III. IV

CARACTERÍSTICAS DE LOS TRÉPANOS UTILIZADOS DURANTE LA PERFORACIÓN DE LA FASE EN ESTUDIO

Carrera	Trépano	Díámetro	Tipo de trépano	Código IADC	Serie	Boquillas	Desde	Hasta	Carreras	Perf. Hr.	ROP	PST	Rotación	Q	PB	OBSERVACION
	N°	(in)			N°	732"	(m)	(m)		hrs.	m/h	kibs	rpm	gpm	Psi	
22	21	8 1/2	HTC G447XL	M 333	0400914	4X12	4015	4186	171	90,10	1,89	10,00	140,00	600	3200	Pozo piloto 8 1/2" RWD 12 1/4" 2x11, 1x12
23	21R	8 1/2	HTC G447XL	M 333	0400914	4X12	4186	4585	329	113,10	3,52	15,00	160,00	520	3700	Chequeo de trépano RWD
24	21RR	8 1/2	HTC G447XL	M 333	0400914	4X14	4585	4911	242	170,57	1,92	19,00	150,00	535	3620	Cambian boquillas T: 4x14-RWD: 2x12, 1x15
25	21RRR	8 1/2	HTC G447XL	M 333	0400915	4X12	4911	5035	99	43,22	2,86	20,00	160,00	540	3700	Cambian boquillas T: 4x12-RWD2: 2x12, 1x15
26	21RRRR	8 1/2	HTC G447XL	M 333	0400915	4X13	5035	5215	117	109,10	1,65	20,00	145,00	535	3600	Profundidad final de sección
28	21RRRRR	8 1/2	HTC G447XL	M 333	0400915	3X16, 14	5215	5218	38	2,30	1,30	7,00	120,00	460	3140	Perfilaje de liner
29	21 6R	8 1/2	HTC G447XL	M 333	0400915	3X16, 14	5218	5226	62	4,30	1,80	24,00	90,00	380	2800	Pesca trépano, NB y DC
30	21 7R	8 1/2	HTC G447XL	M 333	0400915	3X16, 14	5226	5240	14	10,10	1,40	18,00	120,00	380	2700	Cambio BHA
31	21 8R	8 1/2	HTC G447XL	M 333	0400915	3X16, 1X14	5240	5400	160	91,60	1,70	20,00	130,00	380	2800	Perfilaje
32	22	8 1/2	HTC G447XL	545	1900572	4X13	5400	6200	800	127,00	6,30	15,00	160,00	365	3300	Perfilaje
33	23	8 1/2	HTC R-7	114	V41CD	3X22	6200	6202	2	2,30	1,30	14,00	90,00	334	3300	Rota tapón mecánico
34	24	8 1/2	HTC BD 536	545	401735	6X16	6202	6554	352	136,50	2,50	20,00	170,00	360	3700	Profundidad final de sección

Fuente: Elaboración propia en base a datos del pozo DRD X-1001

3.2.1.5. Desgaste de Trépanos

CUADRO N° III. V

DESGASTE DE LOS TREPAOS UTILIZADOS EN LA FASE DE ESTUDIO

Carrera	Trépano	Diámetro	Tipo de trépano	Código IADC	Serie	Desgaste								OBSERVACION
	N°	(in)			N°	I	O	D	L	B	G	O	R	
22	21	8 1/2	HTC G447XL	M 333	0400914	0	0	NO	A	X	I	NO	O	Pozo piloto 8 1/2" RWD 12 1/4" 2x11, 1x12
23	21R	8 1/2	HTC G447XL	M 333	0400914	1	0	LT	N	0	I	NO	H R	Chequeo de trépano RWD
24	21RR	8 1/2	HTC G447XL	M 333	0400914	-	-	-	-	-	-	-	-	Cambian boquillas T: 4x14-RWD: 2x12, 1x15
25	21RRR	8 1/2	HTC G447XL	M 333	0400915	1	1	BT	H	0	I	BT	L O G	Cambian boquillas T: 4x12-RWD2: 2x12, 1x15
26	21RRRR	8 1/2	HTC G447XL	M 333	0400915	2	2	LT	N	D	I	BT	L O G	Profundidad final de sección
27	20R	10 5/8	MX-1	117	C 9374	1	1	NO	A	1	I	NO	TD	Ensancha
28	21RRRRR	8 1/2	HTC G447XL	M 333	0400915	2	2	LT	N	D	I	BT	L O G	Perfilaje de liner
29	21 6R	8 1/2	HTC G447XL	M 333	0400915	2	2	LT	N	D	I	BT	B H A	Pesca trépano, NB y DC
30	21 7R	8 1/2	HTC G447XL	M 333	0400915	2	2	LT	N	D	I	BT	B H A	Cambio BHA
31	21 8R	8 1/2	HTC G447XL	M 333	0400915	2	2	LT	N	D	I	BT	L O G	Perfilaje
32	22	8 1/2	HTC G447XL	545	1900572	1	1	WT	C	D	I	NO	L O G	Perfilaje
33	23	8 1/2	HTC R-7	114	V41CD	6	5	BT	A	3	I	JD	BC	Rota tapón mecánico
34	24	8 1/2	HTC BD 536	545	401735	-	-	-	-	-	-	-	-	Profundidad final de sección

Fuente: Elaboración propia en base a datos del pozo DRD X-1001 (referencia de codificación sección 2.8 CODIGOS IADC, págs. 61 a la 66)

3.2.2. POZO DRD X-1004

A continuación se detalla un análisis técnico de la información recopilada relacionada con el pozo DRD X-1004.

3.2.2.1. Secuencia estratigráfica.

En el cuadro N° III. VI se pueden observar las formaciones atravesadas durante la perforación del pozo DRD X-1004, con sus respectivos espesores y profundidades de tope y fondo.

CUADRO N° III. VI

FORMACIONES ATRAVESADAS DURANTE LA PERFORACIÓN DEL POZO DRD X-1004

Edad	Formación	Topes		TVDSS (m)	Espesor (m)
		MD (m)	TVD (m)		
Terciario	Chaco	Superficie			1624,40
	Yecua	1624,40	1623,91	-1175,71	14,10
	Petaca	1638,50	1638,01	-1189,87	56,44
Cretácico	Cajones	1694,95	1694,45	-1246,25	300,77
	Yantata	1995,79	1995,22	-1547,02	113,98
	Ichua	2109,79	2109,20	-1661,00	255,06
Pérmico	Cangapi	2362,98	2362,26	-1914,06	427,39
	San Telmo	2791,23	2789,65	-2391,45	87,04
Carbonífero	Escarpment	2878,64	2876,69	-2428,49	207,97
	Tarija	3087,42	3084,66	-2636,46	613,97
	Tupambi	3703,37	3698,63	-3250,43	132,27
Devónico	Iquiri	3836,45	3830,90	-3282,70	393,10
	Ar. Guanacos B/A	4106,50	4098,49	-3650,29	38,06
	Ar. Guanacos B/B	4158,95	4150,35	-3702,15	39,69
Profundidad Final		4233,00	4224,00	-3775,80	

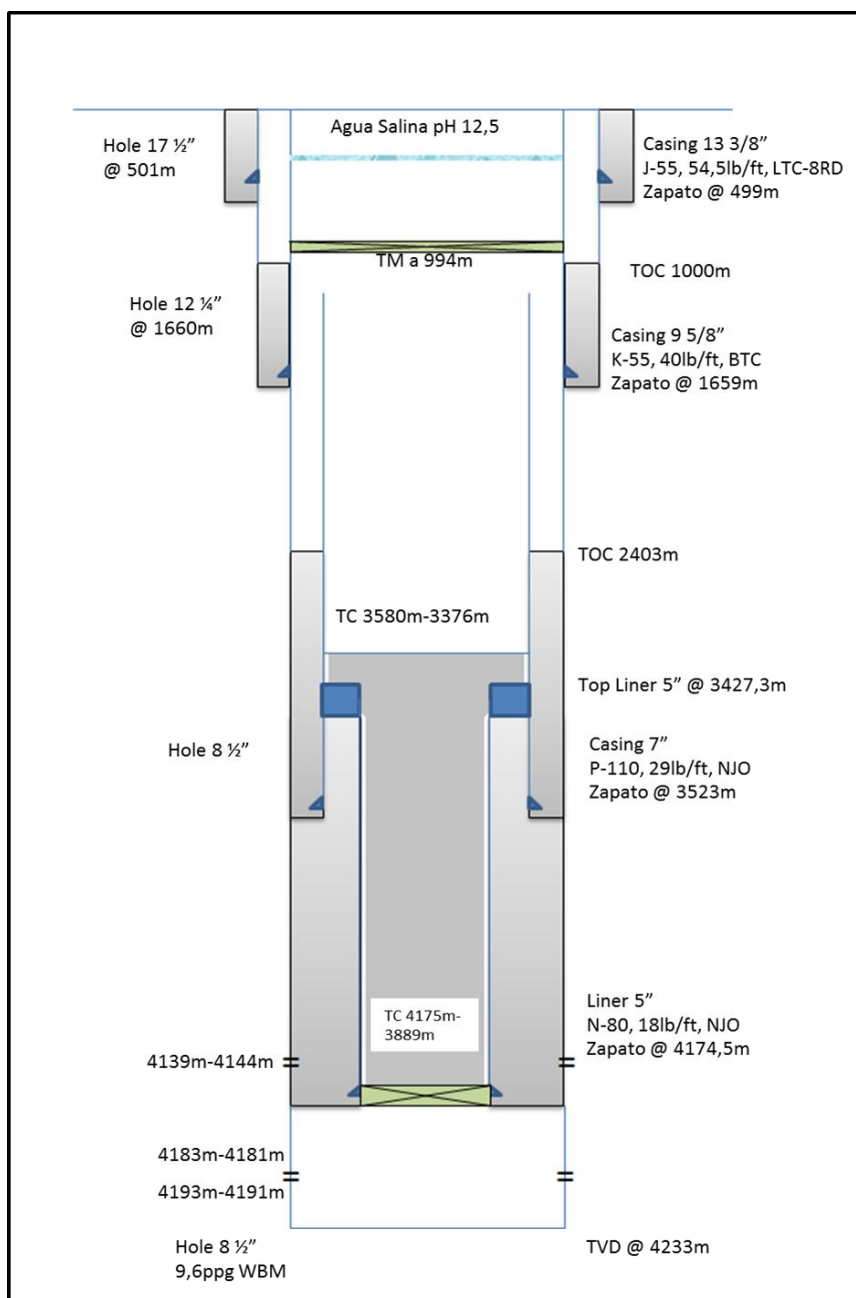
Fuente: YPFB¹⁷⁵

¹⁷⁵ YPFB Corporación, CNIH, LAT: 43-6-052, Informe final de perforación y Terminación DRD X-1004, Chaco S.A., 2005

3.2.2.2. Perfil del pozo.

En la figura N° III. IV se puede observar la geometría de la perforación del pozo DRD X-1004.

FIGURA N° III. IV
PERFIL DEL POZO DRD X-1004



Fuente: YPFB¹⁷⁶

¹⁷⁶ YPFB Corporación, CNIH, LAT: 43-6-052, Informe final de perforación y Terminación DRD X-1004, Chaco S.A., 2005

3.2.2.3. Análisis de la fase de interés.

CUADRO N° III. VII

VARIABLES QUE INTERVIENEN EN LA ECUACIÓN DEL BREAK-EVEN POINT

N° de trépano	Tipo de trépano	Costo del trépano \$	Costo de operación del Equipo (\$/h)	Prof. Entrada (m)	Prof. Salida (m)	Longitud perforada (m)	Tiempo de viaje (h)	Tiempo de perforación (h)	Tiempo total (h)	Costo métrico (\$/m)	costo \$
3	HCM 606	29000	833,33	1660	2645	985	6,64	43,8	50,44	72,11	71033,17
4	HCM 406	29000	833,33	2645	2885	240	10,58	32,5	43,08	270,42	64899,86
5	HCM 406	29000	833,33	2885	3274	389	11,54	65,2	76,74	238,95	92949,74
6	MX-S20DX	29000	833,33	3274	3460	186	13,096	23,6	36,696	320,32	59579,88
7	MX-S20DX	29000	833,33	3460	3714	254	13,84	47,3	61,14	314,76	79949,80
8	MX-S20DX	29000	833,33	3714	3833	119	14,856	45,6	60,456	667,06	79379,80
9	MX-S20DX	29000	833,33	3833	3908	75	15,332	28	43,332	868,13	65109,86
10	HC 406	29000	833,33	3908	4170	262	15,632	53,4	69,032	330,25	86526,44
11	HC 406	29000	833,33	4170	4210	40	16,68	19,4	36,08	1476,66	59066,55
12	HC 406	29000	833,33	4210	4223	13	16,84	6,2	23,04	3707,69	48199,92
Longitud total de la fase 8 1/2"						2563	Costo métrico promedio de la fase de 8 1/2"			275,73	706695,00

Fuente: Elaboración propia en base a datos del pozo DRD X-1004

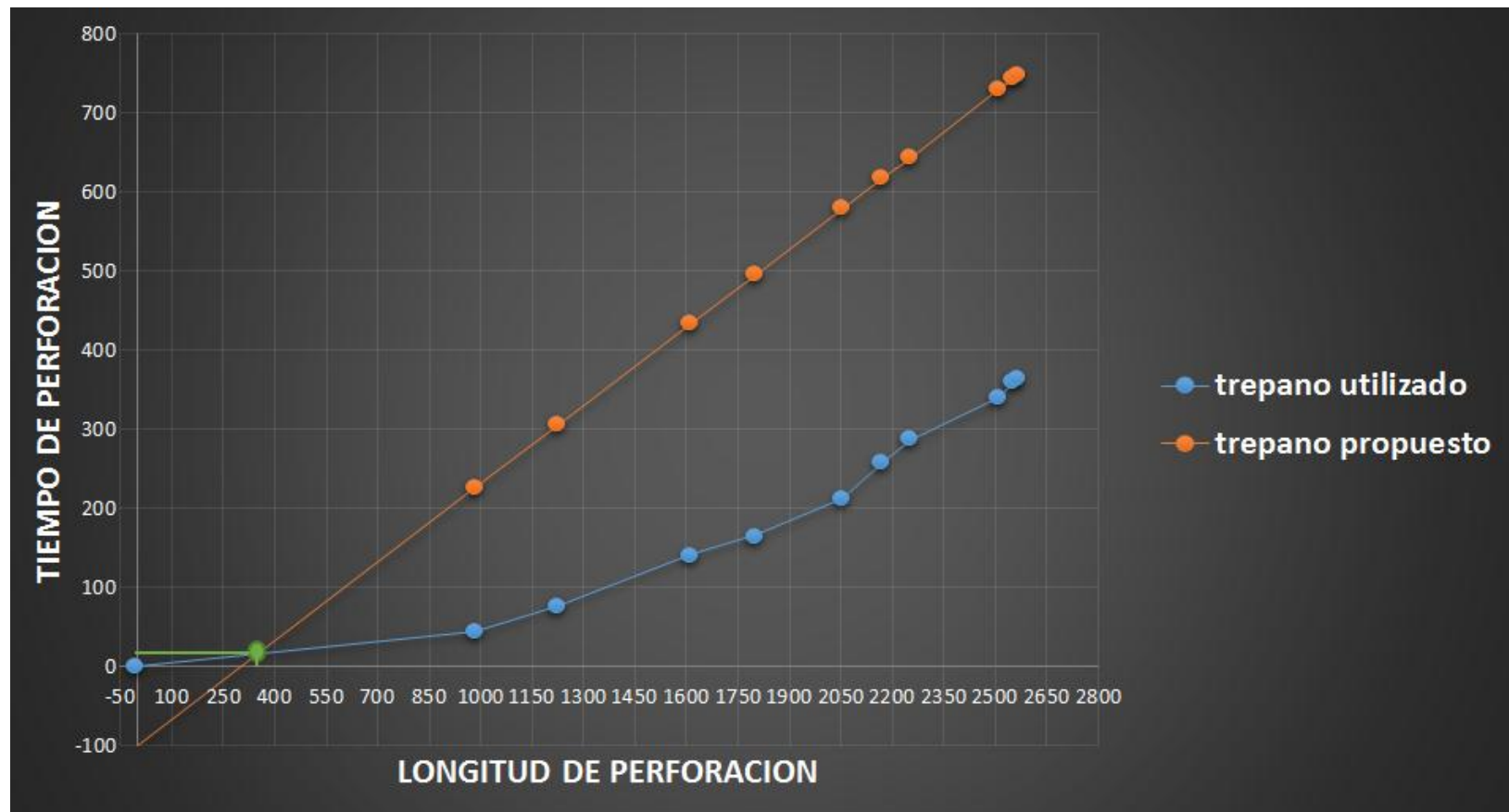
CUADRO N° III. VIII

VALORES DEL BREAK-EVEN POINT

Avance (m)	Tiempo de perforación (m)	Avance Acumulado (m)	Tiempo acumulado (h)	Ecuación del Break-even point (h)
0,00	0,00	0,00	0,00	-100,24
985,00	43,80	985,00	43,80	225,68
240,00	32,50	1225,00	76,30	305,09
389,00	65,20	1614,00	141,50	433,80
186,00	23,60	1800,00	165,10	495,34
254,00	47,30	2054,00	212,40	579,39
119,00	45,60	2173,00	258,00	618,76
75,00	28,00	2248,00	286,00	643,58
262,00	53,40	2510,00	339,40	730,27
40,00	19,40	2550,00	358,80	743,50
13,00	6,20	2563,00	365,00	747,80

Fuente: Elaboración propia en base a datos del pozo DRD X-1004

FIGURA N° III. V
BREAK-EVEN POINT



Fuente: Elaboración propia en base a datos del pozo DRD X-1004

3.2.2.4. Análisis de Trépanos.

CUADRO N° III. IX

CARACTERÍSTICAS DE LOS TRÉPANOS UTILIZADOS DURANTE LA PERFORACIÓN DE LA FASE EN ESTUDIO

BIT	SIZE	MFG	TIPO	NOZZLES	SERIAL	DEPTH	DIST	DRILL G	ROP	ACC	WOB	RPM	MTR	RT	PUMP	FLOW	VERT	MW
N°	(in)				N°	OUT	DRILL	TIME	m/h	TIME	Klb		(rpm)		PRESS	RATE	DESV	ppg
3	8 1/2	HTC	HCM 606	6 x 11	7001763	2645	982	43,8	22,4	88,4	2 - 10	60 - 120	61	OT	2600	460	2,0	8,9
4	8 1/2	HTC	HCM 406	6 x 11	7001636	2885	243	32,5	7,5	121,0	3 - 9	30 - 50	122	SS	1900	420	4,0	8,9
5	8 1/2	HTC	HCM 406	6 x 11	7001636	3274	389	65,2	6,0	186,0	10 - 15	60 - 70	121	OT	2600	450	4,3	9,2
6	8 1/2	HTC	MX-S20DX	3 x 13	6001952	3460	186	23,6	7,9	210,0	15 - 25	45 - 60	58	OT	2900	460	3,0	9,2
7	8 1/2	HTC	MX-S20DX	3 x 14	6025392	3714	254	47,3	5,4	257,0	25 - 35	45 - 55	58	OT	2750	460	6,0	9,2
8	8 1/2	HTC	MX-S20DX	3 x 14	6028285	3833	119	45,6	2,6	303,0	30 - 38	45 - 50	58	OT	2950	960	5,0	9,4
9	8 1/2	HTC	MX-S20DX	3 x 15	6023780	3908	75	28,0	2,7	331,0	35 - 40	40 - 70	55	OT	2810	450	5,0	9,6
10	8 1/2	HTC	HC 406	6 x 12	7300894	4170	262	53,4	4,9	384,0	2 - 4	50 - 50	110	OT	2400	5	9,6	9,6
11	8 1/2	HTC	HC 406	6 x 13	7300894	4210	40	19,4	2,1	403,0	2 - 5	80 - 90			1800	420	5,0	9,6
12	8 1/2	HTC	HC 406	6 x 13	7300894	4233	23	6,2	3,7	410,0	3 - 5	80 - 80			1700	9,6	5,0	9,6

Fuente: Elaboración propia en base a datos del pozo DRD X-1004

3.2.2.5. Desgaste de Trépanos.

CUADRO N° III. X

DESGASTE DE LOS TRÉPANOS UTILIZADOS EN LA FASE DE ESTUDIO

BIT	SIZE	MFG	TIPO	NOZZLES	SERIAL	API CONDICION									
N°	(in)				N°	I	O	D	L	B	G	O	R		
3	8 1/2	HTC	HCM 606	6X11	7001763	2	3	BT	NS	X	I	LT	PP		
4	8 1/2	HTC	HCM 406	6X11	7001636	0	0	NO	A	X	I	ER	BHA		
5	8 1/2	HTC	HCM 406	6X11	7001636	6	8	RO	NS	X	3	BT	TQ		
6	8 1/2	HTC	MX-S20DX	3X13	6001952	3	3	WT	A	E	I	RG	TQ		
7	8 1/2	HTC	MX-S20DX	3X14	6025392	5	7	WT	A	E	I	RG	HR		
8	8 1/2	HTC	MX-S20DX	3X14	6028285	5	4	OC	M	E	I	SS	PR		
9	8 1/2	HTC	MX-S20DX	3X15	6023780	3	3	OC	M	E	I	WT	PR		
10	8 1/2	HTC	HC 406	6X12	7300894	1	1	CT	N	X	I	ER	LOG		
11	8 1/2	HTC	HC 406	6X13	7300894	1	1	CT	N	X	I	ER	LOG		
12	8 1/2	HTC	HC 406	6X13	7300894	1	1	CT	CN	X	I	ER	TD		

Fuente: Elaboración propia en base a datos del pozo DRD X-1004 (referencia de codificación sección 2.8 CODIGOS IADC, págs. 61 a la 66)

3.2.3. POZO DRD-1005

3.2.3.1. Secuencia estratigráfica

CUADRO N° III. XI

FORMACIONES ATRAVESADAS DURANTE LA PERFORACIÓN DEL POZO DRD-1005

Edad	Formación	Reservorio	Topes		TVDSS (m)	Espesor (m)
			MD (m)	TVD (m)		
Terciario	Tariquíá		Superficie	1597,8		
	Yecua		1543	1543	-1081	11
	Petaca		1554	1554	-1091	39
Cretácico	Cajones		1593	1593	-1130	298
	Yantata		1891	1891	-1429	126
	lchoa		2017	2017	-1554	336
Carbonífero	Cangapi		2353	2353	-1891	186
	San Telmo		2539	2539	-2076	60
	Esarpmment		2599	2599	-2136	152
	Falla El Dorado		2751	2751	-2289	39
	Tarija		2790	2790	-2327	994
	Tupambi		3784	3784	-3326	164
	Iquiri		3948	3948	-3485	202
Devónico		Ar. Guanacos	4150	4150	-3688	45
		Base Ar. Guanacos	4195	4195	-3733	55
Profundidad Final			4250	4250	-3787	

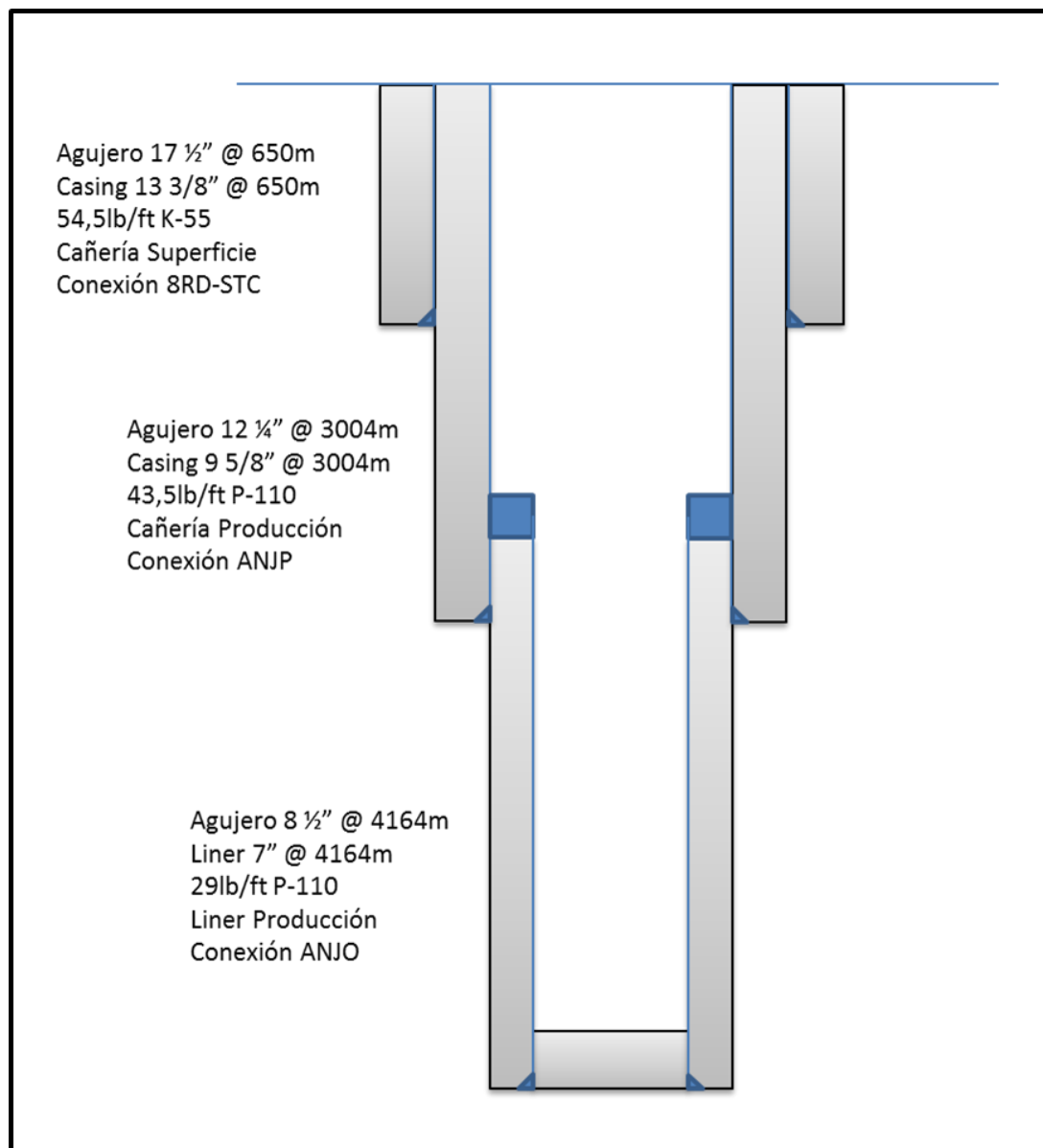
Fuente: YPFB¹⁷⁷

¹⁷⁷ YPFB Corporación, CNIH, LAT: 36-6-469, Informe Geológico Final DRD-1005, Empresa Petrolera Chaco, 2010

3.2.3.2. Perfil del pozo

En la figura N° III. VI se puede observar la geometría de la perforación del pozo DRD-1005.

FIGURA N° III. VI
PERFIL DEL POZO DRD-1005



Fuente: YPFB¹⁷⁸

¹⁷⁸ YPFB Corporación, CNIH, LAT: 36-6-469, Informe Geológico Final DRD-1005, Empresa Petrolera Chaco, 2010

3.2.3.3. Análisis de la fase de interés

CUADRO N° III. XII

VALORES DEL BREAK-EVEN POINT

N° de trépano	Tipo de trépano	Costo del trépano \$	Costo de operación del Equipo (\$/h)	Prof. Entrada (m)	Prof. Salida (m)	Longitud perforada (m)	Tiempo de viaje (h)	Tiempo de perforación (h)	Tiempo total (h)	Costo métrico (\$/m)	costo \$
3	HCM 606	29000	833,33	3006	3381	375	12,024	43,8	55,824	201,39	75519,81
4	HCM 406	29000	833,33	3381	3951	570	13,524	32,5	46,024	118,16	67353,18
5	HCM 406	29000	833,33	3951	4164	213	15,804	65,2	81,004	453,07	96503,06
Longitud total de la fase 8 1/2"						1158	Costo métrico promedio de la fase de 8 1/2"			206,72	239376,06

Fuente: Elaboración propia en base a datos del pozo DRD-1005

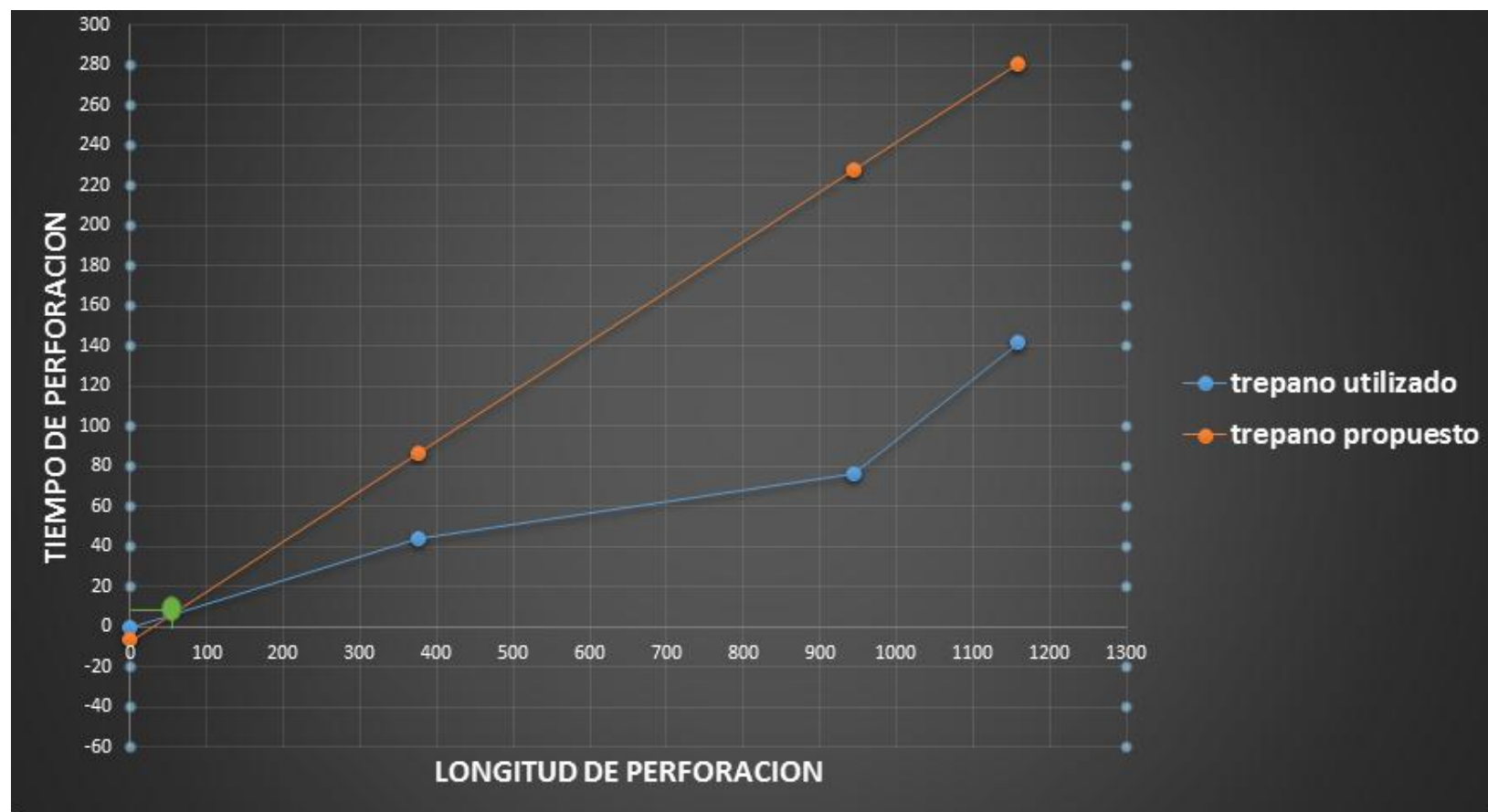
CUADRO N° III. XIII

VALORES DEL BREAK-EVEN POINT

Avance (m)	Tiempo de perforación (m)	Avance Acumulado (m)	Tiempo acumulado (h)	Ecuación del Break-even point (h)
0,00	0,00	0,00	0,00	-6,55
375,00	43,80	375,00	43,80	86,47
570,00	32,50	945,00	76,30	227,86
213,00	65,20	1158,00	141,50	280,70

Fuente: Elaboración propia en base a datos del pozo DRD-1005

FIGURA N° III. VII
BREAK-EVEN POINT



Fuente: Elaboración propia en base a datos del pozo DRD-1005

3.2.3.4. Análisis de Trépanos

CUADRO N° III. XIV

CARACTERÍSTICAS DE LOS TRÉPANOS UTILIZADOS DURANTE LA PERFORACIÓN DE LA FASE EN ESTUDIO

BIT	SIZE	MFG	TIPO	NOZZLES	SERIAL	DEPTH	DIST	DRILL G	ROP	ACC	WOB	RPM	MTR	RT	PUMP	FLOW	VERT	MW
N°	(in)				N°	OUT	DRILL	TIME	m/h	TIME	Klb		(rpm)		PRESS	RATE	DESV	ppg
3	8 1/2	HTC	HCM 606	6 x 11	240054	3381	375	43,8	8,6	88,4	3 - 9	60 - 120	102	OT	2600	460	2,0	8,9
4	8 1/2	HTC	HCM 406	6 x 11	240111	3951	570	32,5	17,53	121,0	10 - 15	30 - 50	122	SS	1900	420	4,0	8,9
5	8 1/2	HTC	HCM 406	6 x 11	240111	4164	213	65,2	35,5	186,0	15 - 25	60 - 70	121	OT	2600	450	4,3	9,2

Fuente: Elaboración propia en base a datos del pozo DRD-1005

3.2.3.5. Desgaste de Trépanos

CUADRO N° III. XV

DESGASTE DE LOS TRÉPANOS UTILIZADOS EN LA FASE DE ESTUDIO

BIT N°	SIZE (in)	MFG	TIPO	NOZZLES	SERIAL N°	API CONDICION							
						I	O	D	L	B	G	O	R
3	8 1/2	HTC	HCM 606	6 x 11	240054	1	2	NO	NS	X	I	WT	HR
4	8 1/2	HTC	HCM 406	6 x 11	240111	1	1	NO	A	X	I	ER	BHA
5	8 1/2	HTC	HCM 406	6 x 11	240111	4	5	BT	NS	X	3	WT	TD

Fuente: Elaboración propia en base a datos del pozo DRD-1005 (referencia de codificación sección 2.8 CODIGOS IADC, págs. 61 a la 66)

CAPITULO IV

CAPITULO IV**ANALISIS DE LOS RESULTADOS****4.1. POZO DRD X-1001**

Después de haber realizado el análisis del break – even point para el pozo DRD X-1001, se tienen los siguientes resultados:

CUADRO N° IV. I**BREAK - EVEN POINT DRD X-1001**

POZO DRD X-1001	Intersección
Profundidad calculada optima	800 m
Tiempo de perforación óptimo	350 h

Fuente: Elaboración propia en base al gráfico break-even point DRD X-1001 (Figura N° III. III)

Esto implicaría una profundidad recorrida de 800 metros por cada 350 horas de perforacion.

4.1.1. EVALUACION DE COSTOS MEDIANTE EL BREAK-EVEN POINT

Empleando la profundidad óptima y el tiempo de perforación óptimo, obtenidos mediante el break – even point, se llega a los siguientes costos teóricos:

CUADRO N° IV. II**COSTOS TEÓRICOS DRD X-1001**

N° de trépano	Tipo de trépano	Costo del trépano \$	Costo de operación del Equipo (\$/h)	Prof. Entrada (m)	Prof. Salida (m)	Longitud perforada (m)	Tiempo de viaje (h)	Tiempo de perforación (h)	Tiempo total (h)	Costo métrico (\$/m)	costo \$
21	HTC G447XL	35000	833,33	4015	4815	800	16,06	350	366,06	425,06	340048,78
21	HTC G447XL	35000	833,33	4815	5615	800	19,26	350	369,26	428,39	342715,44
21	HTC G447XL	35000	833,33	5615	6415	800	22,46	350	372,46	431,73	345382,09
22	HTC G447XL	35000	833,33	6415	6554	139	25,66	90	115,66	945,20	131382,95
Longitud total perforada fase 8 1/2"						2539	Costo métrico promedio fase 8 1/2"			379,21	1159529,26

Fuente: Elaboracion propia

“Valor real invertido”

Longitud total de la fase 8 1/2"	2 5 3 9	Costo métrico promedio de la fase de 8 1/2"	5 4 1 , 5 3
---	----------------	--	--------------------

Referencia: Cuadro N° III. III

Comparando el costo métrico promedio teórico con el costo real, se observa una diferencia de: **-162,32 \$/m**, lo cual nos indica un valor **“NO optimizado”** para el pozo DRD X-1001, haciendo una diferencia en el costo total de: **-412130,48 \$**.

4.1.2. EVALUACION DE DESGASTE SEGÚN CUADROS IADC

Según el cuadro observado (III. V) se puede verificar un considerable desgaste debido a las características de la fase de perforación, así como de la secuencia estratigráfica y condiciones geológicas características de la zona en cuestión.

Sin embargo las características de los materiales utilizados hacen que su función en condiciones poco favorables de presión y temperaturas, sean muy bien destacadas.

4.2. POZO DRD X-1004

Después de haber realizado el análisis del break – even point para el pozo DRD X-1004, se tienen los siguientes resultados:

CUADRO N° IV. III

BREAK – EVEN POINT DRD X-1004

DRD X-1004	Intersección
Profundidad calculada óptima	350 m
Tiempo de perforación óptimo	40 h

Fuente: Elaboración propia en base al gráfico break-even point DRD X-1004 (Figura N° III. V)

Esto implicaría una profundidad recorrida de 350 metros por cada 40 horas de perforación.

4.2.1. EVALUACION DE COSTOS MEDIANTE BRAK-EVEN POINT

CUADRO N° IV. IV

COSTOS TEÓRICOS DRD X-1004

N° de trépano	Tipo de trépano	Costo del trépano \$	Costo de operación del Equipo (\$/h)	Prof. Entrada (m)	Prof. Salida (m)	Longitud perforada (m)	Tiempo de viaje (h)	Tiempo de perforación (h)	Tiempo total (h)	Costo métrico (\$/m)	costo \$
3	HCM 606	29000	833,33	1660	2010	350	6,64	40	46,64	193,90	67866,51
3	HCM 606	29000	833,33	2010	2360	350	8,04	40	48,04	197,24	69033,17
3	HCM 606	29000	833,33	2360	2710	350	9,44	40	49,44	200,57	70199,84
3	HCM 606	29000	833,33	2710	3060	350	10,84	40	50,84	203,90	71366,50
3	HCM 606	29000	833,33	3060	3410	350	12,24	40	52,24	207,24	72533,16
3	HCM 606	29000	833,33	3410	3760	350	13,64	40	53,64	210,57	73699,82
3	HCM 606	29000	833,33	3760	4110	350	15,04	40	55,04	213,90	74866,48
3	HCM 606	29000	833,33	4110	4223	113	16,44	15	31,44	488,49	55199,90
Longitud total de la fase 8 1/2"						2563	Costo métrico promedio de la fase de 8 1/2"			312,03	40533,31

Fuente: Elaboración propia

“Valor real invertido”

Longitud total de la fase 8 1/2"	2563	Costo métrico promedio de la fase de 8 1/2"	275,73
----------------------------------	------	---	--------

Referencia: Cuadro N° III. VII

Comparando el costo métrico promedio teórico con el costo real, se observa una diferencia de: **36,30 \$/m**, lo cual nos indica un valor **“NO optimizado”** para el pozo DRD X-1001, haciendo una diferencia en el costo total de: **93036,90 \$**.

4.2.2. EVALUACION DE DESGASTE SEGÚN CUADROS IADC

En este caso el desgaste de los trépanos utilizados se considera es un poco menos agresivo que en el primer caso registrado según los resultados observados. (Ver Cuadro N° III. X)

4.3. POZO DRD-1005

Después de haber realizado el análisis del break – even point para el pozo DRD-1005, se tienen los siguientes resultados:

CUADRO N° IV. V
BREAK - EVEN POINT DRD-1005

DRD-1005	Intersección
Profundidad calculada óptima	80 m
Tiempo de perforación optimo	10 h

Fuente: Elaboración propia grafico break-even point DRD-1005

Esto implicaría una profundidad recorrida de 80 metros por cada 10 horas de perforación.

4.3.1. EVALUACION DE COSTOS MEDIANTE BRAK-EVEN POINT

CUADRO N° IV. VI
COSTO TEÓRICO DRD-1005

N° de trépano	Tipo de trépano	Costo del trépano \$	Costo de operación del Equipo (\$/h)	Prof. Entrada (m)	Prof. Salida (m)	Longitud perforada (m)	Tiempo de viaje (h)	Tiempo de perforación (h)	Tiempo total (h)	Costo métrico (\$/m)	costo \$
3	HCM 606	29000	833,33	3006	3086	80	12,024	10	22,024	591,92	47353,26
4	HCM 406	29000	833,33	3086	3166	80	12,344	10	22,344	595,25	47619,93
5	HCM 406	29000	833,33	3166	3246	80	12,664	10	22,664	598,58	47886,59
6	HCM 407	29000	833,33	3246	3326	80	12,984	10	22,984	601,92	48153,26
7	HCM 407	29000	833,33	3326	3406	80	13,304	10	23,304	605,25	48419,92
8	HCM 407	29000	833,33	3406	3486	80	13,624	10	23,624	608,58	48686,59
9	HCM 407	29000	833,33	3486	3566	80	13,944	10	23,944	611,92	48953,25
10	HCM 407	29000	833,33	3566	3646	80	14,264	10	24,264	615,25	49219,92
10	HCM 407	29000	833,33	3646	3726	80	14,584	10	24,584	618,58	49486,58
10	HCM 407	29000	833,33	3726	3806	80	14,904	10	24,904	621,92	49753,25
10	HCM 407	29000	833,33	3806	3886	80	15,224	10	25,224	625,25	50019,92
10	HCM 407	29000	833,33	3886	3966	80	15,544	10	25,544	628,58	50286,58
10	HCM 407	29000	833,33	3966	4046	80	15,864	10	25,864	631,92	50553,25
10	HCM 407	29000	833,33	4046	4126	80	16,184	10	26,184	635,25	50819,91
10	HCM 407	29000	833,33	4126	4164	38	16,504	9	25,504	1322,45	50253,25
Longitud total de la fase 8 1/2"						1158	Costo métrico promedio de la fase de 8 1/2"			636,84	737465,46

Fuente: Elaboración propia

“Valor real invertido”

Longitud total de la fase 8 1/2"	1158	Costo métrico promedio de la fase de 8 1/2"	206,72
----------------------------------	------	---	--------

Referencia: Cuadro N° III. XII

Comparando el costo métrico promedio teórico con el costo real, se observa una diferencia de: **430,12 \$/m**, lo cual nos indica un valor **“NO optimizado”** para el pozo DRD X-1001, haciendo una diferencia en el costo total de: **498078,96 \$**.

4.3.2. EVALUACION DE DESGASTE SEGÚN CUADROS IADC

No se observan fallas considerables en la fase en general excepto por la encontrada en la etapa final de la fase donde se evidencia diente o cortador roto debido a la característica de suelos “especulativamente”. (Ver Cuadro N° III. XV)

4.4. COMPARACIÓN DE LOS RESULTADOS NUMÉRICOS (TOTALES)

En el cuadro N° III. XVI se pueden observar los totales optimizados en la perforación de los pozos DRD X-1001, DRD X-1004 y DRD-1005 correspondientes al campo El Dorado.

CUADRO N° IV. VII**CUADRO COMPARATIVA DE COSTOS**

POZO	Costo métrico promedio Teórico (\$/m)	Costo métrico promedio Real (\$/m)	Optimización (\$/m)	Optimización Total (\$)	Observación
DRD X-1001	379,21	541,53	-162,32	-412130,48	NO OPTIMIZADO
DRD X-1004	312,03	275,73	36,30	93036,90	OPTIMIZADO
DRD-1005	636,84	206,72	430,12	498078,96	OPTIMIZADO
Totales	1328,08	1023,98	304,10	178985,38	OPTIMIZADO

Referencia: Elaboracion propia

CAPITULO V

CAPITULO V

CONCLUSIONES Y RECOMENDACIONES

5.1 CONCLUSIONES

- ❖ Las fallas más comunes encontradas durante la perforación fueron ocasionadas por desgaste o pérdida de los cortadores debido a las condiciones (abrasión) de la roca durante su perforación. Dando lugar a la hipótesis de ser ocasionadas por las condiciones propias de “la geología” (de las formaciones atravesadas).
- ❖ Así también se observa que los trépanos utilizados en los programas desarrollados por la empresa de servicios, los cuales en esta fase son de Diamante Poli cristalino Compacto, cumple con aptitudes muy resistentes bajo las condiciones propias de los estratos de la zona a ser considerada en el presente estudio. Concluyéndose finalmente que el programa utilizado en estas fases es el adecuado tanto en uso de materiales como procedimientos.
- ❖ El costo de perforación de los tres pozos asciende a un valor de **“2.321.003,91 (USD)”**.
- ❖ Luego de realizar un análisis exhaustivo a los valores, cuadros y resultados teóricos obtenidos mediante análisis matemático, se evidencia la optimización de: **“178.985,38 (USD)”** a favor de la operadora, concluyéndose que los sistemas actualmente utilizados están desenvolviéndose de forma óptima. Sin embargo se observó también que el primer pozo DRD X-1001 no se perforó en óptimas condiciones en contraste con la más óptima de las perforaciones, la cual fue en el pozo DRD–1005, el cual en base a la experiencia adquirida con los anteriores fue capaz de optimizarse con el tiempo. Acotando que estos valores de los costos reales y los calculados evidencian una diferencia menor en el costo real invertido para las perforaciones.

- ❖ Considerando que si se realizaba un análisis para todas las fases implicadas en la perforación los montos optimizados se estiman sean aún mayores, llegándose a deducir que la relación de costo-beneficio fue la adecuada.

5.2 RECOMENDACIONES

- ❖ Luego de haber logrado la resolución de las variables analizadas se recomienda el uso de estos sistemas durante la fase de 8 ½". Considerando los trépanos de PDC y los de diamante impregnado para obtener resultados favorables en términos de tiempo y tasa de perforación.
- ❖ Así también se observa un desgaste considerable en las barrenas utilizadas para el pozo DRD X-1001, esto debido a las condiciones particulares de la zona perforada, sui generis, según autoevaluación crítica, ya que no se tiene el dato de las condiciones iniciales de las herramientas utilizadas por las compañías que proporcionaron el servicio. Recomendando un análisis orientado a testigos estratigráficos y variables operativas utilizadas.
- ❖ Sin embargo es posible mejorar aún más la eficiencia de estos procesos, pero requiere de un monto de inversión, análisis no considerado en el presente estudio, como ser la implementación de departamentos de I&D (investigación y desarrollo) actualmente implementados en compañías fuera de nuestro país, las cuales son sustentadas con los beneficios globales (mundiales) obtenidos por las compañías transnacionales debido a los exorbitantes costos de operación.

INDICE DE PALABRAS ABREVIADAS

- ❖ CFG (Cubic Feet Gas)
- ❖ CFG (Cubic Feet Gas)
- ❖ Fm (Formación)
- ❖ Gpm (Gallons per minute)
- ❖ h (hora)
- ❖ IADC (International Association of Drilling Contractors)
- ❖ in (Pulgadas)
- ❖ Klbs (Kilolibras)
- ❖ Km² (Kilómetro cuadrado)
- ❖ m (metro)
- ❖ Mrmr (metros sobre mesa rotatoria)
- ❖ PDC (polycrystalline diamond compact)
- ❖ PDC (Polycrystalline Diamond Compact)
- ❖ ppg (pounds per gallon)
- ❖ PSI (Pounds per Square Inches)
- ❖ ROP (Rate of Penetration)RPM (Revoluciones por minuto)
- ❖ True Vertical Depth SubSea
- ❖ TSP (Thermally Stable Polycrystalline)
- ❖ TVD (True Vertical Depth)
- ❖ WBM (Water Base Mud)
- ❖ WOB (Weight on Bit, weight on barrene)
- ❖ YPFB (Yacimientos Petroliferos Fiscales Bolivianos)

BIBLIOGRAFIA

- ❖ ADAMS, Neal J. "Drilling Engineering, A Complete Well Planning Approach", TULSA, 1985.
- ❖ ALBA, Eduardo, Industria de los Hidrocarburos, II Parte: Perforación, Cámara Boliviana de Hidrocarburos, Bolivia, 2008
- ❖ BAKER-HUGHES, "Bit Presentation", documento electrónico, 2001.
- ❖ BAKER-HUGHES, "Drilling Engineering Workbook", documento electrónico, 1995.
- ❖ BAUER, A.: «Drilling and Blasting». Bucyrus Erie. 1979.
- ❖ BERNAOLA, J.: «Predicción de la Velocidad de Perforación a Percusión mediante Ensayo de Laboratorio sobre Muestras de Roca». Tesis Doctoral E.T.S. Ingenieros de Minas de Madrid. 1984.
- ❖ BURGOYNE, Adam. "Applied Drilling Engineering". SPE, 1991.
- ❖ CARDEN, Richard. "Horizontal and Directional Drilling". PetroSkill. 2007.
- ❖ DR. BILL MITCHELL. Advanced Oilwell Drilling Engineering Handbook & Computer Programs. Mitchell Engineering. Lakewood, Colorado. 1995.
- ❖ ENI, "Drilling Design Manual", documento electrónico, 2008.
- ❖ HALLIBURTON, Manual de brocas, 2000
- ❖ HUGHES Christensen catálogo de brocas, 2011
- ❖ INFORME FINAL de perforación y terminación chaco s.a. pozo El Dorado X-1004, Bolivia 2005
- ❖ INFORME GEOLOGICO FINAL pozo el dorado 1005 empresa petrolera YPFB chaco, Bolivia 2010.
- ❖ JAEGGER, "Fundamentals of Rock Mechanics", documento electrónico, 1987.
- ❖ MITCHELL, Bill. "Advanced Oilwell Drilling Engineering". 1995.



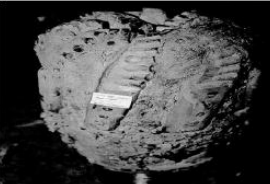
- ❖ PDVSA, “Teoría de Perforación”, documento electrónico, 2008.
- ❖ PRASSL, Wolfgang. “Drilling Engineering”. Curtin University of Technology.
- ❖ REPORTE FINAL Pan American Energy Drd x-1001 el dorado Bolivia, 1999
- ❖ SCHLUMBERGER, “Tecnología de Perforación”, documento electrónico, 2004.
- ❖ UAC, “Mecánica de Rocas”, documento electrónico, 2007.
- ❖ Unidad de Perforación y Mantenimiento de Pozo. Barrenas e Hidráulica de Perforación, Un siglo de Perforación en México. PEMEX. Ciudad de México, México D.F. 2000.
- ❖ WALKERS et al. “Desing of muds for Carrying Capacity”, SPE, 1998.
- ❖ Yépez Justiniano José René, “Apuntes de clases”.

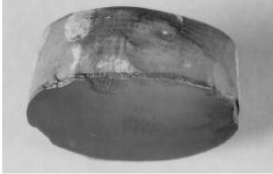


WEBLOGRAFÍA

- ❖ <http://achjij.blogspot.com/2011/06/mechas-e-hidraulica-aplicadas-para-las.html>
- ❖ http://ocw.utm.my/file.php/12/Chapter_4-OCW.pdf
- ❖ <http://www.geotecdrill.es/1-diamond-tools/1-drilling-bits-5.html>
- ❖ <http://www.hidrocarburosbolivia.com/bolivia-mainmenu-117/ypfb-petroleras-mainmenu-118/45546-petroleras-en-bolivia-pierden-con-bloqueos.html>
- ❖ http://www.pir.sa.gov.au/__data/assets/pdf_file/0005/25259/drilling_and_well_operations_seo__november_2003_.pdf
- ❖ <http://www.scribd.com/doc/103321664/ONGC-Drilling-Operation-Practices-Manual-2007>
- ❖ <http://www.scribd.com/doc/63752474/QUE-ES-UNA-BARRENA>
- ❖ <http://www.ypfbchaco.com.bo/index.php/campos/el-dorado.html>
- ❖ <https://www.scribd.com/doc/62013371/Herramientas-de-Pesca>




ANEXO 1




CARACTERISTICAS DEL DESGASTE DE LOS TREPANOS

CARACTERISTICAS DEL DESGASTE			
Característica	Símbolo	Definición	Figura
Falla de Adherencia	BF	El trépano presenta una falla de adherencia, cuando la superficie presente entre los substratos de carburo de tungsteno se despega ¹ .	
Cortadores Rotos	BT	Se considera que el trépano está roto si más de un tercio de sus cortadores desapareció sin importar la causa ² .	
Embolado	BU	Condición en la los recortes provenientes de la formación se compactan entre el cuerpo del trépano y/o los elementos de corte, de tal manera que la ROP se ve afectada. Podrá o no existir evidencia de daño físico al trépano ³ .	




Cortadores cincelados o astillados	CT	Los cortadores muestran signo de astillamiento. Se considera que el trépano se encuentra astillado si menos de un tercio del elemento de corte desapareció sin importar la causa ⁴ .	
Erosión	ER	Condición que describe la erosión de la estructura de corte debido a impactos de fluidos de perforación y elementos sólidos ⁵ .	
Dañado por Calor	HC	Los cortadores muestran efectos de insuficiente enfriamiento. El carburo del cortador se encuentra desgastado y presenta fisuras por fatiga térmica. El cuerpo en trépanos de acero puede presentar una coloración azul ⁶ .	

Continuación del cuadro anterior

Tobera tapada	PN	Característica que describe que el trépano presenta una o más toberas (boquillas) están obstruidas, disminuyendo y/o evitando el flujo del fluido ¹⁰ .	
Diámetro externo desgastado	RG	Condición en donde el diámetro externo del cortador presenta un desgaste de forma redondeada ¹¹ .	
Desgaste anillado	RO	Se caracteriza por la pérdida de estructura de corte en una posición radial. Se puede formar un núcleo si el trépano no es extraído ¹² .	

Daño por chatarra metálica	JD	Condición en la cual el trépano presenta daños ocasionados por objetos distintos a los recortes de la formación (restos de trépanos anteriores, herramientas arrojadas en el pozo, partes del BHA) ⁷ .	
Tobera Perdida	LN	Característica que describe que el trépano que ha perdido una o más toberas (boquillas), debido a la instalación inadecuada o tipo de tobera (boquilla) inadecuada para la aplicación ⁸ .	
Cortador perdido	LT	Característica que describe que a la estructura de corte del trépano le faltan uno o más elementos de corte ⁹ .	

Continuación del cuadro anterior

Rotura por erosión	WO	Se presenta cuando el fluido se filtra a través de la espiga de conexión del trépano. Si la pérdida de presión no es detectada, se puede producir la desconexión o rotura de la herramienta ¹³ .	
Cortadores gastados	WT	Característica de desgaste plano normal ¹⁴ . Es una reducción en la altura del elemento de corte debido a la acción de perforación.	
No tiene características de desgaste	NO	Característica que indica que el trépano no muestra ningún signo de desgaste o que no se observan características de desgaste.	

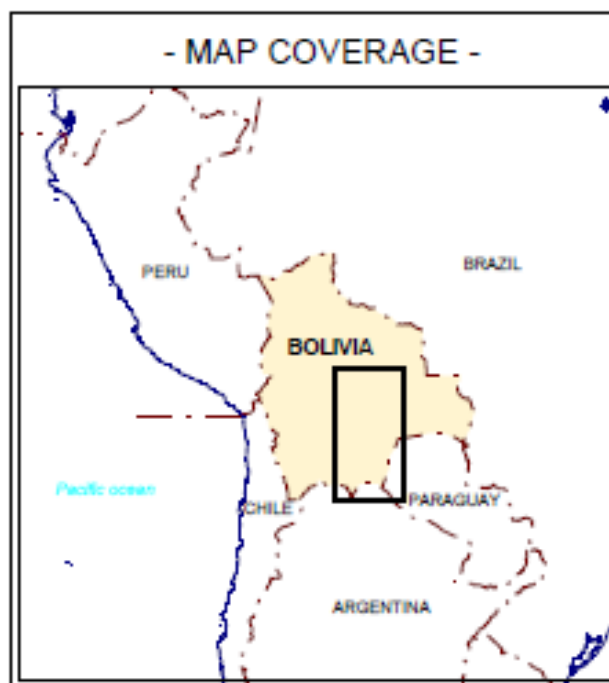
Fuente: Gerencia de Entrenamiento y Desarrollo & Gerencia Regional de Servicios Técnicos. Introducción a Brocas PDC. Smith International.2003

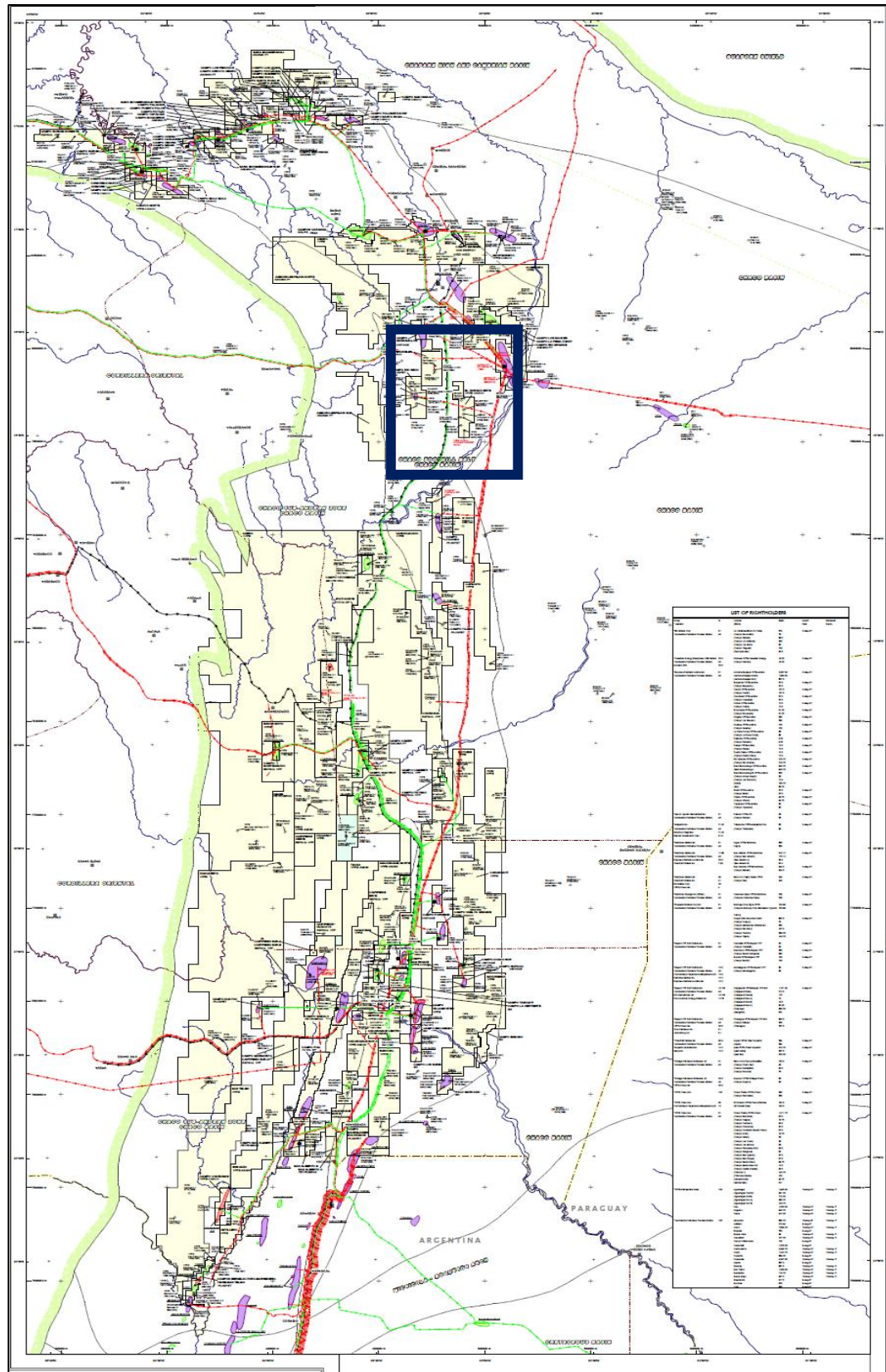
ANEXO 2

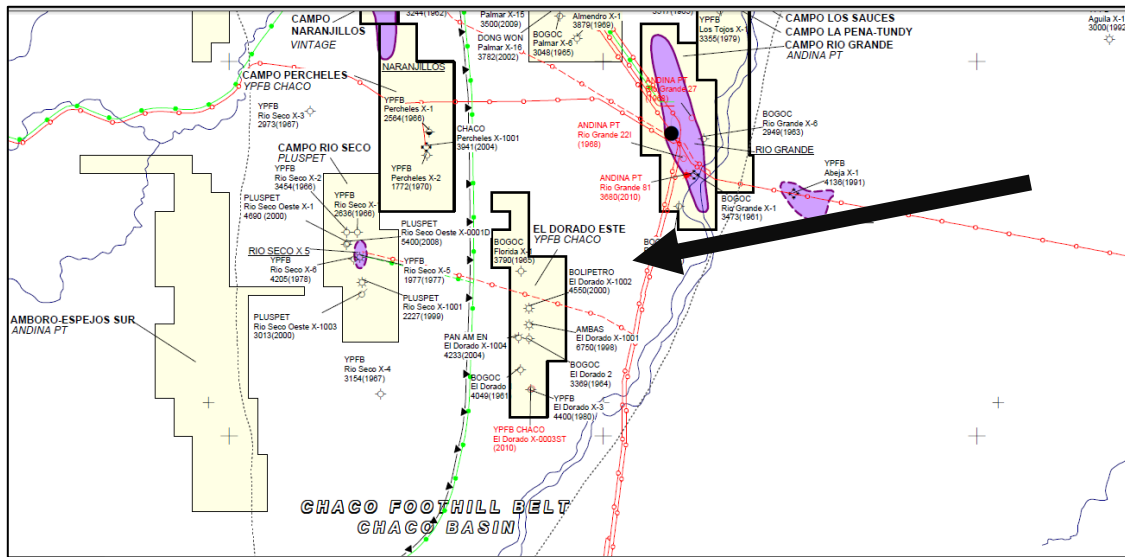
INFORMACIÓN GEOGRÁFICA DE LOS POZOS EN CUESTIÓN:

GLOBAL EXPLORATION & PRODUCTION SERVICE			
BOLIVIA SUBANDEAN			
SCALE :1: 500,000	MARCH 2011	REF : BO11H1SUB	WR
DATUM : SBO : South America 69 Bolivia PROJECTION : U.T.M CENTRAL MERIDIAN : 63 deg 00' 0.000 W Greenwich LATITUDE OF ORIGIN : 0 deg 00' 00.000 N SCALE FACTOR : 0.9996		SPHEROID : International 1967 GRID : S20 IND : UTM zone 20 S FALSE EASTING : 500000.000m FALSE NORTHING : 10000000.000m	
www.ihs.com/energy		sales@ihs.com	
© Copyright 2011. IHS and its affiliated and subsidiary companies, all rights reserved. All trademarks and service marks are the property of IHS or its affiliated and subsidiary companies.			

This map represents the status of Carto Data and IRIS21 databases on 25-03-2011.
It is not an authority on the delineation of international boundaries.







Fuente: Documento electrónico no publicado IHS

ANEXO 3

DATOS DEL POZO DRD X-1001:

Área: El Dorado
Cuenca: Tarija
Pozo: Dorado X-1001 (DRD X-1001)
Estructura: Anticlinal El Dorado
Operadora: YPFB CHACO S.A.
Perforadora: PAN AMERICAN ENERGY
Coordenadas Utm:
X: 7965190
Y: 490075
Z: 436 msnm
Mesa rotaria: 9.75 m

Inicio de perforación del pozo:
 05/12/98
Final de perforación del pozo:
 05/07/99
Profundidad Final: 6740 m
Profundidad vertical final: 6740 m
DATOS DEL EQUIPO:
Equipo: H&P # 175
Tipo de Equipo: Eléctrico
Bombas: GDP 2 11, 6 ½" X 11,
 4.50Gal/Embolada a 96% de
 eficiencia

TIPO DE LODO

Tramo (m)	Tipo de lodo	Densidad (ppg)
50-170	Bentonita Extendida	8,00-8.60
170-4015	PHPA/KLA GARD	8,60-9,30
4015-6740	OBM	11,50-18,70

ARREGLOS DE PERFORACION:

Conjunto de Fondo, Sección 8 1/2", BHA 28, 5215m-5218m

DESCRIPCION	N° SERIE	OD (in)	ID (in)	LARGO (m)
Trép # 21 5R G447XL	400914	8 1/2	2 13/16	0,29
Near Bit Stabilizer 8 1/2"	175BS801	8	2 13/16	0,92
Drill Collar 6 1/2"	HP	6 1/2	2 13/16	9,47
Drill Collar 6 1/2"	15470	6 1/2	2 13/16	9,47
Drill Collar 6 1/2"	15343	6 1/2	2 13/16	9,47
Drill Collar 6 1/2"	18480	6 1/2	2 13/16	9,47
Drill Collar 6 1/2"	10106	6 1/2	2 13/16	9,50
Drill Collar 6 1/2"	15939	6 1/2	2 13/16	9,47
Drill Collar 6 1/2"	12508	6 1/2	2 13/16	9,39
Drill Collar 6 1/2"	10398	6 1/2	2 13/16	9,47
Drill Collar 6 1/2"	15878	6 1/2	2 13/16	9,47
Drill Collar 6 1/2"	15484	6 1/2	2 13/16	9,40
Drill Collar 6 1/2"	15472	6 1/2	2 13/16	9,43
Drill Collar 6 1/2"	16361	6 1/2	2 13/16	9,48
Drill Collar 6 1/2"	10099	6 1/2	2 13/16	9,43
Drill Collar 6 1/2"	15888	6 1/2	2 13/16	9,50
Drill Collar 6 1/2"	15870	6 1/2	2 13/16	9,48

Continuación del cuadro anterior

Drill Collar 6 1/2"	15398	6 1/2	2 13/16	9,47
Drill Collar 6 1/2"	15395	6 1/2	2 13/16	9,47
Drill Collar 6 1/2"	16374	6 1/2	2 13/16	9,30
X-O	175-HP-605	6 5/8	2 7/8	1,02
HWDP 5"	17452	5	3	9,37
HWDP 5"	17447	5	3	9,38
HWDP 5"	18300	5	3	9,37
HWDP 5"	17435	5	3	9,37
HWDP 5"	17479	5	3	9,37
HWDP 5"	17455	5	3	9,37
HWDP 5"	17440	5	3	9,38
HWDP 5"	17449	5	3	9,37
HWDP 5"	17473	5	3	9,38
HWDP 5"	17457	5	3	9,37
HWDP 5"	18302	5	3	9,37
HWDP 5"	17466	5	3	9,37
TOTAL				284,84

Conjunto de Fondo, Sección 8 1/2", BHA 29, 5218m-5226m

DESCRIPCION	N° SERIE	OD (in)	ID (in)	LARGO (m)
Trép # 21 6R G447XL	400914	8 1/2		0,29
Near Bit Stabilizer 8 1/2"	SB 253	8	2 13/16	2,01
Short Drill Collar 6 1/2"	SB 256	6 1/2	2 13/16	3,01
Stabilizer 8 1/2"	SB 196	6 9/16	2 15/16	1,70
Drill Collar 6 1/2"	HP	6 1/2	2 13/16	9,47
Stabilizer 8 1/2"	SB 191	6 9/16	2 15/16	1,80
Drill Collar 6 1/2"	15470	6 1/2	2 13/16	9,47
Drill Collar 6 1/2"	15343	6 1/2	2 13/16	9,47
Drill Collar 6 1/2"	18480	6 1/2	2 13/16	9,47
Drill Collar 6 1/2"	10106	6 1/2	2 13/16	9,50
Drill Collar 6 1/2"	15939	6 1/2	2 13/16	9,47
Drill Collar 6 1/2"	12508	6 1/2	2 13/16	9,39
Drill Collar 6 1/2"	10398	6 1/2	2 13/16	9,47
Drill Collar 6 1/2"	15878	6 1/2	2 13/16	9,47
Drill Collar 6 1/2"	15484	6 1/2	2 13/16	9,40
Drill Collar 6 1/2"	15472	6 1/2	2 13/16	9,43
Drill Collar 6 1/2"	16361	6 1/2	2 13/16	9,48
Drill Collar 6 1/2"	10099	6 1/2	2 13/16	9,43
Drill Collar 6 1/2"	15888	6 1/2	2 13/16	9,50
Drill Collar 6 1/2"	15870	6 1/2	2 13/16	9,48
Drill Collar 6 1/2"	15398	6 1/2	2 13/16	9,47

Continuación del cuadro anterior

Drill Collar 6 1/2"	15395	6 1/2	2 13/16	9,47
Drill Collar 6 1/2"	16379	6 1/2	2 13/16	9,30
Jars	339-065671-5	6 9/16	2 1/4	4,84
Drill Collar 6 1/2"	15937	6 1/2	2 13/16	9,47
Drill Collar 6 1/2"	15399	6 1/2	2 13/16	9,41
Drill Collar 6 1/2"	SP-701-119	6 1/2	2 13/16	9,11
X-O	175-HP-605	6 5/8	6 5/8	1,02
HWDP 5"	17452	5	3	9,37
HWDP 5"	17447	5	3	9,38
HWDP 5"	18300	5	3	9,37
HWDP 5"	17435	5	3	9,37
HWDP 5"	17479	5	3	9,37
HWDP 5"	17455	5	3	9,37
HWDP 5"	17440	5	3	9,38
HWDP 5"	17449	5	3	9,37
HWDP 5"	17473	5	3	9,38
HWDP 5"	17457	5	3	9,37
HWDP 5"	18302	5	3	9,37
HWDP 5"	17466	5	3	9,37
TOTAL				325,27

Conjunto de Fondo, Sección 8 1/2", BHA 30, 5226m-5240m

DESCRIPCION	N° SERIE	OD (in)	ID (in)	LARGO (m)
Trép # 21 7R G447XL	400914	8 1/2		0,29
Near Bit Stabilizer 8 1/2"	SB 140	8	2 13/16	1,35
Short Drill Collar 6 1/2"	SB 225	6 1/2	2 13/16	3,03
Stabilizer 8 1/2"	SB 072	6 9/16	2 15/16	1,28
Drill Collar 6 1/2"	HP	6 1/2	2 13/16	9,47
Stabilizer 8 1/2"	SB 218	6 9/16	2 15/16	1,54
Drill Collar 6 1/2"	15470	6 1/2	2 13/16	9,47
Drill Collar 6 1/2"	15343	6 1/2	2 13/16	9,47
Drill Collar 6 1/2"	18480	6 1/2	2 13/16	9,47
Drill Collar 6 1/2"	10106	6 1/2	2 13/16	9,50
Drill Collar 6 1/2"	15939	6 1/2	2 13/16	9,47
Drill Collar 6 1/2"	12508	6 1/2	2 13/16	9,39
Drill Collar 6 1/2"	10398	6 1/2	2 13/16	9,47
Drill Collar 6 1/2"	15878	6 1/2	2 13/16	9,47
Drill Collar 6 1/2"	15484	6 1/2	2 13/16	9,40
Drill Collar 6 1/2"	15472	6 1/2	2 13/16	9,43
Drill Collar 6 1/2"	16361	6 1/2	2 13/16	9,48
Drill Collar 6 1/2"	10099	6 1/2	2 13/16	9,43

Continuación del cuadro anterior

Drill Collar 6 1/2"	15888	6 1/2	2 13/16	9,50
Drill Collar 6 1/2"	15870	6 1/2	2 13/16	9,48
Drill Collar 6 1/2"	15398	6 1/2	2 13/16	9,47
Drill Collar 6 1/2"	15395	6 1/2	2 13/16	9,47
Jar Sub	FCS 65203	6 1/2	2 13/16	2,17
Jars	339-065671-5	6 9/16	2 1/4	4,84
Jar Sub	FCS 65203	6 1/2	2 13/16	2,17
Drill Collar 6 1/2"	15937	6 1/2	2 13/16	9,47
Drill Collar 6 1/2"	15399	6 1/2	2 13/16	9,41
Drill Collar 6 1/2"	SP-701-119	6 1/2	2 13/16	9,11
X-O	175-HP-605	6 5/8	6 5/8	1,02
HWDP 5"	17452	5	3	9,37
HWDP 5"	17447	5	3	9,38
HWDP 5"	18300	5	3	9,37
HWDP 5"	17435	5	3	9,37
HWDP 5"	17479	5	3	9,37
HWDP 5"	17455	5	3	9,37
HWDP 5"	17440	5	3	9,38
HWDP 5"	17449	5	3	9,37
HWDP 5"	17473	5	3	9,38
HWDP 5"	17457	5	3	9,37
HWDP 5"	18302	5	3	9,37
HWDP 5"	17466	5	3	9,37
TOTAL				318,99

Conjunto de Fondo, Sección 8 1/2", BHA 34, 5240m-5400m

DESCRIPCION	N° SERIE	OD (in)	ID (in)	LARGO (m)
Trép # 21 8R G447XL	400914	8 1/2		0,29
Bit Sub	175-SB-161	6 1/2	2 7/8	0,90
Drill Collar 6 1/2"	H&P 002	6 1/2	2 1/2	9,46
Stabilizer	R 11562	6 1/2	2 3/8	1,29
Drill Collar 6 1/2"	H&P 003	6 1/2	2 1/2	9,46
Stabilizer	SB 165	6 1/2	2 3/8	1,38
Drill Collar 6 1/2"	H&P 005	6 1/2	2 1/2	9,47
Drill Collar 6 1/2"	H&P 001	6 1/2	2 1/2	9,47
Drill Collar 6 1/2"	H&P 013	6 1/2	2 1/2	9,46
Drill Collar 6 1/2"	H&P 006	6 1/2	2 1/2	9,46
Drill Collar 6 1/2"	H&P 015	6 1/2	2 1/2	9,47
Drill Collar 6 1/2"	H&P 009	6 1/2	2 1/2	9,47
Drill Collar 6 1/2"	H&P 014	6 1/2	2 1/2	9,47
Drill Collar 6 1/2"	H&P 004	6 1/2	2 1/2	9,46

Continuación del cuadro anterior

Jar Sub	FCS 65203	6 1/2	2 1/2	2,17
Jars	339-06567	6 9/16	2 13/16	4,84
Jar Sub	FCS 65202	6 1/2	2 1/4	2,17
Drill Collar 6 1/2"	H&P 016	6 1/2	2 1/2	9,46
X-O	H&P 084	6 5/8	2 7/8	1,23
HWDP 5"	17471	5	3	9,37
HWDP 5"	17443	5	3	9,37
HWDP 5"	17551	5	3	9,37
HWDP 5"	17442	5	3	9,37
HWDP 5"	17470	5	3	9,38
HWDP 5"	17441	5	3	9,38
HWDP 5"	17476	5	3	9,38
HWDP 5"	17436	5	3	9,38
HWDP 5"	17465	5	3	9,37
HWDP 5"	17478	5	3	9,37
HWDP 5"	17472	5	3	9,37
HWDP 5"	17437	5	3	9,38
TOTAL				230,87

Conjunto de Fondo, Sección 8 1/2", BHA 35, 5400m-5400m

RIH: Densificar

DESCRIPCION	N° SERIE	OD (in)	ID (in)	LARGO (m)
Trép # 21 8R G447XL	400914	8 1/2		0,29
Bit Sub	175-BS-601	6 1/2	2 7/8	0,90
Drill Collar 6 1/2"	H&P 003	6 1/2	2 1/2	9,46
Drill Collar 6 1/2"	H&P 009	6 9/16	2 1/2	9,47
Drill Collar 6 1/2"	H&P 001	6 1/2	2 1/2	9,47
Jars	FCS 65203	6 1/2	2 3/16	2,17
Jar Sub	339-065671	6 1/2	2 1/4	4,84
Drill Collar 6 1/2"	H&P 005	6 1/2	2 3/16	2,17
X-O	H&P 082	6 1/2	2 3/16	9,47
HWDP 5"	18300	5	3	1,52
HWDP 5"	17452	5	3	9,37
HWDP 5"	17447	5	3	9,37
HWDP 5"	17455	5	3	9,38
HWDP 5"	17471	5	3	9,37
HWDP 5"	17443	5	3	9,37
HWDP 5"	17551	5	3	9,37
HWDP 5"	17442	5	3	9,37
HWDP 5"	17470	5	3	9,37
HWDP 5"	17441	5	3	9,38
HWDP 5"	17476	5	3	9,38

Continuación del cuadro anterior

HWDP 5"	17436	5	3	9,38
HWDP 5"	17465	5	3	9,38
HWDP 5"	17478	5	3	9,37
HWDP 5"	17472	5	3	9,37
HWDP 5"	17437	5	3	9,37
HWDP 5"	17438	5	3	9,38
TOTAL				199,74

Conjunto de Fondo, Sección 8 1/2", BHA 36, 5400m-5400m

RIH: Normalizar

DESCRIPCION	N° SERIE	OD (in)	ID (in)	LARGO (m)
Trép #21 8R	400914	8 1/2		0,29
Bit Sub	175-BS-601	6 1/2	2 7/8	0,90
Drill Collar 6 1/2"	H&P 003	6 1/2	2 1/2	9,46
Drill Collar 6 1/2"	H&P 009	6 9/16	2 1/2	9,47
Drill Collar 6 1/2"	H&P 001	6 1/2	2 1/2	9,47
X-O	H&P 082	6 1/2	2 13/16	1,52
HWDP 5"	17452	5	3	9,37
HWDP 5"	17447	5	3	9,47
HWDP 5"	16415	5	3	9,47
Jar Sub	FCS 65204	6 9/16	2 1/4	2,07
Jar	33965656	6 9/16	2 1/4	4,84
Jar Sub	FCS 65206	6 9/16	2 1/4	2,07
HWDP 5"	17455	5	3	9,37
HWDP 5"	17471	5	3	9,37
HWDP 5"	17443	5	3	9,37
HWDP 5"	17551	5	3	9,37
HWDP 5"	17442	5	3	9,37
HWDP 5"	17470	5	3	9,38
HWDP 5"	17441	5	3	9,38
HWDP 5"	17476	5	3	9,38
HWDP 5"	17436	5	3	9,38
HWDP 5"	17465	5	3	9,38
HWDP 5"	17478	5	3	9,37
HWDP 5"	17472	5	3	9,37
HWDP 5"	17437	5	3	9,37
TOTAL				190,26

Conjunto de Fondo, Sección 8 1/2", BHA 37, 5400m-6200m

RIH: Perforar

DESCRIPCION	N° SERIE	OD (in)	ID (in)	LARGO (m)
Trép #22 AG545 HTC	400914	8 1/2		0,29
Bit Sub	175-BS-601	6 1/2	2 7/8	0,90
Drill Collar 6 1/2"	H&P 003	6 1/2	2 1/2	9,46
Drill Collar 6 1/2"	H&P 009	6 9/16	2 1/2	9,47
Drill Collar 6 1/2"	H&P 001	6 1/2	2 1/2	9,47
X-O	H&P 082	6 1/2	2 13/16	1,52
HWDP 5"	17452	5	3	9,37
HWDP 5"	17447	5	3	9,47
HWDP 5"	16415	5	3	9,47
Jar Sub	FCS 65204	6 9/16	2 1/4	2,07
Jar	33965656	6 9/16	2 1/4	4,84
Jar Sub	FCS 65206	6 9/16	2 1/4	2,07
HWDP 5"	17455	5	3	9,37
HWDP 5"	17471	5	3	9,37
HWDP 5"	17443	5	3	9,37
HWDP 5"	17551	5	3	9,37
HWDP 5"	17442	5	3	9,37
HWDP 5"	17470	5	3	9,38
HWDP 5"	17441	5	3	9,38
HWDP 5"	17476	5	3	9,38
HWDP 5"	17436	5	3	9,38
HWDP 5"	17465	5	3	9,38
HWDP 5"	17478	5	3	9,37
HWDP 5"	17472	5	3	9,37
HWDP 5"	17437	5	3	9,37
TOTAL				190,26

Conjunto de Fondo, Sección 8 1/2", BHA 38, 6200m-6200m

RIH: Normalizar

DESCRIPCION	N° SERIE	OD (in)	ID (in)	LARGO (m)
Trép #21RR G447XL	400914	8 1/2		0,29
Near Bit Stabilizer	SB 263	6 1/2	Float bore	1,84
Short Drill Collar	SP-701-47	6 1/2	2 1/4	2,54
Stabilizer	SB 264	6 1/2	2 1/4	1,63
Drill Collar 6 1/2"	H&P 006	6 1/2	2 1/2	9,46
Stabilizer	SB 265	6 15/32	2 1/2	1,45
Drill Collar 6 1/2"	H&P 016	6 1/2	2 1/2	9,46
Drill Collar 6 1/2"	H&P 002	6 1/2	2 1/2	9,46
Drill Collar 6 1/2"	H&P 019	6 1/2	2 1/2	9,45
Drill Collar 6 1/2"	H&P 017	6 1/2	2 1/2	9,46
Drill Collar 6 1/2"	H&P 008	6 1/2	2 1/2	9,46

Continuación del cuadro anterior

Drill Collar 6 1/2"	H&P 011	6 1/2	2 1/2	9,34
Drill Collar 6 1/2"	H&P 018	6 1/2	2 1/2	9,46
Drill Collar 6 1/2"	H&P 018	6 1/2	2 1/2	1,52
HWDP 5"	17452	5	3	9,37
HWDP 5"	17447	5	3	9,47
HWDP 5"	16415	5	3	9,47
Jar Sub	FCS 65204	6 9/16	2 1/4	2,07
Jar	33965656	6 9/16	2 1/4	4,84
Jar Sub	FCS 65206	6 9/16	2 1/4	2,07
HWDP 5"	17455	5	3	9,37
HWDP 5"	17471	5	3	9,37
HWDP 5"	17443	5	3	9,37
HWDP 5"	17551	5	3	9,37
HWDP 5"	17442	5	3	9,37
HWDP 5"	17470	5	3	9,37
HWDP 5"	17441	5	3	9,38
HWDP 5"	17476	5	3	9,38
HWDP 5"	17436	5	3	9,38
TOTAL				206,47

Conjunto de Fondo, Sección 8 1/2", BHA 39, 6200m-6200m

RIH: Normalizar

DESCRIPCION	N° SERIE	OD (in)	ID (in)	LARGO (m)
Trép #21RR G447XL	400914	8 1/2		0,29
Near Bit Stabilizer	SB 263	6 1/2	Float bore	1,84
Short Drill Collar	SP-701-47	6 1/2	2 1/4	2,54
Stabilizer	SB 264	6 1/2	2 1/4	1,63
Drill Collar 6 1/2"	H&P 006	6 1/2	2 1/2	9,46
Stabilizer	SB 265	6 15/32	2 1/2	1,45
Drill Collar 6 1/2"	H&P 016	6 1/2	2 1/2	9,46
Drill Collar 6 1/2"	H&P 002	6 1/2	2 1/2	9,46
Drill Collar 6 1/2"	H&P 019	6 1/2	2 1/2	9,45
Drill Collar 6 1/2"	H&P 017	6 1/2	2 1/2	9,46
Drill Collar 6 1/2"	H&P 008	6 1/2	2 1/2	9,46
Drill Collar 6 1/2"	H&P 011	6 1/2	2 1/2	9,34
Drill Collar 6 1/2"	H&P 018	6 1/2	2 1/2	9,46
Drill Collar 6 1/2"	H&P 018	6 1/2	2 1/2	1,52
HWDP 5"	17452	5	3	9,37
HWDP 5"	17447	5	3	9,47
HWDP 5"	16415	5	3	9,47
Jar Sub	FCS 65204	6 9/16	2 1/4	2,07
Jar	33965656	6 9/16	2 1/4	4,84

Continuación del cuadro anterior

Jar Sub	FCS 65206	6 9/16	2 1/4	2,07
HWDP 5"	17455	5	3	9,37
HWDP 5"	17471	5	3	9,37
HWDP 5"	17443	5	3	9,37
HWDP 5"	17551	5	3	9,37
HWDP 5"	17442	5	3	9,37
HWDP 5"	17470	5	3	9,37
HWDP 5"	17441	5	3	9,38
HWDP 5"	17476	5	3	9,38
HWDP 5"	17436	5	3	9,38
TOTAL				206,47

Conjunto de Fondo, Sección 8 1/2", BHA 40, 6200m-6202m

RIH: Rota tapón

DESCRIPCION	N° SERIE	OD (in)	ID (in)	LARGO (m)
Trép #23 R-7	V41CD	8 1/2		0,24
Junk Basket	19001	6 1/2	Float bore	0,82
Near Bit Stabilizer	SB 263	6 1/2	2 1/4	1,84
Short Drill Collar	SP-701-47	6 1/2	2 1/4	2,54
Stabilizer	SB 264	6 1/2	2 1/2	1,63
Drill Collar 6 1/2"	H&P 006	6 15/32	2 1/2	9,46
Stabilizer	SB 265	6 1/2	2 1/2	1,45
Drill Collar 6 1/2"	H&P 016	6 1/2	2 1/2	9,46
Drill Collar 6 1/2"	H&P 002	6 1/2	2 1/2	9,46
Drill Collar 6 1/2"	H&P 019	6 1/2	2 1/2	9,45
Drill Collar 6 1/2"	H&P 017	6 1/2	2 1/2	9,46
Drill Collar 6 1/2"	H&P 008	6 1/2	2 1/2	9,46
Drill Collar 6 1/2"	H&P 011	6 1/2	2 1/2	9,34
Drill Collar 6 1/2"	H&P 018	6 1/2	2 13/16	9,46
X-O	H&P 082	5	3	1,52
HWDP 5"	A 18302	5	3	9,37
Flex Joint	FCS 65204	5	3	2,07
Jar	33965656	6 9/16	2 1/4	4,84
HWDP 5"	FCS 65206	6 9/16	2 1/4	2,07
HWDP 5"	A 17438	6 9/16	2 1/4	9,38
HWDP 5"	A 17495	5	3	9,38
HWDP 5"	A 17454	5	3	9,38
HWDP 5"	A 17484	5	3	9,38
HWDP 5"	18299	5	3	9,37
HWDP 5"	A 17435	5	3	9,37
HWDP 5"	A 17448	5	3	9,38
HWDP 5"	A 17457	5	3	9,37

Continuación del cuadro anterior

HWDP 5"	A 17464	5	3	9,37
HWDP 5"	A 17439	5	3	9,38
HWDP 5"	A 17463	5	3	9,37
TOTAL				207,07

Conjunto de Fondo, Sección 8 1/2", BHA 41, 6202m-6554m

RIH: Perforar

DESCRIPCION	N° SERIE	OD (in)	ID (in)	LARGO (m)
Trép #24 BD 536	401735	8 1/2		0,35
Near Bit Stabilizer	SB263	6 1/2	2 1/4	1,84
Short Drill Collar	SP-701-47	6 1/2	2 1/4	0,54
Stabilizer	SB 264	6 1/2	2 1/2	1,63
Drill Collar 6 1/2"	H&P 006	6 15/32	2 1/2	9,46
Stabilizer	SB 265	6 1/2	2 1/2	1,45
Drill Collar 6 1/2"	H&P 016	6 1/2	2 1/2	9,46
Drill Collar 6 1/2"	H&P 002	6 1/2	2 1/2	9,46
Drill Collar 6 1/2"	H&P 019	6 1/2	2 1/2	9,45
Drill Collar 6 1/2"	H&P 017	6 1/2	2 1/2	9,46
Drill Collar 6 1/2"	H&P 008	6 1/2	2 1/2	9,46
Drill Collar 6 1/2"	H&P 011	6 1/2	2 1/2	9,34
Flex Joint	FCS 65205	5	3	2,17
Jar	33965656	6 9/16	2 1/4	4,73
Flex Joint	FCS 65203	5	3	2,16
Drill Collar 6 1/2"	H&P 018	6 1/2	2 13/16	9,46
X-O	H&P 082	5	3	1,52
HWDP 5"	A 18302	5	3	9,37
HWDP 5"	A 17438	5	3	9,38
HWDP 5"	A 17495	5	3	9,38
HWDP 5"	A 17454	5	3	9,38
HWDP 5"	A 17444	5	3	9,38
HWDP 5"	18299	5	3	9,37
HWDP 5"	A 17435	5	3	9,37
HWDP 5"	A 17448	5	3	9,38
HWDP 5"	A 17457	5	3	9,37
HWDP 5"	A 17464	5	3	9,38
HWDP 5"	A 17439	5	3	9,37
HWDP 5"	A 17463	5	3	9,37
TOTAL				204,44

Conjunto de Fondo, Sección 8 1/2", BHA 45,
RIH: to C.C. @5118m

DESCRIPCION	N° SERIE	OD (in)	ID (in)	LARGO (m)
Trép 8 1/2 FDT	LS 2198	8 1/2		0,25
Bit Sub	H&P 096	6 1/2	2 1/2	1,52
Drill Collar 6 1/2"	H&P 006	6 1/2	2 1/2	9,46
Drill Collar 6 1/2"	H&P 016	6 1/2	2 1/2	9,46
Drill Collar 6 1/2"	H&P 002	6 1/2	2 1/2	9,46
Drill Collar 6 1/2"	H&P 019	6 1/2	2 1/2	9,45
Drill Collar 6 1/2"	H&P 017	6 1/2	2 1/2	9,46
Drill Collar 6 1/2"	H&P 008	6 1/2	2 1/2	9,46
Drill Collar 6 1/2"	H&P 011	6 1/2	2 1/2	9,34
Drill Collar 6 1/2"	H&P 018	6 1/2	2 1/2	9,46
X-O	H&P 082	6 1/2	2 13/16	1,52
HWDP 5"	A 18302	5	3	9,37
HWDP 5"	A 17438	5	3	9,38
HWDP 5"	A 17495	5	3	9,38
HWDP 5"	A 17454	5	3	9,38
HWDP 5"	A 17444	5	3	9,38
HWDP 5"	18299	5	3	9,37
HWDP 5"	A 17435	5	3	9,37
HWDP 5"	A 17448	5	3	9,38
HWDP 5"	A 17457	5	3	9,37
HWDP 5"	A 17464	5	3	9,37
HWDP 5"	A 17439	5	3	9,38
HWDP 5"	A 17463	5	3	9,37
TOTAL				191,34

Fuente: Reporte final Pan American Energy DRD X-1001 el dorado Bolivia, julio 1999

DATOS DEL POZO DRD X-1004:**Área:** El Dorado**Cuenca:** Tarija**Pozo:** Dorado X-1004 (DRD X-1004)**Estructura:** Anticlinal El Dorado**Ubicación geográfica:** Prov.

Cordillera, Dpto. Santa Cruz

Ubicación fisiográfica: Llanura

Chaqueña

OBJETIVOS DE LA**PERFORACION:** Fm. Iquiri: Arenisca

Tacobo y Guanacos.

Coordenadas Superficie UTM:**X:** 488700**Y:** 7963400**Zt:** 441,60m**Nivel de planchada Zt:** 435**Profundidad Final TVD:** 4223,56m**Metraje MD:** 4233m**EQUIPO DE PERFORACION:****CIA/N°:** PRIDE 379 **MARCA:**Gardner Denver **POTENCIA:** 1500HP**TDS:** Maritime Hyd **PTD** (1X355/410)**ARREGLOS DE HERRAMIENTA BHA**

N°	TRAMO/PROF * (m)	ARREGLO
1	0-501 Perforación	Trép 17 ½" + 17 3/8" Turbo Pack + MF cuadrado 15 ½" (Stabeco) + STB 17 3/8" + PM 9 ½" + XO + 3PM 8" + XO + 15 HW 5"
2	501-1660 Perforación	Trép 12 ¼" + MF cuadrado 8 ¾" (Stabeco) + STB 12 1/8" + Sub Teledrift 8" + PM 8" + STB 12 1/8" + 6 PM 8" + Tijera 6 ½" + 3 PM 8" + XO + 15 HWDP 5"
3	1660 Calibración	Trép 12 ¼" + 3 bit sub 7 13/16" + PM 8" + STB 12 1/8" + Short PM 8" + PM 8" + STB 12 1/8" + 6 PM 8" + Tijera 6 ½" + 3 PM 8" + XO + 15 HWDP 5"
4	1660-2641,5 Perforación	Trép 8 ½" + MF cuadrado 8 3/8" + STB 8 3/8" + Teledrift 6 ½" + PM 6 ½" + STB 8 3/8" + 9 PM 6 ½" + XO + 15 HWDP 5"
5	2641,5 Calibración	Trép 8 ½" + Bit sub 4,687" + PM 6 ½" + STB 8 3/8" + PM 6 ½" + STB 8 3/8" + 6 PM 6 ½" + Tijera 6 ½" + 3 PM 6 ½" + XO + 15 HWDP 5"
6	2641,5 Pesca	Overshot 8 1/8" (Agarre espiral 6 ¾", control 7") + Bumper sub 6 ¼" + Tijera 6 ½" + XO + 6 PM 6 ½" + XO + 15 HWDP 5"
7	2641,5 Pesca	Overshot 8 1/8" (Agarre espiral 6 5/8", control 7") + Bumper sub 6 ¼" + Tijera 6 ½" + XO + 6 PM 6 ½" + XO + 15 HWDP 5"
8	2641,5-2885 Perforación	Trép 8 ½" + MF 6 ¾" + STB 8 3/8" + Teledrift 6 ½" + PM 6 ½" + STB 8 3/8" + 9 PM 6 ½" + Tijera 6 ½" + 6 PM 6 ½" + XO + 15 HWDP 5"
9	2885-3274 Perforación	Trép 8 ½" + NB Roller Reamer 8 7/16" + MF cuadrado 8 3/8" + STB 8 3/8" + Teledrift 6 ½" + Monel 6 ½" + STB 8 3/8" + Shock sub 6 9/16" + 9 Pm 6 ½" + Tijera 6 ½" + 6 PM 6 ½" + XO + 15 HWDP 5"
10	3274-3460 Perforación	Trép 8 ½" + NB Roller Reamer 8 3/8" + MF cuadrado 8 3/8" + Shock sub 6 5/8" + STB 8 3/8" + Teledrift 6 ½" + Monel 6 ½" + STB 8 3/8" + 12 Pm 6 ½" + Tijera 6 ½" + 6 PM 6 ½" + XO + 15 HWDP 5"

Continuación del cuadro anterior

11	3460-3714 Perforación	Trép 8 1/2" + NB Roller Reamer 8 3/8" + MF cuadrado 8 3/8" + Shock sub 6 5/8" + STB 8 3/8" + Teledrift 6 1/2" + Monel 6 1/2" + STB 8 3/8" + 12 Pm 6 1/2" + Tijera 6 1/2" + 6 PM 6 1/2" + XO + 15 HWDP 5"
12	3714-3833 Perforación	Trép 8 1/2" + NB Roller Reamer 8 7/16" + MF cuadrado 8 3/8" + Shock sub 6 5/8" + STB 8 3/8" + Teledrift 6 1/2" + Monel 6 1/2" + STB 8 3/8" + 12 Pm 6 1/2" + Tijera 6 3/4" + 6 PM 6 1/2" + XO + 15 HWDP 5"
13	3883-3908 Perforación	Trép 8 1/2" + NB Roller Reamer 8 7/16" + MF cuadrado 8 3/8" + Shock sub 6 5/8" + STB 8 3/8" + Teledrift 6 1/2" + Monel 6 1/2" + STB 8 3/8" + 12 Pm 6 3/4" + Tijera 6 3/4" + 6 PM 6 1/2" + XO + 15 HWDP 5"
14	3908-4170 Perforación	Trép 8 1/2" + NB Roller Reamer 8 7/16" + MF cuadrado 8 3/8" + Shock sub 6 5/8" + STB 8 3/8" + Short PM 6 1/2" + PM 6 1/2" + STB 8 3/8" + 12 Pm 6 1/2" + Tijera 6 3/4" + 6 PM 6 1/2" + XO + 15 HWDP 5"
15	4170-4210 Perforación	Trép 8 1/2" + Bit sub 6 5/8" + PM 6 1/2" + STB 8 3/8" + PM 6 1/2" + STB 8 3/8" + 9 PM 6 1/2" + Tijera de 6 3/8" + 3 PM 6 1/2" + XO + 6 HWDP 5"
16	4210 Acondicionar agujero para registro	Trép 8 1/2" + Bit sub 6 5/8" + PM 6 1/2" + STB 8 3/8" + PM 6 1/2" + STB 8 3/8" + 6 PM 6 1/2" + Tijera de 6 3/8" + 3 PM 6 1/2" + XO + 6 HWDP 5"
17	4210-4233 Perforación	Trép 8 1/2" + Bit sub 6 5/8" + PM 6 1/2" + STB 8 3/8" + PM 6 1/2" + STB 8 3/8" + 9 PM 6 1/2" + Tijera de 6 3/8" + 3 PM 6 1/2" + XO + 9 HWDP 5 "
18	4233 (Balanceo Píldora Form. A-plug)	Diverter 2 7/8" + XO + 21 Tub 2 7/8" PH-6 + XO + XO
19	4233 (Reperfora CMT + Accesorios)	Trép 6" + Bit sub + PM 6 3/4" + Watermellon 6" + PM 6 3/4" + STB 6" + 7 PM 4 3/4" + 9 HWDP 3 1/2" + Tijera 4 3/4" + 6 HWDP 3 1/2"
20	4233 (Acondicionar para bajar liner)	Trép 6" + Bit sub + PM 6 3/4" + Watermellon 6" + PM 6 3/4" + STB 6" + 7 PM 4 3/4" + 9 HWDP 3 1/2" + Tijera 4 3/4" + 3 HWDP 3 1/2"
21	4233 Reperforar cemento	Trép 4 1/8" + Bit sub + PM 3 1/8" + STB 3 1/2" + PM 3 1/8" + STB 3 1/8" + 8 PM 4 3/4" + XO + 79 PM 2 7/8" + XO
22	3625 (Squeeze boca de liner)	22 Tub 2 7/8" + XO + Packer 7" + XO
23	3427 (limpieza cemento)	Trép 6" + Bit sub + 6 PM 4 3/4" + 6 HWDP 3 1/2" + DP 3 1/2"
24	4233 (Limpieza cemento)	Trép 4 1/8" + Bit sub + 10 PM 3 1/8" + XO + 76 DP 2 7/8" + XO

CAÑERIAS

Tramo (m)	Long. (m)	Diam. (in)	Características				Propiedades		
			Peso (lb/ft)	Grado	Cupla	Rosca	Colapso	Reventón	Tensión
0-499	499	13 3/8	54,5	J-55	STC	8RD	1130	2730	54000
0-1471	1471	9 5/8	40	K-55	BTC	BTC	2570	3950	63000
0-3523	3523	7	24	P-110		ANJO	8530	11220	727000
3427- 4174,5	747	5	18	N-80		ANJO	10493	10136	396000

LODO

FASE	TIPO DE LODO	DENSIDAD (ppg)
17 ½"	Bentonítico Extendido	8,6-8,8
12 ¼"	Bentonítico Extendido	8,8-8,9
8 ½"	Drillplex	8,8-9,8
Terminación	KCl	9,6-9,0

Fuente: informe final de perforación y terminación Chaco s.a.

Pozo el dorado x-1004

DATOS DEL POZO DRD-1005:

Área: El Dorado
Cuenca: Tarija
Pozo: Dorado 1005 (DRD-1005)
Estructura: Anticlinal El Dorado
Clasificación del pozo: Pozo de desarrollo B-1
Ubicación geográfica: Prov. Cordillera, Dpto. Santa Cruz
Ubicación geológica: Núcleo Anticlinal El Dorado, Piedemonte de la faja plegada y corrida subandina.
Ubicación fisiográfica: Llanura Chaqueña
OBJETIVOS DE LA PERFORACION:
Objetivo Principal: Drenar las reservas asociadas a la Arenisca Guanacos, miembro de la Fm. Iquiri (Devónico Superior)
Objetivo Secundario: Evaluar niveles arenosos del Carbonífero Inferior.
Resultado del pozo: Productor de gas y condensado de la Ar. Guanacos.

Coordenadas Superficie UTM:
 490403,0m E
 7963485,0m N
Coordenadas Fondo Pozo UTM:
 490396,84m E
 7963484m27m N
Elevación:
Nivel de planchada Zt: 435
Mesa rotaria Zr: 491,4
Inicio de perforación del pozo:
 01/06/2010
Final de perforación del pozo:
 12/07/2010
Profundidad Final Perforación:
 4164m MD
Profundidad Final Perfilaje: 4163m MD
RESULTADO DEL POZO: Productor de gas y condensado de la Arenisca Guanacos.
ESTADO ACTUAL DEL POZO: Con arreglo de producción final en la arenisca Guanacos, con arreglo simple (Tubería PJD de 3 ½")

DATOS DEL EQUIPO:

Equipo: SAI Rig 379 Tool pusher
Tipo: Gardner Denver DW 1100, 1500Hp con TDS
 Maritime Hyd PTD (1x355/410)

REVESTIMIENTOS:

Intervalo (m)	Diámetro (in)	Formaciones
0-670	13 3/8	Superficie-Tariquía
670-3006	9 5/8	Tariquía-Tarija
3006-4164	7	Tarija-Iquiri

LODO DE PERFORACION:

Fase	Tipo de Lodo	Densidad (ppg)
17 ½"	Lodo base agua Drillplex	8,8-8,9-9,0
12 ¼"	Lodo base agua Klashield	8,7-8,8-9,0-9,1
8 ½"	Lodo base agua FLO- PRO NT	9,5-9,8-10,7- 11,2
Completación	Formiato de K & Na	

Fuente: Informe geológico final Pozo El Dorado 1005 Empresa petrolera YPFB Chaco